

ESTUDOS DA DINÂMICA DE REDES  
DE CRISTAIS COM A ESTRUTURA  
DO PbTiO<sub>3</sub>.

JOÃO DE DEUS FREIRE

ORIENTADOR: PROF. DR. RAM SHARAN KATIYAR

Tese apresentada no Instituto de Física "Gleb Wataghin" da Universidade Estadual de Campinas como parte dos requisitos necessários para a obtenção do Título de Doutor em Física.

JULHO DE 1980.

À meus Pais,

Teresa,

Enrico,

Sueli

## AGRADECIMENTOS

Ao Professor Ram Sharan Katiyar, por seu grande interesse e estímulo constante, que nos permitiu desenvolver esta tese.

À Fundação de Amparo à Pesquisa do Estado de São Paulo (FAPESP) e ao Conselho Nacional de Pesquisas (CNPq) pelo apoio financeiro, que permitiu a realização deste trabalho.

Aos amigos José Cláudio, José Leonil, Mauro Elias e José Sanjurjo pelo incentivo e pelas importantes discussões durante a realização deste trabalho.

E a todos que direta ou indiretamente contribuiram para que este trabalho pudesse ser desenvolvido.

## RESUMO

O formalismo de dinâmica de rede, utilizando o modelo do íon rígido de Born e Huang, é aplicado pela primeira vez aos cristais ferroelétricos de  $PbTiO_3$  e  $BaTiO_3$ , ambos na fase tetragonal. O modelo inclui interações de curto alcance do tipo axialmente simétrica entre vários íons na célula primitiva e interações Coulombianas de longo alcance. As condições de estabilidade foram determinadas através do método descrito por Katiyar e foram utilizadas na determinação de várias derivadas primeiras do potencial ( $S_{KK'}$ ). O número de constantes do potencial utilizado foi posteriormente reduzido, considerando a variação das constantes de força radiais com a distância entre os íons da forma descrita pelo formalismo exponencial de Born-Meyer. Todos os fônonos do centro da zona de Brillouin e alguns fônonos de baixa frequência dos extremos dessa zona foram utilizados para o ajuste de mínimos quadrados não linear. Em geral obtivemos excelente concordância entre as frequências medidas e calculadas. Os parâmetros resultantes mostraram que a interação de curto alcance entre os íons de titânio e oxigênio mais próximos é aproximadamente uma ordem de magnitude mais forte que as interações entre o chumbo e oxigênio ou, entre os oxigênios. A carga obtida para

o íon oxigênio corresponde a 73% do valor do íon livre, enquanto a carga do íon titânio corresponde a 67% do valor da carga do íon livre. Todos os parâmetros obtidos são fisicamente aceitáveis. Resultados similares foram obtidos no caso do BaTiO<sub>3</sub>.

Métodos de teoria de grupos foram utilizados para obter os vetores básicos dos fonons em vários pontos críticos da zona de Brillouin e uma discussão dos modos normais do centro dessa zona foi apresentada. Os cálculos mostraram que o modo E transversal ótico de menor frequência no PbTiO<sub>3</sub> tem auto-vetores similares a aqueles previstos por Last, enquanto no BaTiO<sub>3</sub> o movimento iônico no modo E de menor frequência pode ser aproximado pela descrição de Slater.

Os parâmetros obtidos para o PbTiO<sub>3</sub> foram utilizados para a obtenção de curvas de dispersão de fonons para várias direções do vetor de onda  $\vec{q}$ . Estes resultados estão em boa concordância com as medidas de espalhamento inelástico de neutrons de Shirane et al. A diferença entre as frequências calculadas e observadas poderiam ser explicadas incluindo no modelo as interações devidas à polarizabilidade dos íons.

Cálculos de fonons oblíquos próximo ao centro da zona de Brillouin são apresentados e comparados com os dados experimentais, quando existentes. Estes cálculos mostram que as forças Coulombianas de longo alcance dominam as forças de anisotro-

pia nestes cristais. O método teórico para calcular as constantes elásticas, dielétricas e piezoeletricas é apresentado e o modelo proposto foi utilizado para calcular estas constantes.

Os resultados são comparados com os dados experimentais, quando existentes.

Finalmente uma análise através de mínimos quadrados dos fôons observados no  $PbTiO_3$  próximo da transição de fase cúbica-tetragonal foi efetuada para a compreensão da influência das forças anharmônicas e o mecanismo da transição neste cristal. Em geral as variações obtidas nos parâmetros são pequenas. Este fato mostra que pequenas forças anharmônicas são suficientes para explicar a variação das frequências com a temperatura e que nenhum outro mecanismo de transição de fase entra na dinâmica de fôons neste cristal.

## ABSTRACT

Lattice dynamical formalism using rigid ion model due to Born and Huang is applied for the first time to the ferroelectric crystals of  $\text{PbTiO}_3$  and  $\text{BaTiO}_3$  in the tetragonal phase. The model included short range interactions of axially symmetric type between various ions in the primitive cell and long range Coulomb interactions. The stability conditions were worked out in the manner described by Katiyar and were used to determine several first derivative potential constants ( $B_{KK'}$ ) for the crystals. The number of potential constants was further reduced by considering the variation of radial force constants with the ion-ion distance, as given by the exponential formalism of Born-Meyer. All the zone centre phonons and a few of the low frequency zone boundary phonons in  $\text{PbTiO}_3$  were used for the non linear least squares fitting. In general we obtained excellent agreement between the calculated and the observed frequencies. The resulted parameters showed that the short range interaction between the nearest titanium and oxygen is approximately one order of magnitude stronger than the interactions between the lead and oxygen or between the oxygens. The charge on the oxygen ion is about 73% of the free ion value, whereas the charge on the titanium ion is about 67% of the free ion value. All of the parameters

obtained are physically acceptable. Similar results were obtained in the case of BaTiO<sub>3</sub>.

Group theoretical approach was used to obtain the basis vectors for phonons at various critical points in the Brillouin zone and a discussion of normal modes for zone centre phonons is presented. The calculations show that the lowest transverse optic mode of E symmetry in PbTiO<sub>3</sub> has eigen-vectors similar to those predict by Last, where in BaTiO<sub>3</sub> the ionic movement in the lowest optic E mode can be approximated by the description of Slater.

The parameters obtained for PbTiO<sub>3</sub> were used to compute the phonon dispersion curves for various directions of the wavevector  $\vec{q}$ . These results are in good agreement with the neutron inelastic measurements of Shrirane et al. In order to explain the differences between the calculated and the observed frequencies, interactions due polarizability of the ions should be included. A calculation of the oblique phonons near the zone centre is presented and compared with the available experimental data. These calculations show that the long range Coulomb forces are dominating the anisotropic forces in these crystals.

Theoretical approach to compute the elastic, dielectric and piezoelectric properties is presented and the proposed model

was applied to calculate these constants. The results are compared with the experimental data where existed.

Finally, a least squares analysis of the observed phonons in  $\text{PbTiO}_3$  near the tetragonal-cubic phase was carried out to understand the influence of anharmonic forces and the mechanism of phase transition in this crystal. In general the variation in the parameters obtained is very small. This shows that the small anharmonic forces alone are sufficient to explain the variation of frequencies with temperature and no other mechanism of phase transition enters into the dynamical of phonons in this crystal.

## ÍNDICE

Página

### CAPÍTULO I

Introdução Geral .....	1
------------------------	---

### CAPÍTULO II

Revisão da Teoria de Dinâmica de Redes Cristalinas.	5
---	---

II.1 - Introdução .....	5
-------------------------	---

II.2 - Equações de movimento da rede cristalina....	6
---	---

II.3 - Matriz Dinâmica.....	12
-----------------------------	----

II.4 - Modos Acústicos.....	13
-----------------------------	----

II.5 - O modelo do íon rígido .....	14
-------------------------------------	----

II.6 - Propagação de ondas acústicas em cristais...	17
---	----

II.7 - Propagação de ondas acústicas em cristais piezoeletricos .....	24
---	----

II.8 - Dinâmica de redes cristalinas e cristais ferroelétricos .....	29
--	----

### CAPÍTULO III

Aplicação da Teoria de Grupos no Estudo das Vibra-
--

ções da Rede Cristalina .....	33
-------------------------------	----

III.1 - Introduções .....	33
---------------------------	----

III.2 - Grupos Espaciais .....	33
--------------------------------	----

III.3 - Aplicação da Teoria de Grupos às Vibrações da Rede Cristalina .....	34
--	----

III.4 - Relações de Compatibilidade .....	42
III.5 - Estudo dos Cristais de $\text{PbTiO}_3$ e $\text{BaTiO}_3$ pelo método de Teoria de Grupos .....	44

CAPÍTULO IV

Dinâmica de Rede do $\text{PbTiO}_3$ e $\text{BaTiO}_3$ .....	57
IV.1 - Dinâmica de rede do $\text{PbTiO}_3$ .....	57
IV.2 - Determinação das Frequências dos Modos Nor- mais de Vibração do $\text{PbTiO}_3$ .....	66
IV.3 - Estudo da Variação dos Parâmetros do Modelo do fônon Rígido do $\text{PbTiO}_3$ com a temperatura...	95
IV.4 - Dinâmica de Rede do $\text{BaTiO}_3$ .....	103
IV.5 - Dispersão Obliqua de Fônonos .....	114
IV.6 - Estudos das Propriedades Elásticas e Piezo- elétricas do $\text{PbTiO}_3$ e $\text{BaTiO}_3$ .....	121

CAPÍTULO V

Conclusões .....	138
------------------	-----

APÊNDICE I .....

APÊNDICE II .....	146
-------------------	-----

APÊNDICE III .....

APÊNDICE IV .....	164
-------------------	-----

Página

<u>LISTA DE FIGURAS</u>	.....	166
<u>LISTA DE TABELAS</u>	.....	168
<u>REFERENCIAS</u>	.....	172

## CAPÍTULO I

### INTRODUÇÃO GERAL

Os cristais com a estrutura do  $\text{PbTiO}_3$  são de grande importância dentro da física devido às suas propriedades ferroelétricas e transições de fase apresentadas<sup>(1)</sup>. O cristal mais estudado desta série é o  $\text{BaTiO}_3$ . Este cristal para temperaturas acima de  $120^\circ\text{C}$  é cúbico e pertence ao grupo espacial  $\text{O}_h^1$ . A  $120^\circ\text{C}$  o  $\text{BaTiO}_3$  efetua uma transição de fase ferroelétrica e passa a ter uma estrutura tetragonal, pertencendo ao grupo espacial  $\text{C}_{4v}^1$ . Este cristal efetua outras duas transições a  $5^\circ\text{C}$  e  $-90^\circ\text{C}$  mudando sua estrutura para ortorrômbica e trigonal, respectivamente.

Em trabalho recente Burns e Dacol<sup>(2)</sup> afirmam que as instabilidades estruturais nas "perovskitas", das quais o  $\text{BaTiO}_3$  é exemplo principal, são firmemente confirmadas pela teoria do funon "soft" de Cochran<sup>(3,4,5)</sup>. Essa posição de Burns e Dacol já havia sido assumida por vários pesquisadores<sup>(6-10)</sup>. Esta conclusão, entretanto, não foi confirmada por estudos recentes do espectro Raman do  $\text{BaTiO}_3$  realizado por diversos autores<sup>(11-15)</sup>.

O cristal de  $\text{PbTiO}_3$  também é ferroelétrico à temperatura ambiente e efetua uma transição de fase tetragonal-cúbica

para temperaturas da ordem de  $493^{\circ}\text{C}$ <sup>(16)</sup>. A temperatura de Curie-Weiss deste cristal é da ordem de  $449^{\circ}\text{C}$ , indicando que a transição é de primeira ordem<sup>(17)</sup>. Medidas da constante dielétrica em amostras de pó do  $\text{PbTiO}_3$  indicaram a existência de pequenas anomalias para temperaturas da ordem de  $-100^{\circ}\text{C}$  e  $-150^{\circ}\text{C}$ <sup>(18,19)</sup>. Tentou-se atribuir a anomalia à  $100^{\circ}\text{C}$  a uma transição antiferroelétrica, porém, não foram encontrados outros detalhes a respeito, na literatura. O espectro de fonons do  $\text{PbTiO}_3$  tem sido estudado através de técnicas de espalhamento Raman, infravermelho e espalhamento de neutrons<sup>(20,28)</sup>. Esses estudos mostram que os modos do  $\text{PbTiO}_3$  são finos e pouco amortecidos. Acima de  $T_c$  o modo de menor frequência é pouco amortecido através de toda a zona de Brillouin. À temperatura ambiente os modos óticos de menor frequência também são pouco amortecidos. Embora o  $\text{PbTiO}_3$  seja um material de grande importância o estudo experimental de suas propriedades físicas é dificultado pela falta de bons monocristais<sup>(24)</sup>. Por esse motivo a maioria das medidas das propriedades elásticas e piezoeletricas do  $\text{PbTiO}_3$  tem sido realizadas em amostras policristalinas<sup>(29-31)</sup>. A única medida da constante dielétrica estática  $\epsilon_{33}$  em monocrystal de  $\text{PbTiO}_3$  foi realizada por Bhide et al<sup>(32)</sup>.

Não existem trabalhos teóricos para estudar o espectro de fonons e as forças interionicas no  $\text{PbTiO}_3$  e  $\text{BaTiO}_3$ .

Neste trabalho nos propomos a realizar estudos teóricos dos fonons em ambos os cristais através do modelo do ion rígido<sup>(33)</sup>.

No capítulo II fazemos uma breve revisão da teoria de dinâmica de redes cristalinas e da teoria de propagação de ondas acústicas em cristais.

No capítulo III aplicamos os métodos de teoria de grupos para estudar a simetria dos modos normais para todos os pontos de maior simetria da zona de Brillouin do PbTiO<sub>3</sub> e BaTiO<sub>3</sub>. São também obtidas as bases irreduutíveis para esses modos normais. Nesse mesmo capítulo discutimos a estrutura do PbTiO<sub>3</sub> e BaTiO<sub>3</sub>.

No capítulo IV discutimos detalhadamente o modelo do ion rígido do PbTiO<sub>3</sub> e BaTiO<sub>3</sub>. Cinco dos parâmetros do modelo do ion rígido são determinados através de condições de estabilidade, pelo método descrito por Katiyar<sup>(34)</sup>. Os parâmetros restantes são determinados pelo método de mínimos quadrados não linear. Os parâmetros obtidos foram utilizados para encontrar as curvas de dispersão dos fonons nas direções de maior simetria da célula recíproca do PbTiO<sub>3</sub>. Essas curvas foram comparadas com as medidas existentes de espalhamento de neutrons. O modelo foi também utilizado para estudar a dispersão oblíqua de fonons no PbTiO<sub>3</sub> e BaTiO<sub>3</sub>. Nesse capítulo foram também calculadas as constantes elásticas e piezoeletricas de ambos os cristais.

Apresentamos também um estudo dos parâmetros do modelo para temperaturas próximas à temperatura de transição.

## CAPÍTULO II

### REVISÃO DA TEORIA DE DINÂMICA DE REDES CRISTALINAS

#### III.1 - INTRODUÇÃO

Os fonons desempenham um papel importante nos vários ramos da física do estado sólido. Algumas propriedades físicas dos cristais, como por exemplo, resistividade, condutividade térmica, capacidade térmica e supercondutividade, são relacionadas diretamente à densidade de estados de fonons. Outras propriedades, tais como função dieletrica, ultra-som, potenciais interatônicos são relacionadas aos modos normais de vibração do cristal.

Os estudos dos fonons em cristais iônicos são em geral baseados no modelo do ion rígido, proposto por Born<sup>(33)</sup>. Este modelo foi aplicado pela primeira vez, por Kellermann<sup>(35)</sup>, ao NaCl, tendo apresentado resultados bastante satisfatórios. Algumas modificações deste modelo<sup>(36-38)</sup> foram sugeridas para incluir a influência da polarizabilidade dos íons nas propriedades dinâmicas da rede. O modelo frequentemente utilizado na década de 1960 era o modelo de conchas (shell model) proposto por Cochran et al<sup>(39,40)</sup>. Neste modelo cada íon seria considerado composto de um "core" (núcleo e elétrons fortemen-

te ligados) e uma concha de elétrons relativamente livres. Os "cores" são ligados às conchas por forças consideradas intensas, se comparadas às forças que ligam os íons.

Com a introdução do modelo de conchas, o número de parâmetros a ser ajustado aumentou aproximadamente quatro vezes em relação ao número de parâmetros do modelo do íon rígido, implicando na necessidade de se introduzir várias aproximações ao modelo.

Entretanto os melhoramentos introduzidos pelo modelo de conchas foram muito limitados, levando Schröder<sup>( 41 )</sup> a propor um novo modelo denominado "Breathing shell model". O número de parâmetros do modelo de Schröder tornou quase impossível sua aplicação a cristais complexos e com baixa simetria.

Considerando todos estes fatos optamos pelo modelo do íon rígido, o qual é adequado para explicar a maioria das propriedades da rede cristalina.

### III.2 - EQUAÇÕES DE MOVIMENTO DA REDE CRISTALINA

A teoria de dinâmica de redes cristalinas tem sido objeto de estudo por parte de diversos autores. Importantes trabalhos de revisão da teoria foram escritos, destacando-se os de Cochran<sup>( 42, 43 )</sup>, Cowley<sup>( 44 )</sup>, Cochran e Cowley<sup>( 45 )</sup>, Maradudin et al<sup>( 46 )</sup>.

Neste capítulo faremos uma breve revisão das equações ligadas à teoria de dinâmica de redes.

Consideremos um cristal composto de um número infinito de células unitárias, cada uma sendo um paralelepípedo definido por três vetores não coplanares  $\vec{a}_1, \vec{a}_2, \vec{a}_3$ . A posição de equilíbrio da 1-ésima célula unitária, em relação a uma origem colocada sobre algum dos átomos do cristal, é descrita pelo vetor:

$$\vec{r}^l = l_1 \vec{a}_1 + l_2 \vec{a}_2 + l_3 \vec{a}_3 \quad (\text{II.1})$$

onde  $l_1, l_2, l_3$  são inteiros, aos quais iremos nos referir coletivamente como  $l$ . Os vetores  $\vec{a}_1, \vec{a}_2, \vec{a}_3$  são chamados vetores primitivos da rede. As diferentes partículas (átomos ou íons) em uma célula unitária são identificadas através do índice  $K = 1, 2, \dots, n$ , onde  $n$  é o número de partículas por célula. Qualquer partícula na rede cristalina pode ser identificada através dos índices  $l$  e  $K$ .

A posição da partícula  $K$ , na célula base é denotada por  $\vec{r}_K$  e a posição da partícula em qualquer outra célula é dada por:

$$\vec{r}_K^l = \vec{r}^l + \vec{r}_K \quad (\text{II.2})$$

O vetor distância entre uma partícula  $K$ , situada na célula  $l$ , e uma partícula  $K'$  situada na célula  $l'$ , é dado por:

$$\vec{r}_{KK'}^{l-l'} = \vec{r}_K^l - \vec{r}_{K'}^{l'} \quad (\text{II.3})$$

Se  $\vec{l}' = 0$  (célula base), a relação (II.3) pode se es-  
crita como:

$$\begin{aligned}\vec{r}_{KK'}^l &= \vec{r}_K^l - \vec{r}_{K'}^l \\ &= \vec{r}_K - \vec{r}_{K'} + \vec{r}^l\end{aligned}\quad (\text{II.4})$$

Utilizando a relação (II.4), podemos escrever:

$$-\vec{r}_{KK'}^l = \vec{r}_{KK'}^{-l} \quad (\text{II.5})$$

Suponhamos que o deslocamento de uma partícula ( $K$ ) de sua posição de equilíbrio seja descrito pelo vetor  $\vec{U}_K^l$ . O vetor distância entre duas partículas deslocadas de suas posições de equilíbrio será dado por:

$$\vec{r} = \vec{r}_{KK'}^{l-l'} + \vec{U}_{KK'}^{ll'} \quad (\text{II.6})$$

onde

$$\vec{U}_{KK'}^{ll'} = \vec{U}_K^l - \vec{U}_{K'}^{l'} \quad (\text{II.7})$$

Consideremos a energia potencial total,  $\Phi$ , do cristal. Assumiremos que  $\Phi$  depende somente das posições instantâneas dos núcleos (46). Se expandirmos  $\Phi$  em série de Taylor nos deslocamentos atômicos  $\vec{U}_K^l$ , iremos obter:

$$\Phi = \Phi_0 + \sum_{\alpha K} \Phi_\alpha(l_K) U_\alpha(l_K) + \frac{1}{2} \sum_{\alpha K \beta} \Phi_{\alpha\beta}(l_{K\beta}) U_\alpha(l_K) U_\beta(l_\beta) + \dots \quad (\text{II.8})$$

Se restringirmos a expansão (II.8) a termos de segunda ordem nos deslocamentos atômicos, obtemos a aproximação conhecida como harmônica. Os coeficientes  $\Phi_\alpha(l_K)$  e  $\Phi_{\alpha\beta}(l_{K\beta})$

são dados por:

$$\Phi_\alpha(\frac{l}{K}) = \left. \frac{\partial \Psi}{\partial U_\alpha(\frac{l}{K})} \right|_0 \quad (\text{II.9a})$$

$$\Phi_{\alpha\beta}(\frac{ll'}{KK'}) = \left. -\frac{\partial^2 \Psi}{\partial U_\alpha(\frac{l}{K}) \partial U_\beta(\frac{l'}{K'})} \right|_0 \quad (\text{II.9b})$$

O subscrito 0 indica que as derivadas devem ser calculadas na configuração de equilíbrio dos átomos.

Como podemos ver em (II.9a),  $\Phi_\alpha(\frac{l}{K})$  corresponde ao negativo da força que atua no átomo  $(\frac{l}{K})$ , na direção  $\alpha$ . Na configuração de equilíbrio, a força que atua sobre qualquer partícula deve se anular. Portanto concluimos que:

$$\Phi_\alpha(\frac{l}{K}) = 0 \quad (\text{II.10})$$

A equação de movimento para a partícula  $(\frac{l}{K})$  pode ser escrita como:

$$m_K \ddot{U}_\alpha(\frac{l}{K}) = -\frac{\partial \Psi}{\partial U_\alpha(\frac{l}{K})} \quad (\text{II.11})$$

ou seja

$$m_K \ddot{U}_\alpha(\frac{l}{K}) = -\sum_{\beta} \Phi_{\alpha\beta}(\frac{ll'}{KK'}) U_\beta(\frac{l'}{K'}) \quad (\text{II.12})$$

Os coeficientes  $\Phi_{\alpha\beta}(\frac{ll'}{KK'})$  recebem o nome de constantes de força atômicas. Em primeira aproximação,  $\Phi_{\alpha\beta}(\frac{ll'}{KK'})$  pode ser interpretado como a força com sinal negativo, exercida na direção  $\alpha$  sobre o átomo  $(\frac{l}{K})$ , quando o átomo  $(\frac{l'}{K'})$  é deslocado de uma distância unitária na direção  $\beta$ , enquanto todos os outros átomos são mantidos em suas posições de equilíbrio. Pode

mos ver, a partir da equação (II.9b) que os coeficientes

$\Phi_{\alpha\beta}(\frac{\ell\ell'}{KK'})$  satisfazem a relação de simetria:

$$\Phi_{\alpha\beta}(\frac{\ell\ell'}{KK'}) = \Phi_{\beta\alpha}(\frac{\ell'\ell}{K'K}) \quad (\text{II.13})$$

Uma vez que  $\Phi$  é invariante com respeito a translações infinitesimais rígidas do cristal, pode-se mostrar que as seguintes relações são válidas (46):

$$\sum_{\ell K} \Phi_{\alpha}(\frac{\ell}{K}) = 0 \quad (\text{II.14a})$$

$$\sum_{\ell' K'} \Phi_{\alpha\beta}(\frac{\ell\ell'}{KK'}) = 0 \quad (\text{II.14b})$$

$$\Phi_{\alpha\beta}(\frac{\ell\ell'}{KK'}) = - \sum'_{\ell' K'} \Phi_{\alpha\beta}(\frac{\ell\ell'}{KK'}) \quad (\text{II.14c})$$

A invariança de  $\Phi$  com respeito a uma translação rígida do cristal igual a uma vetor da rede,  $\vec{r}^{\ell}$ , implica que  $\Phi_{\alpha\beta}(\frac{\ell\ell'}{KK'})$  depende de  $\ell$  e  $\ell'$  somente através da sua diferença  $\ell - \ell'$ :

$$\Phi_{\alpha\beta}(\frac{\ell\ell'}{KK'}) = \Phi(\frac{\ell-\ell'}{K-K'}) \quad (\text{II.15})$$

A equação (II.12) pode ser resolvida impondo-se soluções do tipo onda plana:

$$U_{\alpha}(\frac{\ell}{K}) = \frac{1}{\sqrt{m_K}} \Psi_{\alpha}(K) \exp \left\{ 2\pi i \vec{q} \cdot \vec{r}(\frac{\ell}{K}) - i\omega t \right\} \quad (\text{II.16})$$

onde  $\vec{q}$  é um vetor do espaço recíproco que pode ser interpretado como vetor de onda,  $|\vec{q}| = \frac{1}{\lambda}$ . Substituindo esta solução na equação de movimento (equação II.12) e dividindo por

$\exp[2\pi i \vec{q} \cdot \vec{r}(K) - i\omega t]$ , obtemos um sistema de  $3n$  equações lineares homogêneas a  $3n$  incógnitas  $W_\alpha(K)$ :

$$\omega^2 W_\alpha(K) - \sum_{K' \beta} \left\{ \begin{smallmatrix} KK' \\ \alpha \beta \end{smallmatrix} \right\} W_\beta(K') = 0 \quad (\text{II.17})$$

onde

$$\left\{ \begin{smallmatrix} KK' \\ \alpha \beta \end{smallmatrix} \right\} = \frac{1}{(m_K m_{K'})^{1/2}} \left[ \begin{smallmatrix} KK' \\ \alpha \beta \end{smallmatrix} \right] \quad (\text{II.18a})$$

$$\left[ \begin{smallmatrix} KK' \\ \alpha \beta \end{smallmatrix} \right] = \sum_l \Phi_{\alpha \beta}(l l') \exp \left[ 2\pi i \vec{q} \cdot \vec{r}(K' l) \right] \quad (\text{II.18b})$$

A condição para que o conjunto de equações (II.17) tenha solução não trivial é que o determinante dos coeficientes se anule:

$$\left[ \omega^2 \delta_{\alpha \beta} \delta_{KK'} - \left\{ \begin{smallmatrix} KK' \\ \alpha \beta \end{smallmatrix} \right\} \right] = 0 \quad (\text{II.19})$$

A equação (II.19) é uma equação de grau  $3n$  em  $\omega^2$  e para cada valor de  $\vec{q}$  ela fornece  $3n$  frequências denotadas por  $\omega_j(\vec{q})$ . Se considerarmos as condições de contorno cíclicas propostas por Born-von Karman (46), veremos que os vetores  $\vec{q}$  se restringem a primeira zona de Brillouin do espaço recíproco.

Para cada um dos  $3n$  valores  $\omega_j(\vec{q})$  correspondentes a um dado valor de  $\vec{q}$ , existe um vetor  $\vec{e}(K|j)$ , cujas componentes são soluções do conjunto de equações (II.17), que podem ser escritas como:

$$\omega_j^2(\vec{q}) e_\alpha(K|j) - \sum_{K' \beta} \left\{ \begin{smallmatrix} KK' \\ \alpha \beta \end{smallmatrix} \right\} e_\beta(K'|j) = 0 \quad (\text{II.20})$$

Estas equações determinam os auto-vetores  $\vec{e}(K|_j^q)$  a menos de um fator constante e esse fator pode ser escolhido de tal forma que sejam satisfeitas as equações:

$$\sum_{K\alpha} e_\alpha(K|_j^q) \cdot e_\alpha^*(K|_j^q) = \delta_{jj}, \quad (\text{II.21a})$$

$$\sum_j e_\alpha(K|_j^q) e_\beta^*(K'|_j^q) = \delta_{\alpha\beta} \delta_{KK'}, \quad (\text{II.21b})$$

Os auto-vetores  $\vec{e}(K|_j^q)$  podem ser escritos como:

$$\vec{e}(K|_j^q) = \vec{\rho}(K|_j^q) \exp [i\psi(K|_j^q)] \quad (\text{II.22})$$

onde  $\vec{\rho}$  é um vetor real.

Os coeficientes  $\begin{bmatrix} KK' \\ \alpha\beta \end{bmatrix}$ , para o caso em que  $K=K'$  podem ser calculados considerando-se a equação (II.14c). Podemos escrever:

$$\begin{aligned} \begin{bmatrix} KK \\ \alpha\beta \end{bmatrix} &= \sum_{\mathbf{l}} \Phi_{\alpha\beta}(\frac{\mathbf{l}\mathbf{l}'}{KK}) \exp [2\pi i q \cdot \vec{r}_{KK'}^{\mathbf{l}\mathbf{l}'}] \\ &= \Phi_{\alpha\beta}(\frac{\mathbf{l}\mathbf{l}'}{KK}) + \sum_{\mathbf{l}'} \Phi_{\alpha\beta}(\frac{\mathbf{l}\mathbf{l}'}{KK}) \exp [2\pi i q \cdot \vec{r}_{KK'}^{\mathbf{l}\mathbf{l}'}] \\ &= - \sum_{KK''} \Phi_{\alpha\beta}(\frac{\mathbf{l}\mathbf{l}'}{KK''}) + \sum_{\mathbf{l}} \Phi_{\alpha\beta}(\frac{\mathbf{l}\mathbf{l}'}{KK}) \times \\ &\quad \times \exp [2\pi i q \cdot \vec{r}_{KK'}^{\mathbf{l}\mathbf{l}'}] \quad (\text{II.23}) \end{aligned}$$

### II.3 - MATRIZ DINÂMICA

Os coeficientes de acoplamento  $\begin{bmatrix} KK' \\ \alpha\beta \end{bmatrix}$  (equação II.18a) definem uma matriz de dimensão  $3n \times 3n$ , com índices  $(\alpha, K)$ ,

$(\beta, K')$ . Esta matriz é conhecida como matriz dinâmica do cristal. Pode-se mostrar<sup>(46)</sup> facilmente que a matriz dinâmica é hermitiana. Este fato implica que os auto-valores  $\omega_j^2(\vec{q})$  são reais. Portanto, os  $\omega_j(\vec{q})$  ou são reais ou imaginários puros. Desde que um valor imaginário de  $\omega_j(\vec{q})$  levaria a uma instabilidade da rede cristalina, vemos que a condição microscópica para a estabilidade da rede é que cada  $\omega_j^2(\vec{q})$  seja positivo.

#### II.4 - MODOS ACÚSTICOS

Consideremos a equação (II.20), no caso em que o vetor de onda  $\vec{q} = \vec{0}$ :

$$\omega_j^2 \frac{e_\alpha(K|_j^0)}{\sqrt{m_K}} = \sum_{\beta K'} \frac{\phi_{\alpha\beta}(K'K')}{m_{K'}} \cdot \frac{e_\beta(K'|_j^0)}{\sqrt{m_{K'}}} \quad (\text{II.24})$$

Consideremos a hipótese de que para cada  $\beta$ ,  $\frac{e_\beta(K'|_j^0)}{\sqrt{m_{K'}}}$  é independente de  $K'$ . Levando-se em conta a equação (II.14b), veremos que o lado direito da equação (II.24) se anula, implicando que  $\omega_j^2(0) = 0$ . Este argumento é válido uma vez que a solução trivial  $e(K|\vec{q})=0$  não está sendo considerada. Portanto, para cada  $\alpha$ , existe uma solução  $\omega_j^2(0) = 0$ , quando  $\vec{q} = \vec{0}$ . Esses modos são chamados modos acústicos. O deslocamento  $U_\alpha(\frac{l}{K})$  de uma partícula  $(\frac{l}{K})$ , para o caso dos modos acústicos é dado por:

$$u_{\alpha}(k) = \frac{1}{\sqrt{m_k}} e_{\alpha}(k)_j^0 \quad (\text{II.25})$$

que por hipótese independe de  $k$ . Portanto todas as partículas se deslocam paralelamente e com amplitudes iguais. Este tipo de movimento é semelhante ao movimento de um meio elástico contínuo no qual é excitada uma onda sonora.

## II.5 - O MODELO DO ÍON RÍGIDO

O modelo do íon rígido considera que a polarização do cristal iônico é completamente determinada pelos deslocamentos dos íons de suas posições de equilíbrio. Em outras palavras, os íons são considerados rígidos ou indeformáveis. De acordo com este modelo, o cristal iônico consiste de íons rígidos possuindo cargas positivas ou negativas. A coesão do cristal resulta da atração coulombiana entre os íons, sendo o cristal estabilizado por forças de curto alcance do tipo central, que atuam entre vizinhos próximos.

A energia potencial do cristal pode ser escrita como:

$$\psi = C\psi + R\psi \quad (\text{II.26})$$

onde  $C$  indica o termo Coulombiano e  $R$  o termo de curto alcance.

Os coeficientes de acoplamento  $[KK']_{\alpha\beta}$  podem ser escritos como:

$$[KK']_{\alpha\beta} = C [KK']_{\alpha\beta} + R [KK']_{\alpha\beta} \quad (\text{II.27})$$

O coeficiente  $\frac{R}{\alpha\beta} \left[ \begin{smallmatrix} KK' \\ KK' \end{smallmatrix} \right]$  pode ser calculado de diversas formas, dependendo do particular problema a ser resolvido. Em geral, faz-se uso do modelo de forças axialmente simétricas (47, 48) definidas através das equações:

$$\left. \frac{1}{r_{KK'}} \frac{\partial \phi_{KK'}}{\partial r_{KK'}} \right|_0 = \frac{e^2}{2v} B_{KK'}, \quad (\text{II.28})$$

$$\left. \frac{\partial^2 \phi_{KK'}}{\partial r_{KK'}^2} \right|_0 = \frac{e^2}{2v} A_{KK'}, \quad (\text{II.29})$$

Costuma-se também atribuir à energia potencial de curto alcance uma das seguintes formas (33):

$$\phi_{KK'} = \beta_{KK'} e^{-\alpha_{KK'} r_{KK'}} \quad (\text{II.30a})$$

$$\phi_{KK'} = \frac{\beta'_{KK'}}{r_{KK'}^n}, \quad n = n_{KK'}, \quad (\text{II.30b})$$

Os índices  $KK'$  que ocorrem nas equações anteriores indicam pares de átomos, separados pela distância  $r_{KK'}$ .

Os coeficientes  $\frac{C}{\alpha\beta} \left[ \begin{smallmatrix} KK' \\ KK' \end{smallmatrix} \right]$  para o caso Coulombiano podem ser calculados, utilizando-se a transformação (49):

$$\frac{1}{|\vec{r}^L - \vec{r}'^L|} = \frac{2}{\sqrt{\pi}} \int_0^\infty d\rho e^{-\rho^2} |\vec{r}^L - \vec{r}'| \quad (\text{II.31})$$

Através dessa transformação, podemos obter os coefici-

entes de Coulomb (15)

$$\begin{aligned}
 C_{\alpha\beta}(\vec{q},) = & -c^3 s \sum_k H_{\alpha\beta}\left(|\frac{c}{r} \vec{r}(1,0)_K\right) \exp\left[2\pi i \vec{q} \cdot \vec{r}(1,0)_K\right] - \\
 & - \frac{4}{3} \frac{c^3}{\sqrt{\pi}} s \cdot \delta_{\alpha\beta} \delta_{KK'} + \frac{4\pi^3 r^2}{c^2} \sum_h (\vec{b}(h) + \vec{q})_\alpha \times \\
 & \times (\vec{b}(h) + \vec{q})_\beta \times G\left\{\frac{\pi^2 r^2}{c^2} |\vec{b}(h) + \vec{q}|^2\right\} \times \\
 & \times \exp\left[2\pi i \left\{\vec{b}(h) \cdot \vec{r}(0,0)_K\right\}\right]
 \end{aligned} \quad (II.32)$$

onde

$$H_{\alpha\beta}(|\vec{r}|) = \frac{\partial}{\partial x_\alpha} \frac{\partial}{\partial x_\beta} H(|\vec{r}|) \quad (II.33a)$$

$$H(r) = \frac{2}{\sqrt{\pi}} \frac{1}{r} \int_r^\infty \exp(-\rho^2) d\rho \quad (II.33b)$$

$$r = \frac{c}{r} |\vec{r}(1,0)_K| \quad (II.33c)$$

$$G(p) = \frac{e^{-p}}{p} \quad , \quad (II.33d)$$

$$p = \frac{\pi^2 r^2}{c^2} |\vec{b}(h) + \vec{q}|^2 \quad (II.33e)$$

onde  $r$  é alguma dimensão característica da rede e  $c$  é um número que fornece uma convergência tão rápida quanto possível.

A quantidade  $s$  é definida a partir do volume da célula unitária,  $v = sr^3$ . Podemos notar que o termo  $(0)_K = (1)_K$  é omitido do primeiro somatório em (II.32).

Os coeficientes de acoplamento  $C_{\alpha\beta}^{[KK']} = \sum_k H_{\alpha\beta}\left(|\frac{c}{r} \vec{r}(1,0)_K\right)$  podem ser relacionados aos  $C_{\alpha\beta}(\vec{q},)$  através da expressão:

$$\frac{v}{e^2} C_{\alpha\beta}^{KK'} = z_K, C_{\alpha\beta}(\vec{q},) z_{K'} - \\ - \delta_{KK'} \sum_{K''} z_K C_{\alpha\beta}(\vec{0},) z_{K''}, \quad (II.34)$$

onde  $z_K$  e  $z_{K'}$  são as cargas efetivas dos íons  $K$  e  $K'$ , respectivamente.

O termo com  $h=0$ , à direita da equação (II.32) é ambíguo para o caso em que  $\vec{q} \rightarrow \vec{0}$ . Este termo pode ser associado ao campo macroscópico e pode ser calculado tomando-se o limite  $\vec{q} \rightarrow 0$  em uma particular direção.

Os coeficientes de acoplamento para o caso não Coulombiano podem ser escritos como:

$$R_{\alpha\beta}^{KK'} = N_{\alpha\beta}(\vec{q},) - \delta_{KK'} \sum_{K''} N_{\alpha\beta}(\vec{0},) \quad (II.35)$$

onde  $N_{\alpha\beta}(\vec{q},)$  é dado por:

$$N_{\alpha\beta}(\vec{q},) = - \frac{e^2}{2v} \sum_{\mathbf{k}} \left[ \frac{\mathbf{r}_{\alpha} \mathbf{r}_{\beta}}{r^2} (A(r) - B(r)) + \right. \\ \left. + B(r) \delta_{\alpha\beta} \right] \exp [2\pi i \vec{q} \cdot \vec{r}_{K',K}] \quad (II.35)$$

onde

$$\mathbf{r} = \mathbf{r}_{K',K}$$

## III.6 - PROPAGAÇÃO DE ONDAS ACÚSTICAS EM CRISTAIS

A lei de Hooke pode ser escrita em termos do tensor de

"stress",  $T_{ij}$ , e do tensor de "strain",  $S'_{ij}$ , da seguinte forma: (50)

$$T_{ij} = \sum_l \sum_m c_{ijlm} \cdot S'_{ij} \quad (\text{II.36})$$

O tensor  $T_{ij}$  é simétrico e tem nove componentes, das quais seis são independentes. O tensor  $S'_{ij}$  também é simétrico e tem nove componentes, das quais seis são independentes. É conveniente representarmos o "strain" através de símbolos  $S_{ij}$ , que se relacionam aos  $S'_{ij}$  da seguinte forma:

$$S_{ii} = S'_{ii} \quad (\text{II.37a})$$

$$S_{ij} = 2 S'_{ij} \quad (i \neq j) \quad (\text{II.37b})$$

Sejam  $u$ ,  $v$ ,  $w$  as componentes do deslocamento que representa o strain. As componentes do "strain"  $S_{ij}$  podem ser escritas em termos de  $u$ ,  $v$  e  $w$  da seguinte maneira:

$$S_{11} = \frac{\partial u}{\partial x}, \quad S_{22} = \frac{\partial v}{\partial y}, \quad S_{33} = \frac{\partial w}{\partial z}$$

$$S_{23} = \frac{\partial v}{\partial z} + \frac{\partial w}{\partial y}, \quad S_{13} = \frac{\partial w}{\partial x} + \frac{\partial u}{\partial z} \quad (\text{II.38})$$

$$S_{12} = \frac{\partial u}{\partial y} + \frac{\partial v}{\partial x}$$

O tensor  $c_{ijkl}$  recebe o nome de tensor de constantes-elásticas. Este tensor tem oitenta e uma componentes, as quais satisfazem as seguintes relações de simetria (51):

$$c_{ijlm} = c_{ijml} \quad (\text{II.39a})$$

$$c_{ijlm} = c_{jilm} \quad (\text{II.39b})$$

Portanto, o número de componentes independentes do tensor  $c_{ijkl}$  se reduz de oitenta e um para trinta e seis. A simetria do cristal impõe restrições adicionais ao número de elementos independentes de  $c_{ijkl}$ .

A equação (II.36) pode ser expandida em termos dos  $s_{ij}$ , fornecendo as seguintes relações:

$$\begin{aligned} T_{11} = & c_{1111} s_{11} + c_{1122} s_{22} + c_{1133} s_{33} + 2c_{1112} s_{12} + \\ & + 2c_{1113} s_{13} + 2c_{1123} s_{23} \end{aligned} \quad (\text{II.40a})$$

$$\begin{aligned} T_{12} = & c_{1211} s_{11} + c_{1222} s_{22} + c_{1233} s_{33} + 2c_{1212} s_{12} + \\ & + 2c_{1213} s_{13} + 2c_{1223} s_{23} \end{aligned} \quad (\text{II.40b})$$

$$\begin{aligned} T_{13} = & c_{1311} s_{11} + c_{1322} s_{22} + c_{1333} s_{33} + 2c_{1312} s_{12} + \\ & + 2c_{1313} s_{13} + 2c_{1323} s_{23} \end{aligned} \quad (\text{II.40c})$$

$$\begin{aligned} T_{22} = & c_{2211} s_{11} + c_{2222} s_{22} + c_{2233} s_{33} + 2c_{2212} s_{12} + \\ & + 2c_{2213} s_{13} + 2c_{2223} s_{23} \end{aligned} \quad (\text{II.40d})$$

$$\begin{aligned} T_{23} = & c_{2311} s_{11} + c_{2322} s_{22} + c_{2333} s_{33} + 2c_{2312} s_{12} + \\ & + 2c_{2313} s_{13} + 2c_{2323} s_{23} \end{aligned} \quad (\text{II.40e})$$

$$\begin{aligned} T_{33} = & c_{3311} s_{11} + c_{3322} s_{22} + c_{3333} s_{33} + 2c_{3312} s_{12} + \\ & + 2c_{3313} s_{13} + 2c_{3323} s_{23} \end{aligned} \quad (\text{II.40f})$$

Podemos utilizar a notação matricial, para as quantidades que aparecem em (II.40) através da seguinte convenção:

-notação tensorial: 11 22 33 23,32 31,13 12,21

-notação matricial : 1 2 3 4 5 6

Podemos escrever as equações (II.40) como:

$$T_1 = c_{11}S_1 + c_{12}S_2 + c_{13}S_3 + c_{16}S_6 + c_{15}S_5 + c_{14}S_4 \quad (\text{II.41a})$$

$$T_6 = c_{61}S_1 + c_{62}S_2 + c_{63}S_3 + c_{66}S_6 + c_{65}S_5 + c_{64}S_4 \quad (\text{II.41b})$$

$$T_5 = c_{51}S_1 + c_{52}S_2 + c_{53}S_3 + c_{56}S_6 + c_{55}S_5 + c_{54}S_4 \quad (\text{II.41c})$$

$$T_2 = c_{21}S_1 + c_{22}S_2 + c_{23}S_3 + c_{26}S_6 + c_{25}S_5 + c_{24}S_4 \quad (\text{II.41d})$$

$$T_4 = c_{41}S_1 + c_{42}S_2 + c_{43}S_3 + c_{46}S_6 + c_{45}S_5 + c_{44}S_4 \quad (\text{II.41e})$$

$$T_3 = c_{31}S_1 + c_{32}S_2 + c_{33}S_3 + c_{36}S_6 + c_{35}S_5 + c_{34}S_4 \quad (\text{II.41f})$$

onde, por exemplo,  $c_{16} = 2c_{1112}$ ,  $c_{11} = c_{1111}$ , etc.

Escrevendo em forma compacta temos:

$$T_i = \sum_j c_{ij} \cdot S_j \quad (\text{II.42})$$

Os  $c_{ij}$  definidos em (II.41) recebem o nome de constantes elásticas e podem ser escritos na forma de matriz:

$$\begin{bmatrix} c_{11} & c_{12} & c_{13} & c_{14} & c_{15} & c_{16} \\ c_{21} & c_{22} & c_{23} & c_{24} & c_{25} & c_{26} \\ c_{31} & c_{32} & c_{33} & c_{34} & c_{35} & c_{36} \\ c_{41} & c_{42} & c_{43} & c_{44} & c_{45} & c_{46} \\ c_{51} & c_{52} & c_{53} & c_{54} & c_{55} & c_{56} \\ c_{61} & c_{62} & c_{63} & c_{64} & c_{65} & c_{66} \end{bmatrix} \quad (\text{II.43})$$

As propriedades de simetria de um cristal impõe restrições sobre o número de componentes independentes da matriz de constantes elásticas. Por exemplo, para cristais de simetria tetragonal (4mm), a matriz  $(c_{ij})$  é escrita como:

$$\begin{bmatrix} c_{11} & c_{12} & c_{13} & 0 & 0 & 0 \\ c_{12} & c_{11} & c_{13} & 0 & 0 & 0 \\ c_{13} & c_{13} & c_{33} & 0 & 0 & 0 \\ 0 & 0 & 0 & c_{44} & 0 & 0 \\ 0 & 0 & 0 & 0 & c_{44} & 0 \\ 0 & 0 & 0 & 0 & 0 & c_{66} \end{bmatrix}, \quad (\text{II.44})$$

A equação de movimento, para um meio elástico é dada por:

$$\rho \frac{\partial^2 u}{\partial t^2} = \frac{\partial}{\partial x} T_{11} + \frac{\partial}{\partial y} T_{12} + \frac{\partial}{\partial z} T_{13} \quad (\text{II.45})$$

Equações similares são válidas para  $\rho \frac{\partial^2 v}{\partial t^2}$  e  $\rho \frac{\partial^2 w}{\partial t^2}$ .

Para a simetria considerada (4mm) obtemos as equações de movimento:

$$\rho \frac{\partial^2 u}{\partial t^2} = c_{11} \frac{\partial^2 u}{\partial x^2} + c_{12} \frac{\partial^2 v}{\partial x \partial y} + c_{13} \frac{\partial^2 w}{\partial x \partial z} + c_{66} \left( \frac{\partial^2 u}{\partial y^2} + \frac{\partial^2 v}{\partial x \partial y} \right) + c_{44} \left( \frac{\partial^2 u}{\partial z^2} + \frac{\partial^2 w}{\partial x \partial z} \right) \quad (\text{II.46a})$$

$$\rho \frac{\partial^2 v}{\partial t^2} = c_{66} \left( \frac{\partial^2 u}{\partial x \partial y} + \frac{\partial^2 v}{\partial x^2} \right) + c_{11} \frac{\partial^2 v}{\partial y^2} + c_{12} \frac{\partial^2 u}{\partial x \partial y} + c_{13} \frac{\partial^2 w}{\partial y \partial z} + c_{44} \left( \frac{\partial^2 v}{\partial z^2} + \frac{\partial^2 w}{\partial y \partial z} \right) \quad (\text{II.46b})$$

$$\rho \frac{\partial^2 w}{\partial t^2} = c_{33} \frac{\partial^2 w}{\partial z^2} + c_{13} \left( \frac{\partial^2 u}{\partial x \partial z} + \frac{\partial^2 v}{\partial z \partial y} \right) + c_{44} \left( \frac{\partial^2 u}{\partial x \partial z} + \frac{\partial^2 w}{\partial x^2} + \frac{\partial^2 v}{\partial y \partial z} + \frac{\partial^2 w}{\partial y^2} \right) \quad (\text{II.46c})$$

Estas equações podem ser resolvidas considerando-se soluções do tipo onda plana:

$$u = A_1 \exp(2\pi i(yt - k_1 x - k_2 y - k_3 z)) \quad (\text{II.47a})$$

$$v = A_2 \exp(2\pi i(yt - k_1 x - k_2 y - k_3 z)) \quad (\text{II.47b})$$

$$w = A_3 \exp(2\pi i(yt - k_1 x - k_2 y - k_3 z)) \quad (\text{II.47c})$$

Substituindo as equações (II.47) em (II.46), obtemos:

$$(c_{11}k_1^2 + c_{44}k_3^2 + c_{66}k_2^2 - \rho v^2)A_1 + (c_{12} + c_{66}) k_1 k_2 A_2 + (c_{13} + c_{44}) k_1 k_3 A_3 = 0 \quad (\text{II.48a})$$

$$(c_{66} + c_{12}) k_1 k_2 A_1 + (c_{11} k_2^2 + c_{66} k_1^2 + c_{44} k_3^2 - \rho v^2) A_2 + (c_{13} + c_{44}) k_2 k_3 A_3 = 0 \quad (\text{II.48b})$$

$$(c_{44} + c_{13}) k_1 k_3 A_1 + (c_{44} + c_{13}) k_2 k_3 A_2 + [c_{44}(k_1^2 + k_2^2) + c_{33} k_3^2 - \rho v^2] A_3 = 0 \quad (\text{II.48c})$$

Para que estas equações sejam consistentes, o determinante dos coeficientes de  $A_i$  deve se anular:

$$\det \begin{bmatrix} m_{11} - \rho v^2 & m_{12} & m_{13} \\ m_{12} & m_{22} - \rho v^2 & m_{23} \\ m_{13} & m_{23} & m_{33} - \rho v^2 \end{bmatrix} = 0 \quad (\text{II.49})$$

onde

$$m_{11} = c_{11}k_1^2 + c_{66}k_2^2 + c_{44}k_3^2 \quad (\text{II.50a})$$

$$m_{12} = (c_{12} + c_{66}) k_1 k_2 \quad (\text{II.50b})$$

$$m_{13} = (c_{13} + c_{44}) k_1 k_3 \quad (\text{II.50c})$$

$$m_{22} = c_{66}k_1^2 + c_{11}k_2^2 + c_{44}k_3^2 \quad (\text{II.50d})$$

$$m_{23} = (c_{13} + c_{44}) k_2 k_3 \quad (\text{II.50e})$$

$$m_{33} = c_{44}(k_1^2 + k_2^2) + c_{33}k_3^2 \quad (\text{II.50f})$$

e  $k_1 = \frac{q_1}{a}$ ,  $k_2 = \frac{q_2}{b}$ ,  $k_3 = \frac{q_3}{c}$  (a, b, c dimensões da célula unitária.  $(k_1, k_2, k_3)$  determinam a direção de propagação da onda, com velocidade de propagação  $c = \frac{\nu}{|k|}$ .

## II.7 - PROPAGAÇÃO DE ONDAS ACÚSTICAS EM CRISTAIS PIEZOLETRICOS

Um cristal piezoelettrico pode ser definido como um cristal no qual a aplicação de um "stress" produz uma polarização elétrica que é proporcional ao "stress" aplicado. Este efeito é chamado efeito piezoelettrico direto. Outro efeito, chamado efeito piezoelettrico inverso, ocorre nestes cristais. Este efeito consiste em uma pequena mudança na forma do cristal, quando aplicamos um campo elétrico sobre o mesmo.

A contribuição dos campos elétricos internos do cristal às constantes elásticas foi considerado em detalhes por diversos autores entre os quais podemos citar: Kayme<sup>(52)</sup>, Koga et al<sup>(53)</sup> e Pailloux<sup>(54)</sup>. Hutson e White<sup>(55)</sup> e também Kayme<sup>(56)</sup> estudaram este efeito em semicondutores que manifestam -

efeito piezoeletrico. Dependendo da direção de propagação e do tensor piezoeletrico, a onda acústica pode ser acompanhada por um campo elétrico longitudinal que aumenta o valor das constantes elásticas. O campo elétrico longitudinal tem caráter eletrostático e seu efeito pode ser suficientemente grande para ser observado.

Nesta secção, vamos utilizar a notação apresentada por Hutson e White<sup>( 55)</sup>. Consideremos tres eixos ortogonais  $x_1$ ,  $x_2$ ,  $x_3$ , orientados arbitrariamente em relação aos eixos do cristal e, consideremos que a propagação das ondas planas se dá ao longo da direção  $x_1$ . Nestas condições, as derivadas com relação a  $x_2$  e  $x_3$  são nulas. A força na direção  $i$ , sobre um elemento de volume do cristal, em termos do tensor de "stress" é dada por  $\frac{\partial T_{li}}{\partial x_1}$ . O tensor de "strain", para uma onda se propagando ao longo da direção  $x_1$  é dado por:

$$S_{lk} = \frac{\partial u_k}{\partial x_1} \quad (\text{II.51})$$

Sob condições adiabáticas, podemos escrever as seguintes relações (Cady<sup>( 57)</sup>):

$$T_{li} = c_{lilk} S_{lk} - e_{kli} E_k \quad (\text{II.52a})$$

$$D_k = e_{kli} S_{li} + \epsilon_{ik} E_i \quad (\text{II.52b})$$

onde  $c_{ijkl}$  é o tensor de constantes elásticas,  $e_{ijk}$  é o ten-

sor piezoeletrico,  $\epsilon_{ik}$  é o tensor permissividade dielétrica.

Devemos mencionar que estamos utilizando a regra da soma sobre índices repetidos. Para meios isolantes, a equação constitutiva do meio é:

$$B_i = \mu_0 H_i \quad (\text{II.53})$$

onde foi feita a suposição de que o meio é magneticamente isotrópico. As equações de Maxwell são dadas por

$$\text{rot } \vec{H} = \frac{\partial \vec{D}}{\partial t} \quad (\text{II.54a})$$

$$\text{rot } \vec{E} = - \frac{\partial \vec{B}}{\partial t} \quad (\text{II.54b})$$

$$\text{div } \vec{B} = 0 \quad (\text{II.54c})$$

$$\text{div } \vec{D} = Q \quad (\text{II.54d})$$

Para o caso de ondas planas,  $B_1$  e  $H_1$  são constantes - no espaço e no tempo.

Diferenciando (II.52a) em relação à  $x_1$ , obtemos:

$$\frac{\partial}{\partial x_1} T_{il} = \rho \frac{\partial^2 u_i}{\partial t^2} = c_{lilk} \frac{\partial^2 u_k}{\partial x_1^2} - \epsilon_{kli} \frac{\partial E_k}{\partial x_1} \quad (\text{II.55})$$

Eliminando  $E_1$ , através da equação (II.52b), obtemos:

$$\rho \frac{\partial^2 u_i}{\partial t^2} = c'_{lilk} \frac{\partial^2 u_k}{\partial x_1^2} - \epsilon'_{pli} \frac{\partial E_p}{\partial x_1} \quad (p=2, 3) \quad (\text{II.56})$$

onde

$$c'_{lilk} = (c_{lilk} + \frac{e_{lli} e_{llk}}{\epsilon_{ll}}) \quad (\text{II.57a})$$

$$e'_{pli} = - \frac{\epsilon_{pl}}{\epsilon_{ll}} e_{lli} + e_{pli} \quad (\text{II.57b})$$

Das equações de Maxwell (II.54) e das equações (II.52b) e (II.53) obtemos:

$$\frac{\partial^2 E_p}{\partial x_1^2} = \mu_0 \frac{\partial}{\partial t} \left[ e'_{pli} \frac{\partial^2 u_i}{\partial t \partial x_1} + \epsilon_{ip} \frac{\partial E_i}{\partial t} \right] \quad (\text{II.58})$$

onde  $i = 1, 2, 3$  e  $p = 2, 3$ .

Eliminando  $E_1$  desta equação, obtemos:

$$\frac{\partial^2 E_p}{\partial x_1^2} = \mu_0 \frac{\partial}{\partial t} \left[ e'_{pli} \frac{\partial^2 u_i}{\partial t \partial x_1} + \epsilon'_{qp} \frac{\partial E_q}{\partial t} \right] \quad (\text{II.59})$$

onde  $q = 2, 3$  e  $\epsilon'_{qp}$  é dado por:

$$\epsilon'_{qp} = \epsilon_{qp} - \frac{\epsilon_{lp} \cdot \epsilon_{ol}}{\epsilon_{ll}} \quad (\text{II.60})$$

Escolhendo soluções do tipo onda plana

$$u_i = u_i^0 e^{j(kx_1 - \omega t)} \quad (\text{II.61a})$$

$$\epsilon_i = \epsilon_i^0 e^{j(Kx_i - \omega t)} \quad (\text{II.61b})$$

e substituindo em (II.56) e (II.59) obtemos:

$$\rho\omega^2 u_i^0 = k^2 c_{iilk} u_k^0 + jk\epsilon_{qli} \quad (\text{II.62a})$$

$$k^2 \epsilon_p = j\mu_0 K \omega^2 e_{pli} u_i + \mu_0 \omega^2 \epsilon_{qp} \quad (\text{II.62b})$$

O determinante dos coeficientes das equações (II.62) deve se anular para obtermos solução não trivial. Definindo velocidades complexas  $v'_{ijk} = e'_{ijk} / (\epsilon \rho)^{1/2}$  onde  $\epsilon$  é o valor médio da permissividade dielétrica do meio, podemos escrever:

$$\left[ \begin{array}{ccccc} \frac{c'_{1111} - \omega^2}{\rho} & \frac{c'_{1112}}{\rho} & \frac{c'_{1113}}{\rho} & \frac{v'_{211}\omega}{k} & \frac{v'_{311}\omega}{k} \\ \frac{c'_{1211}}{\rho} & \left( \frac{c'_{1212} - \omega^2}{\rho} \right) & \frac{c'_{1213}}{\rho} & \frac{v'_{212}\omega}{k} & \frac{v'_{312}\omega}{k} \\ \frac{c'_{1311}}{\rho} & \frac{c'_{1312}}{\rho} & \left( \frac{c'_{1313} - \omega^2}{\rho} \right) & \frac{v'_{213}\omega}{k} & \frac{v'_{313}\omega}{k} \\ \frac{v'_{211}\omega}{k} & \frac{v'_{212}\omega}{k} & \frac{v'_{213}\omega}{k} & \left( \frac{\omega^2}{k^2} \frac{\epsilon'_{22}}{\epsilon} - \frac{1}{\epsilon \mu_0} \right) & \frac{\omega^2 \epsilon'_{32}}{k^2 \epsilon} \\ \frac{v'_{311}\omega}{k} & \frac{v'_{312}\omega}{k} & \frac{v'_{313}\omega}{k} & \frac{\omega^2 \epsilon'_{32}}{k^2 \epsilon} & \left( \frac{\omega^2}{k^2} \frac{\epsilon'_{33}}{\epsilon} - \frac{1}{\epsilon \mu_0} \right) \end{array} \right] = 0 \quad (\text{II.63})$$

Hutson e White<sup>( 55 )</sup> mostram que podemos levar em conta o efeito piezoeletrico resolvendo somente a equação da onda acústica e considerando as constantes elásticas modificadas pelo tensor piezoeletrico (equação II.57a). Correções adicionais introduzidas ao se considerar o acoplamento com ondas eletromagnéticas são da ordem do quadrado da velocidade do som no cristal, dividida pela velocidade da onda eletromagnética e, podem ser despresadas.

#### II.8 - DINÂMICA DE REDES CRISTALINAS E CRYSTAIS FERROELETRICOS

Os cristais são em geral classificados em sete sistemas ( 1,58 ): triclinico, monoclinico, ortorrômbico, tetragonal , trigonal, hexagonal e cúbico. Esses sistemas costumam ser subdivididos de acordo com sua simetria em grupos de ponto ( classes cristalinas). Existem trinta e duas classes, das quais onze possuem centro de simetria.Das vinte e uma classes que não possuem centro de simetria, vinte delas apresentam polarização elétrica quando sujeitas a um "stress". Essa propriedade recebe o nome de efeito piezoeletrico.Dez dessas classes piezoeletricas- apresentam um eixo polar único e são chamadas polares porque - são espontaneamente polarizadas. A polarização espontânea - nesses cristais depende da temperatura e por esse motivo eles

são chamados piroelétricos. Os cristais ferroelétricos pertencem à família dos piroelétricos e são caracterizados pelo fato de que a polarização espontânea pode ser revertida através da aplicação de um campo elétrico. Esta condição é necessária para o cristal ser classificado como ferroelétrico.

Os cristais ferroelétricos, em geral apresentam uma temperatura,  $T_c$ , acima da qual a polarização espontânea desaparece e eles se tornam paraeletricos. A polarização espontânea pode desaparecer de forma contínua ou abrupta. Acima de  $T_c$ , à medida em que nos aproximamos da temperatura de transição, frequentemente observamos um comportamento divergente da constante dieletrica  $\epsilon$ . Para temperaturas próximas a  $T_c$ , observamos que  $\epsilon$  varia com a temperatura seguindo aproximadamente a lei de Curie-Weiss.

$$\epsilon = \frac{C}{T - T_0} \quad (\text{II.64})$$

onde  $T_0$  é chamada temperatura de Curie-Weiss, que é igual à  $T_c$  somente no caso em que a transição é contínua.  $T_c$  recebe o nome de ponto de Curie. Esse comportamento da constante dieletíca levou Cochran<sup>(3-5)</sup> a formular uma teoria para explicar a transição de fase ferroelétrica-paraeletrica baseado na teoria de dinâmica de redes cristalinas.

Cochran aplicou sua teoria a cristais diatônicos da família do NaCl. Embora esses cristais não sejam ferroelétricos, sua simplicidade é conveniente para propósitos ilustrativos. As frequências  $\omega_{T0}$  e  $\omega_{L0}$  dos modos transversais e longitudinais ópticos, para  $\vec{q} \rightarrow 0$ , são dadas por:

$$\mu\omega_{T0}^2 = R_0' - \frac{4\pi(\epsilon(\infty) + 2)(z')^2}{9v} \quad (\text{II.65a})$$

$$\mu\omega_{L0}^2 = R_0' + \frac{8\pi(\epsilon(\infty) + 2)(z')^2}{9v\epsilon(\infty)} \quad (\text{II.65b})$$

onde  $\mu$  é a massa reduzida  $m_1 m_2 / (m_1 + m_2)$ ;  $R_0'$  representa a interação de curto alcance entre os íons do cristal;  $z'$  é a carga efetiva dos íons e,  $\epsilon(\infty)$  é a constante dielétrica a altas frequências. As frequências  $\omega_{T0}^2$  e  $\omega_{L0}^2$  satisfazem a relação de Lyddane-Sachs-Teller<sup>(59)</sup>

$$\frac{\omega_{L0}^2}{\omega_{T0}^2} = \frac{\epsilon(0)}{\epsilon(\infty)} \quad (\text{II.66})$$

Em geral, à medida em que a temperatura decresce o fator  $R_0'$  decresce e o fator  $\frac{4\pi z'^2}{9v}$  aumenta. A constante dielétrica a altas frequências,  $\epsilon(\infty)$ , é independente da temperatura. A frequência  $\omega_{L0}$  se mantém praticamente constante com a diminuição da temperatura, o mesmo não ocorrendo para a frequê

cia  $\omega_{T0}$  que pode decrescer drasticamente. Estes fatos, juntamente com a relação de Lyddane-Sachs-Teller (equação II.66), levaram Cochran a postular que a frequência do fonon,  $\omega_{T0}$ , poderia variar com a temperatura da seguinte forma:

$$\omega_{T0}^2 \propto (T - T_0) \quad (\text{II.67})$$

o que implicaria que  $\epsilon(0) \rightarrow 0$  para  $\omega_{T0} \rightarrow 0$ .

As idéias de Cochran podem ser estendidas a cristais de simetria geral considerando-se a relação de Lyddane-Sachs-Teller generalizada<sup>(60)</sup>:

$$\frac{\epsilon(0)}{\epsilon(\infty)} = \frac{\pi}{j} \frac{(\omega_{L0})_j^2}{(\omega_{T0})_j^2} \quad (\text{II.68})$$

## CAPÍTULO III

### APLICAÇÃO DA TEORIA DE GRUPOS NO ESTUDO DAS VIBRAÇÕES DA REDE

#### CRISTALINA

##### III.1 - INTRODUÇÃO

O estudo das vibrações da rede cristalina é bastante-simplificado pela aplicação da teoria de grupos, na classificação dos diversos ramos dos fonons, de acordo com sua simetria. A aplicação da teoria de grupos no estudo das vibrações de cristais foi examinada nos artigos de Chen<sup>( 61 )</sup>, Maradudin e Vosko<sup>( 62 )</sup>, Warren<sup>( 63 )</sup> e, Montgomery<sup>( 64 )</sup>. O tratamento de Montgomery<sup>( 64 )</sup> difere daquele de Maradudin e Vosko<sup>( 62 )</sup>, uma vez que Montgomery obtém a simetria dos modos normais diretamente e não baseando-se na simetria da matriz dinâmica. Neste trabalho, iremos utilizar o tratamento apresentado por Montgomery.

##### III.2 - GRUPOS ESPACIAIS

Definimos o grupo espacial G de um cristal como o conjunto de operações  $\{(\alpha | \vec{a})\}$  que aplicados ao cristal deixam o seu arranjo atômico inalterado.  $\alpha$  representa uma rotação própria ou imprópria, relativa à um sistema de coordenadas fixo;  $\vec{a}$  pode ser escrito como a soma de uma translação da rede,  $\vec{r}^t$ ,

mais uma translação não primitiva  $\vec{v}_\alpha$ , associada à rotação  $\alpha$ .

Para grupos espaciais simórficos, os  $\vec{v}_\alpha$  são todos nulos. A multiplicação de dois elementos de  $G$  é dada por:

$$(\alpha | \vec{a}) (\alpha' | \vec{b}) = (\alpha \alpha' | \vec{a} + \alpha \vec{b}) \quad (\text{III.1})$$

O conjunto de rotações  $\{\alpha\}$  forma um grupo conhecido por grupo de ponto do cristal. Este grupo é um subgrupo de  $G$  só mente no caso em que  $G$  é simórfico.

O subgrupo de translação  $T = \{(\epsilon | \vec{r}^l)\}$  é um grupo abelian o de ordem  $N$ , onde  $N$  é fixado pelas condições de contorno cíclicas.

Consideremos o conjunto de operações  $\{\gamma\}$  onde cada elemento  $\gamma$  obedece a relação:

$$\gamma \vec{q} = \vec{q} + \vec{k}_\gamma \quad (\text{III.2})$$

onde  $\vec{k}_\gamma$  é um vetor da rede recíproca.  $\{\gamma\}$  é um subgrupo do grupo de ponto  $\{\alpha\}$  do cristal. O subgrupo  $G_q$  constituído por elementos da forma  $(\gamma | \vec{v}_\gamma + \vec{r}^l)$  é conhecido como grupo do vetor de onda.

### III.3 - APLICAÇÃO DA TEORIA DE GRUPOS ÀS VIBRAÇÕES DA REDE CRISTALINA

Suponhamos que um modo normal de vibração de um cristal seja representado por um vetor  $|\vec{q}_j\rangle$ , em um espaço  $S_v^\dagger$  de

dimensão  $3n$ , com as seguintes componentes:

$$|\vec{q}_j\rangle = \left\{ e_\alpha (K | \vec{q}_j) ; K=1,n; \alpha=1,2,3 \right\} \quad (\text{III.3})$$

Podemos olhar o espaço  $S_V^q$  (64), (65) como o produto de um espaço de "célula"  $S_C$ , gerado por uma base  $\{IK\rangle\}$ , por um espaço Euclidiano tridimensional e complexo, gerado por uma base  $\{\vec{i}_\alpha\}$ . O vetor  $|\vec{q}_j\rangle$  pode ser escrito como uma combinação linear da base  $\{IK\rangle \vec{i}_\alpha\}$  da seguinte forma:

$$|\vec{q}_j\rangle = \sum_{K\alpha} |IK\rangle \vec{i}_\alpha e_\alpha (K | \vec{q}_j)$$

Os símbolos  $|IK\rangle$  não tem significado geométrico; eles são índices com a propriedade de vetores abstratos que relacionam um vetor Euclidiano em  $S_E$  a um dos átomos da célula primitiva. O deslocamento  $\vec{U}_K^l$  de um átomo ( $K$ ), quando o modo  $|\vec{q}_j\rangle$  é excitado no cristal é dado por:

$$\vec{U}_K^l = \frac{1}{\sqrt{m_K}} \sum_\alpha \vec{i}_\alpha e_\alpha (K | \vec{q}_j) \exp(i\vec{q}\vec{r}_K^l - i\omega t) \quad (\text{III.5})$$

onde  $\omega$  é a frequência correspondente ao modo  $|\vec{q}_j\rangle$ . A aplicação do operador  $(\gamma | \vec{v}_\gamma)$  sobre o cristal desloca um átomo que está na posição  $\vec{r}_K$  para a posição  $\vec{r}_{\gamma K}$  dada por:

$$\begin{aligned} (\gamma | \vec{v}_\gamma) \vec{r}_K &= \gamma \vec{r}_K + \vec{v}_\gamma \\ &= \vec{r}_{\gamma K} + \vec{t} \end{aligned} \quad (\text{III.6})$$

onde  $\vec{t}$  é um vetor da rede, possivelmente nulo.

Um átomo situado em  $\vec{r}_K^0$  é transferido para a posição  $\vec{r}_{\gamma K}^0$ , dada por:

$$(\gamma | \vec{v}_\gamma) \vec{r}^0 = \vec{r}_{\gamma K} + \vec{t}, \\ = \vec{r}_{\gamma K}^0 \quad (\text{III.7})$$

O operador  $(\gamma | \vec{v}_\gamma)$  gira o vetor deslocamento de um átomo ( $\frac{1}{K}$ ) no mesmo sentido que o cristal e o transfere para a posição  $\vec{r}_{\gamma K}^0$ :

$$\vec{v}_\gamma(\frac{1}{K}) = \frac{1}{\sqrt{m_K}} \sum_{\alpha} (\gamma i_{\alpha}) e_{\alpha}(K | \vec{q}_j) \exp(i \vec{q} \vec{r}(\frac{1}{K})) - i \omega t \\ = \frac{1}{\sqrt{m_K}} \sum_{\alpha} \left\{ (\gamma i_{\alpha}) e_{\alpha}(K | \vec{q}_j) \exp(i \vec{K}_\gamma (\vec{r}_{\gamma K} - \vec{v}_\gamma)) \times \right. \\ \left. \times \exp(-i \vec{q} \cdot \vec{v}_\gamma) \right\} \exp(i \vec{q} \vec{r}(\frac{1}{K}) - i \omega t) \quad (\text{III.8})$$

onde  $\vec{K}_\gamma = \gamma \vec{q} - \vec{q}$ . O termo entre chaves, na equação (III.8) define a transformação dos vetores  $e_{\alpha}(K | \vec{q}_j)$  sob os operadores  $(\gamma | \vec{v}_\gamma)$ . O vetor  $| \vec{q}_j \rangle$  se transforma sob os operadores  $(\gamma | \vec{v}_\gamma)$  da seguinte forma:

$$(\gamma | \vec{v}_\gamma) | \vec{q}_j \rangle = \sum_{\alpha} | \gamma K \rangle \left\{ \gamma i_{\alpha} e_{\alpha}(K | \vec{q}_j) \exp(i \vec{K}_\gamma \cdot (\vec{r}_{\gamma K} - \vec{v}_\gamma)) \right. \\ \left. \times \exp(-i \vec{q} \cdot \vec{v}_\gamma) \right\} \quad (\text{III.9})$$

A aplicação de  $(\epsilon \mid \vec{r}^l)$  sobre  $|qj\rangle$  nos fornece:

$$(\epsilon \mid \vec{r}^l) \mid \vec{qj}\rangle = \exp(-i\vec{q} \cdot \vec{r}^l) \mid \vec{qj}\rangle \quad (\text{III.10})$$

Consideremos a aplicação do operador  $(\delta \mid \vec{c})$  sobre o vetor  $|qj\rangle$ :

$$(\delta \mid \vec{c}) \mid \vec{qj}\rangle = \exp(-i\vec{q} \cdot \vec{r}^l) (\delta \mid \vec{v}_\gamma) \mid \vec{qj}\rangle \quad (\text{III.11})$$

Multiplicando ambos os lados de (III.11) por  $\exp(i\vec{q} \cdot \vec{c})$ , obtemos:

$$\exp(i\vec{q} \cdot \vec{c})(\delta \mid c) \mid \vec{qj}\rangle = \exp(i\vec{q} \cdot \vec{v}_\gamma)(\delta \mid \vec{v}_\gamma) \mid \vec{qj}\rangle \quad (\text{III.12})$$

Vamos definir um operador  $O(\gamma)$  da seguinte forma:

$$\begin{aligned} O(\gamma) &= \exp(i\vec{q} \cdot \vec{v}_\gamma) (\delta \mid \vec{v}_\gamma) \\ &= \exp(i\vec{q} \cdot \vec{c}) (\delta \mid \vec{c}) \end{aligned} \quad (\text{III.13})$$

O produto de dois operadores  $O(\eta)$ ,  $O(\xi)$  é dado por:

$$O(\eta) O(\xi) = \exp(-i\vec{K}_{\eta^{-1}} \cdot \vec{v}_\xi) O(\eta \xi) \quad (\text{III.14})$$

onde  $\vec{K}_{\eta^{-1}} = \eta^{-1} \vec{q} - \vec{q}$  é um vetor da rede recíproca. Os operadores  $O(\gamma)$  definidos na equação (III.14) constituem um grupo que recebe o nome de grupo multiplicador.

Esses operadores podem ser representados por um conjunto de matrizes  $m_s^s(\gamma)$  (64) onde s indica a s-ésima representação irreduutível. As matrizes  $m_s^s(\gamma)$  satisfazem as relações de ortogonalidade:

$$\sum_{\gamma} m_{\lambda\mu}^s(\gamma) \bar{m}_{\lambda'\mu'}^{s'}(\gamma) = \frac{h}{n_s} \delta_{ss}, \delta_{\lambda\lambda}, \delta_{\mu\mu} \quad (\text{III.15})$$

onde  $n_s$  é a dimensão da representação e h é a ordem do grupo multiplicador. Utilizando os operadores  $O(\gamma)$  podemos escrever a equação (III.12) da seguinte forma:

$$O(\gamma) | \vec{q}_j \rangle = \sum_{K\alpha} | \gamma K \rangle (\gamma i_\alpha) e_\alpha(K) |\vec{q}_j \rangle \times \\ \times \exp(i \vec{K}_\gamma \cdot (\vec{r}_{\gamma K} - \vec{v}_\gamma)) \quad (\text{III.16})$$

Vamos agora definir um operador  $O'(\gamma)$  em  $S_G$  através da expressão

$$O'(\gamma) | K \rangle = | \gamma K \rangle \exp(i \vec{K}_\gamma \cdot (\vec{r}_{\gamma K} - \vec{v}_\gamma)) \\ = | \gamma K \rangle \exp(-i \vec{K}_{\gamma-1} \cdot \vec{r}_K) \quad (\text{III.17})$$

Podemos transformar a equação (III.16) em:

$$O(\gamma) | \vec{q}_j \rangle = \sum_{K\alpha} O'(\gamma) | K \rangle (\gamma i_\alpha) e_\alpha(K) |\vec{q}_j \rangle \quad (\text{III.18})$$

Da equação (III.18) obtemos:

$$O(\gamma)(IK)\vec{i}_\alpha = (O'(\gamma)IK)(\gamma\vec{i}_\alpha) \quad (\text{III.19})$$

Se operarmos sucessivamente com operadores  $O(\eta)$  e  $O(\xi)$  sobre  $IK\vec{i}_\alpha$  veremos que os operadores  $O'(\gamma)$  satisfazem a equação (III.14). Portanto, os operadores  $O'(\gamma)$  são isomorfos aos operadores  $O(\gamma)$  e podem ser representados pelas mesmas representações irreduutíveis de  $O(\gamma)$ .

Suponhamos que o espaço  $S_v^q$  seja redutível sob os operadores  $O(\gamma)$ . Podemos decompor  $\vec{S}_v^q$  em sub-espacos irreduutíveis decompondo separadamente  $S_C$  e  $S_E$  (64). A decomposição de  $S_E$  pode ser encontrada com facilidade em textos elementares de teoria de grupos (66). As representações irreduutíveis de  $S_C$  podem ser encontradas através do caracter dos operadores  $O'(\gamma)$ :

$$\chi^r(\gamma) = \sum \delta_{K,\gamma K} \exp(-i\vec{K}_{-1} \cdot \vec{r}_K) \quad (\text{III.20})$$

O número de ocorrência de cada uma das representações irreduutíveis é dado pela equação:

$$c_s = \frac{1}{h} \sum_r \chi^r(\gamma) \bar{\chi}^s(\gamma) \quad (\text{III.21})$$

Multiplicando cada representação irreduutível de  $S_C$  pelas representações irreduutíveis de  $S_E$  e realizando uma decomposição -

final obtemos as representações irredutíveis de  $S_v^q$ . Após a decomposição de  $S_v^q$  em sub-espacos irredutíveis, existe uma base ortogonal para este espaço

$$\{ | p \vec{q} s \lambda \rangle \}$$

onde  $\lambda$  varia de 1 a  $n_s$ ,  $p$  varia de 1 a  $c_s$  e  $s$  corre por todas as representações irredutíveis. Consideraremos os operadores de projeção definidos da seguinte forma<sup>( 64)</sup>:

$$P_{\lambda\mu}^s = \frac{n_s}{h} \sum_{\gamma} \Omega(\gamma) \bar{m}_{\lambda\mu}^s(\gamma) \quad (\text{III.22})$$

Este operador projeta  $| K \rangle i_\beta$  sobre o sub-espaco irredutível  $S_{s\lambda}$ :

$$\begin{aligned} P_{\lambda\mu}^s (| K \rangle i_\alpha) &= \frac{n_s}{h} \sum_{\gamma} |\gamma K\rangle \exp(-i\vec{\gamma}^{-1} \cdot \vec{r}_K) (\gamma i_\alpha) \times \\ &\quad \times \bar{m}_{\lambda\mu}^s(\gamma) \\ &= \sum_p | \gamma \vec{q} s \lambda \rangle b_{ps} \end{aligned} \quad (\text{III.23})$$

Conforme é demonstrado por Montgomery<sup>( 64)</sup>, os modos normais  $|\vec{q}_j\rangle$  podem ser escritos como uma combinação linear dos vetores básicos  $\{ | p \vec{q} s \lambda \rangle \}$ :

$$\begin{aligned} |\vec{q}_j\rangle &= \sum_{p=1}^{c_s} | p \vec{q} s \lambda \rangle g_{pa}^s \\ &= | a \vec{q} s \lambda \rangle \end{aligned} \quad (\text{III.24})$$

onde os coeficientes  $\{g_{pa}^s\}$  são independentes de  $\lambda$ . Alguns comentários podem ser feitos a respeito da equação (III.24). A base  $\{\vec{p} \vec{q} s \lambda\}$  depende apenas da estrutura cristalina e, independe da matriz dinâmica do cristal. Por outro lado, os coeficientes  $\{g_{pa}^s\}$  são independentes da simetria geométrica do cristal, dependendo das constantes físicas que entram na matriz dinâmica. Este fato pode ser demonstrado considerando-se o operador  $\mathcal{D}$  no espaço  $S_v^{\vec{q}}$ , que aplicado à base  $|K\rangle i_\beta$  produz o seguinte resultado:

$$\mathcal{D}|K\rangle i_\beta = \sum_{K\beta} |K\rangle i_\beta, D_{K'\beta', K\beta}(\vec{q}) \quad (\text{III.25})$$

A aplicação de  $\mathcal{D}$  sobre  $|\vec{q}j\rangle$  leva ao seguinte resultado

$$\mathcal{D}|\vec{q}j\rangle = \omega^2 |\vec{q}j\rangle \quad (\text{III.26})$$

onde  $\omega^2$  é a frequência do modo  $|\vec{q}j\rangle$ . Temos que o modo  $\mathcal{D}(\gamma)|\vec{q}j\rangle$  é um modo de frequência  $\omega^2$ , o que leva ao resultado:

$$\mathcal{D}\mathcal{D}(\gamma)|\vec{q}j\rangle = \omega^2 \mathcal{D}(\gamma)|\vec{q}j\rangle \quad (\text{III.27})$$

Concluimos portanto que o operador  $\mathcal{D}$  comuta com os operadores  $\mathcal{D}(\gamma)$  no espaço  $S_v^{\vec{q}}$ . Consideremos a base irreduzível

$\{\vec{pq}\}_{\lambda}\}$ . Pode-se demonstrar<sup>(64)</sup> que  $\mathcal{D}$  tem elementos de matriz não nulos somente dentro de sub-espacos  $S_{s\lambda}$ :

$$\langle \vec{pq}\}_{\lambda} | \mathcal{D} | \vec{p}'\vec{q}'_{\lambda} \rangle = D_{pp}^s, (\vec{q}) \delta_{ss}, \delta_{\lambda\lambda}, \quad (\text{III.28})$$

onde os elementos  $D_{pp}^s, (\vec{q})$  são independentes de  $\lambda$ . Se efetuarmos uma transformação de similaridade sobre a matriz dinâmica, de tal forma a expressá-la em termos da base irredutível  $\{\vec{pq}\}_{\lambda}$ , ela se torna diagonalizada por blocos em matrizes de ordem  $c_s$ , que ocorrem  $n_s$  vezes. Os coeficientes em (III.24) constituem os auto-vetores dessas sub-matrizes:

$$\sum_p D_{pp}^s, (\vec{q}) g_{p,a}^s = \omega_{a\vec{q}s}^2 g_{pa}^s \quad (\text{III.29})$$

onde  $\omega_{a\vec{q}s}$  é a frequência do conjunto

$$\{\vec{a}\vec{q}\}_{\lambda}, \lambda = 1, n_s\}$$

#### III.4 - RELAÇÕES DE COMPATIBILIDADE

Consideremos na figura (III.1), os pontos  $\Gamma(C_{4v})$ ,  $N(C_s)$  e  $A(C_{4v})$  da primeira zona de Brillouin de cristais pertencentes ao grupo espacial  $C_{4v}^1$ .

Os modos normais, no ponto  $\Gamma$ , se transformam de acordo com as representações irredutíveis deste ponto, nos pontos  $N$

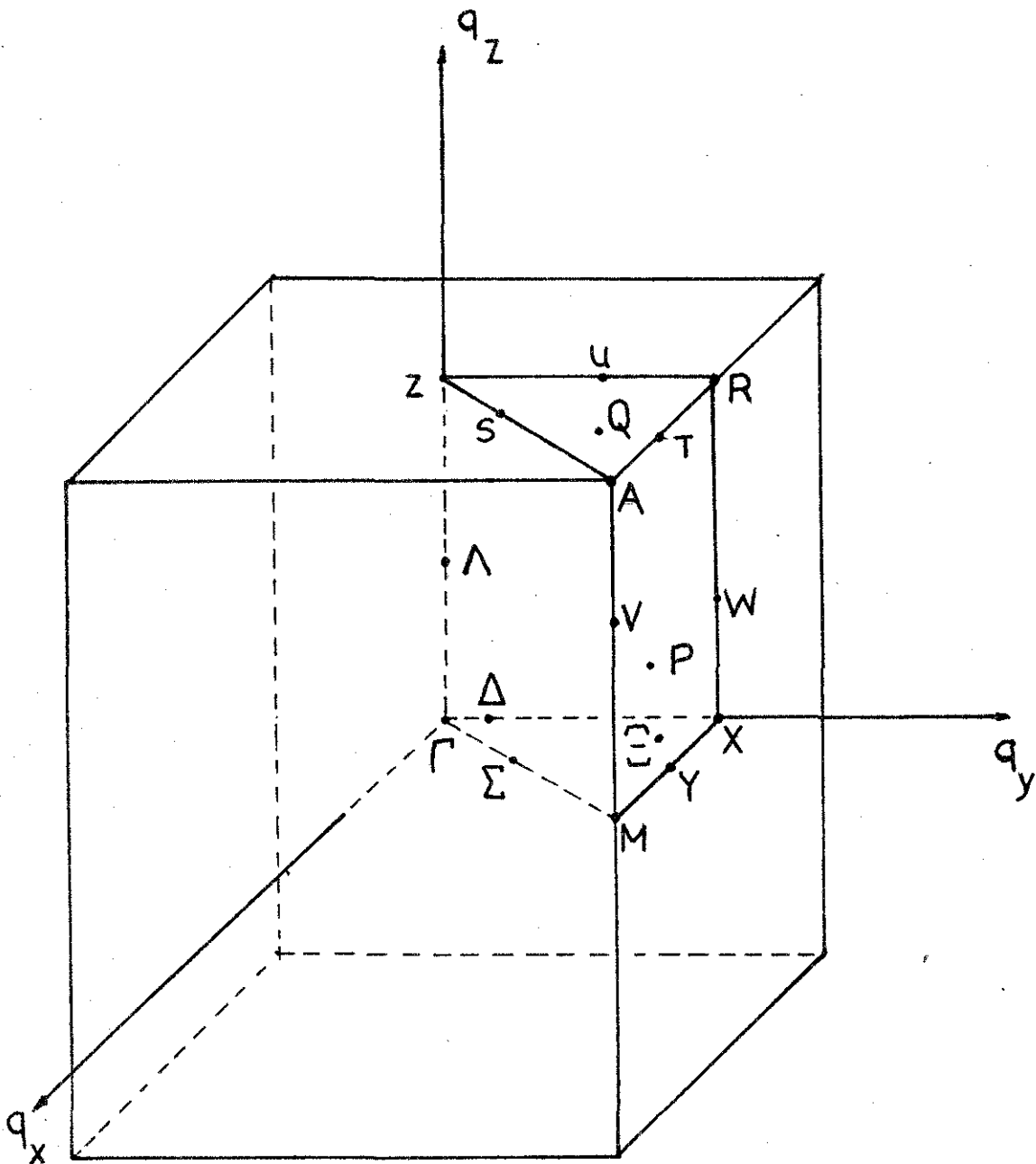


FIGURA III.1

e A os modos normais se transformam de acordo com as representações irreduutíveis desses pontos. Sobre o ponto N, o número de operações de simetria é bastante reduzido. O grupo de N é um subgrupo do grupo de  $\Gamma$  e do grupo de A.

As representações irreduutíveis do ponto N precisam estar contidas nas representações irreduutíveis dos pontos  $\Gamma$  e A; nestas circunstâncias, as representações irreduutíveis da linha  $\Gamma - N - A$  são consideradas compatíveis<sup>( 63, 67 )</sup> com as representações dos pontos  $\Gamma$  e A. Em termos de vetores básicos, dizemos que uma base irreduutível para o ponto N deve estar contida nas bases irreduutíveis dos pontos A e  $\Gamma$ .

Um ramo da relação de dispersão ao longo de uma linha de simetria é compatível com a relação de dispersão em um ponto de simetria, quando as correspondentes representações irreduutíveis às quais eles pertencem são compatíveis.

### III.5 - ESTUDOS DOS CRISTALIS DE $PbTiO_3$ E $BaTiO_3$ PELO MÉTODO DE TEORIA DE GRUPOS

#### a) Estrutura do $PbTiO_3$

$PbTiO_3$  para temperaturas acima de  $493^{\circ}C$  tem uma estrutura cúbica e pertence ao grupo espacial  $O_h^1$ . O parâmetro de rede deste cristal para  $T=510^{\circ}C$  é  $a=3.959 \text{ \AA}$ , e seus átomos

tem as seguintes coordenadas ( 69 ) :

Pb : ( 0.0, 0.0, 0.0 )

Ti : ( 0.5, 0.5, 0.5 )

O : ( 0.5, 0.0, 0.5 ); ( 0.5, 0.5, 0.0 ); ( 0.0, 0.5, 0.5 )

Para temperaturas abaixo de 493°C o PbTiO<sub>3</sub> é tetragonal, pertencendo ao grupo espacial C<sub>4v</sub><sup>1</sup>. Os parâmetros de rede na temperatura ambiente são dados por a = 3.904 Å e c = 4.150 Å ( 69 ). A estrutura tetragonal do PbTiO<sub>3</sub> foi determinada por Shirane et al ( 70 ) através de técnicas de raio X e difração de neutrons , tendo os átomos do cristal as seguintes coordenadas:

Pb: ( 0.0, 0.0, 0.0 )

Ti: ( 0.5, 0.5, u ) , u = 0.541

O<sub>I</sub>: ( 0.5, 0.5, v ) , v = 0.112

O<sub>II</sub>: ( 0.5, 0.0, w ) , w = 0.612

O<sub>III</sub>: ( 0.0, 0.5, w )

A estrutura tetragonal é expressa em termo do deslocamento  $\delta z$  dos íons, à partir de suas posições simétricas, sendo  $\delta z$  expresso como frações das arestas da célula. No caso em que a origem da célula está sobre o átomo de Pb, os deslocamentos  $\delta z$  para os íons serão dados por:

$$\delta z_{\text{Ti}} = +0.041, \quad \delta z_{\text{O}_I} = +0.112, \quad \delta z_{\text{O}_{II}} = +0.112$$

Podemos observar que os deslocamentos dos oxigênios -

são idênticos, o que significa que o octaedro de oxigênio não-sofre distorção na transição cúbica-tetragonal do  $\text{PbTiO}_3$ ; podemos observar também que o titânio se desloca na mesma direção que os oxigênios.

Possivelmente o  $\text{PbTiO}_3$  apresente outra transição de fase à  $-100^\circ\text{C}$ , porém existem poucas informações à respeito dessa transição (18, 19).

b) Estrutura do  $\text{BaTiO}_3$

$\text{BaTiO}_3$  acima de  $120^\circ\text{C}$  tem estrutura cúbica e pertence ao grupo espacial  $\text{O}_h^1$ . Abaixo de  $120^\circ\text{C}$  o  $\text{BaTiO}_3$  tem uma estrutura tetragonal e pertence ao grupo espacial  $\text{C}_{4v}^1$ . Em ambas as fases o  $\text{BaTiO}_3$  e  $\text{PbTiO}_3$  são isomorfos. O parâmetro de rede da fase cúbica do  $\text{BaTiO}_3$  é de cerca de  $4 \text{ \AA}$  (69). As coordenadas dos átomos do  $\text{BaTiO}_3$ , na fase cúbica são idênticas às coordenadas do  $\text{PbTiO}_3$ , mostradas anteriormente.

À temperatura ambiente os parâmetros de rede do cristal são (71):

$$a = 3.992 \text{ \AA}$$

$$c = 4.036 \text{ \AA}$$

As coordenadas dos átomos na fase tetragonal são dadas por (72):

$$\text{Ba: } (0.0, 0.0, 0.0)$$

$$\text{Ti: } (0.5, 0.5, 0.513)$$

$O_I : (0.5, 0.5, -0.023)$

$O_{II} : (0.5, 0.0, 0.487)$

$O_{III} : (0.0, 0.5, 0.487)$

Os deslocamentos dos íons das posições correspondentes à estrutura cúbica são:

$$\delta z_{Ti} = 0.013, \quad \delta z_{O_I} = -0.023, \quad \delta z_{O_{II}} = -0.013$$

Como podemos observar, a transição cúbica tetragonal envolve uma distorção do octaedro de oxigênio e, o deslocamento do átomo de titânio é em sentido contrário ao dos átomos de oxigênio, diferindo portanto, do comportamento do  $PbTiO_3$ .

A estrutura cúbica de ambos os cristais é mostrada na figura III.2, a estrutura tetragonal do  $PbTiO_3$  é mostrada na figura III.3 e a do  $BaTiO_3$  é mostrada na figura III.4.

c) Aplicações do método de teoria de grupos ao  $PbTiO_3$  e  $BaTiO_3$

Neste parágrafo iremos aplicar os resultados obtidos no parágrafo (III.3) ao  $PbTiO_3$  e  $BaTiO_3$ . Devido ao fato de ambos os cristais serem isomorfos na fase tetragonal, os resultados obtidos para o  $PbTiO_3$  são válidos também para o  $BaTiO_3$  e, por essa razão iremos nos referir apenas ao  $PbTiO_3$ .

Na fase tetragonal o  $PbTiO_3$  apresenta uma fórmula por célula unitária. O espaço  $S_V^d$  para este cristal tem dimen-

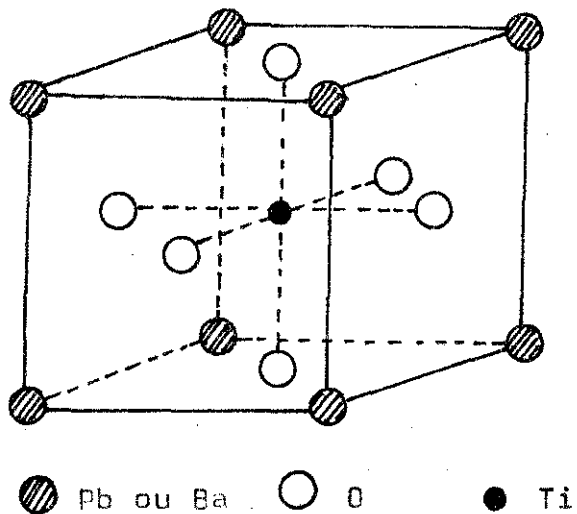


FIGURA III.2

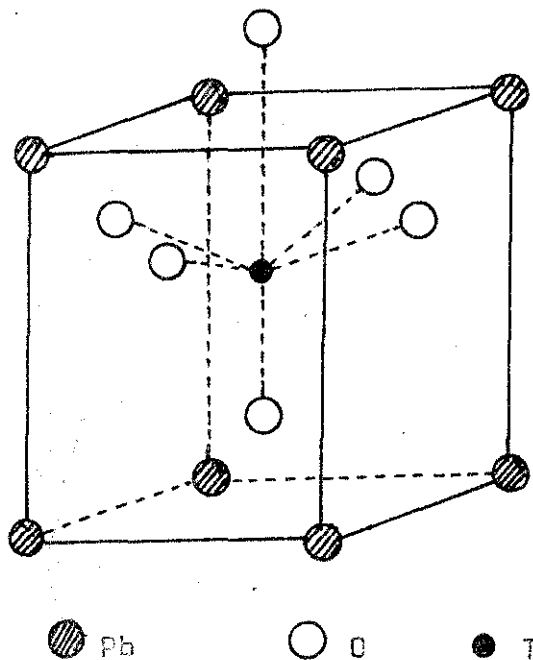


FIGURA III.3

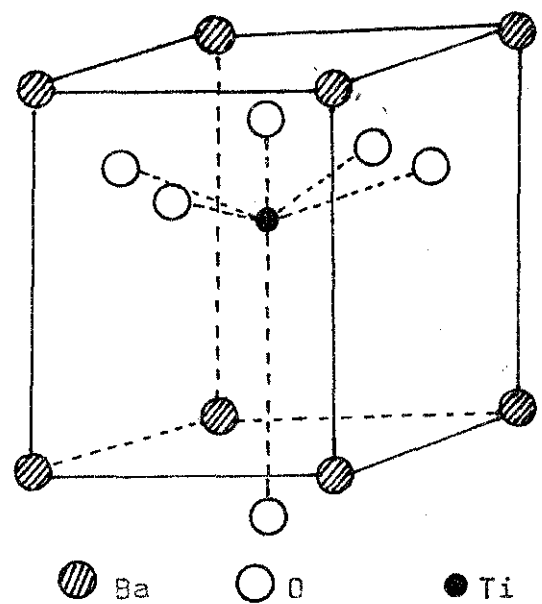


FIGURA III.4

são igual a quinze. Seguindo o esquema proposto por Montgomery ( 64) podemos considerar o espaço  $S_v^q$  como o produto de um espaço de célula  $S_c$ , de dimensão igual a cinco, pelo espaço Euclidiano  $S_E$ . A base  $|K\rangle$  do espaço  $S_c$  é definida através da seguinte convenção:

ÁTOMO	$ K\rangle$
Pb	$ 1\rangle$
Ti	$ 2\rangle$
O <sub>I</sub>	$ 3\rangle$
O <sub>II</sub>	$ 4\rangle$
O <sub>III</sub>	$ 5\rangle$

O espaço de célula  $S_c$  pode ser decomposto em tres sub espacos:

$$S_c = S_{Pb} \oplus S_{Ti} \oplus S_O$$

gerado por bases  $\{|1\rangle\}$ ,  $\{|2\rangle\}$ ,  $\{|3\rangle, |4\rangle, |5\rangle\}$ , respectivamente. O grupo espacial  $C_{4v}^1$  é simórfico, de forma que as matrizes que representam os operadores  $\{O(\gamma)\}$  são idênticas as matrizes de  $\{\gamma\}$ . Essas matrizes podem ser obtidas a partir de tabelas para grupos multiplicadores (Hurley ( 73) , Kovalev ( 74)) e são apresentadas, juntamente com a tabela de caracteres para as diversas representações irredutíveis, no Apêndice I.

A permutação da base  $\{ |K \rangle \}$  de  $S_c$ , sob os operadores do grupo espacial  $C_{4v}^1$  é mostrada na tabela III.1.

Os pontos de maior simetria da zona de Brillouin, bem como suas coordenadas são mostrados na tabela III.2 (75).

Os fatores  $K^{-1}$  que aparecem na equação (III.20) e a permutação da base  $\hat{x}, \hat{y}, \hat{z}$  do espaço  $S_E$  são mostrados na tabela III.3.

TABELA III.1

$ K\rangle$	E	$C_4$	$C_4^3$	$C_2$	$\sigma^x$	$\sigma^y$	$\sigma^{xy}$	$\sigma^{\bar{xy}}$
$ 1\rangle$	$ 1\rangle$							
$ 2\rangle$	$ 2\rangle$							
$ 3\rangle$	$ 3\rangle$							
$ 4\rangle$	$ 4\rangle$	$ 5\rangle$	$ 5\rangle$	$ 4\rangle$	$ 4\rangle$	$ 4\rangle$	$ 5\rangle$	$ 5\rangle$
$ 5\rangle$	$ 5\rangle$	$ 4\rangle$	$ 4\rangle$	$ 5\rangle$	$ 5\rangle$	$ 5\rangle$	$ 4\rangle$	$ 4\rangle$

TABELA III.2

PONTO	COORDENADAS	SIMETRIA
R	( 0 0 0 )	$C_{4v}$
A	( $\frac{\pi}{a}$ $\frac{\pi}{a}$ $\frac{\pi}{c}$ )	$C_{4v}$
M	( $\frac{\pi}{a}$ $\frac{\pi}{a}$ 0 )	$C_{4v}$
Z	( 0 0 $\frac{\pi}{c}$ )	$C_{4v}$
R	( 0 $\frac{\pi}{a}$ $\frac{\pi}{c}$ )	$C_{2v}$
X	( 0 $\frac{\pi}{a}$ 0 )	$C_{2v}$
V	( $\frac{\pi}{a}$ $\frac{\pi}{a}$ $K_z$ )	$C_{4v}$
W	( 0 $\frac{\pi}{a}$ $K_z$ )	$C_{2v}$
S	( $K_x$ $K_x$ $\frac{\pi}{c}$ )	$C_s$
U	( 0 $K_y$ $\frac{\pi}{c}$ )	$C_s$
T	( $K_x$ $\frac{\pi}{a}$ $\frac{\pi}{c}$ )	$C_s$
Y	( $K_x$ $\frac{\pi}{a}$ 0 )	$C_s$
Q	( $K_x$ $K_y$ $\frac{\pi}{c}$ )	$C_1$
P	( $K_x$ $\frac{\pi}{a}$ $K_z$ )	$C_s$
Λ	( 0 0 $K_z$ )	$C_{4v}$
Σ	( $K_x$ $K_x$ 0 )	$C_s$
Δ	( 0 $K_y$ 0 )	$C_s$
Ξ	( $K_x$ $K_y$ 0 )	$C_1$
N	( $K_x$ $K_x$ $K_z$ )	$C_s$
Ξ'	( 0 $K_y$ $K_z$ )	$C_s$

TABELA III.3

$\Gamma$	MATRIZ	$(\hat{x}, \hat{y}, \hat{z})$	$K_{\gamma^{-1}}$	PONTO
E	$\begin{bmatrix} 1 & 0 & 0 \\ 0 & 1 & 0 \\ 0 & 0 & 1 \end{bmatrix}$	$(x, y, z)$	$(0, 0, 0)$	todos
$C_4^z$	$\begin{bmatrix} 0 & -1 & 0 \\ 1 & 0 & 0 \\ 0 & 0 & 1 \end{bmatrix}$	$(y, -x, z)$	$(0, 0, 0)$ $(0, -\frac{2\pi}{a}, 0)$	$Z, \Lambda, \Gamma$ $A, M, V$
$C_4^{3z}$	$\begin{bmatrix} 0 & 1 & 0 \\ -1 & 0 & 0 \\ 0 & 0 & 1 \end{bmatrix}$	$(-y, x, z)$	$(0, 0, 0)$ $(-\frac{2\pi}{a}, 0, 0)$	$Z, \Lambda, \Gamma$ $A, M, V$
$C_2^z$	$\begin{bmatrix} -1 & 0 & 0 \\ 0 & -1 & 0 \\ 0 & 0 & 1 \end{bmatrix}$	$(-x, -y, z)$	$(0, 0, 0)$ $(-\frac{2\pi}{a}, -\frac{2\pi}{a}, 0)$ $(0, -\frac{2\pi}{a}, 0)$	$\Gamma, Z, \Lambda$ $A, M, V$ $R, X, W$
$\sigma_x^x$	$\begin{bmatrix} -1 & 0 & 0 \\ 0 & 1 & 0 \\ 0 & 0 & 1 \end{bmatrix}$	$(-x, y, z)$	$(0, 0, 0)$ $(-\frac{2\pi}{a}, 0, 0)$	$\Gamma, Z, R, X, W, U,$ $\Delta, \Lambda$ $A, M, V$
$\sigma_y^y$	$\begin{bmatrix} 1 & 0 & 0 \\ 0 & -1 & 0 \\ 0 & 0 & 1 \end{bmatrix}$	$(x, -y, z)$	$(0, 0, 0)$ $(0, -\frac{2\pi}{a}, 0)$	$\Gamma, Z, \Lambda$ $A, M, R, X, V, W,$ $T, Y$
$\sigma_{xy}^{xy}$	$\begin{bmatrix} 0 & -1 & 0 \\ -1 & 0 & 0 \\ 0 & 0 & 1 \end{bmatrix}$	$(-y, -x, z)$	$(0, 0, 0)$ $(-\frac{2\pi}{a}, -\frac{2\pi}{a}, 0)$	$\Gamma, Z, \Lambda$ $A, M, V$
$\sigma_{\bar{x}y}^{\bar{x}y}$	$\begin{bmatrix} 0 & 1 & 0 \\ 1 & 0 & 0 \\ 0 & 0 & 1 \end{bmatrix}$	$(y, x, z)$	$(0, 0, 0)$	$\Gamma, Z, A, M, V, S,$ $\Lambda, \Sigma, N, \Xi'$

Através da equação (III.20) podemos encontrar os caracteres redutíveis dos espaços  $S_{Pb}$ ,  $S_{Ti}$ ,  $S_0$  e os sub-espacos irreduutíveis podem ser encontrados à partir da equação (III.21). Os caracteres redutíveis de  $S_c$  são mostrados no apêndice I, para os pontos de maior simetria da zona de Brillouin. Os modos-normais para esses pontos de maior simetria são apresentados a seguir:

Ponto P	Representações de $S_c: A_1(Pb) \oplus A_1(Ti) \oplus 2A_1(0) \oplus B_1(0)$ Representações de $S_E: A_1(z) \oplus E(x, y)$ Modos Normais: $4A_1(Pb, Ti, 0)_z \oplus 5E(Pb, Ti, 0)_{xy} \oplus B_1(0)_z$
Ponto R	Representações de $S_c: A_1(Pb) \oplus B_2(Ti) \oplus A_1(0) \oplus 2B_2(0)$ Representações de $S_E: A_1(z) \oplus B_1(x) \oplus B_2(y)$ Modos Normais: $5A_1(Pb, Ti, 0)_{yz} \oplus 5B_2(Pb, Ti, 0)_{yz} \oplus 3A_2(Ti, 0)_x \oplus 2B_1(Pb, 0)_x$
Ponto T	Representações de $S_c: A'(Pb) \oplus A''(Ti) \oplus A'(0) \oplus 2A''(0)$ Representações de $S_E: 2A'(x, y) \oplus A''(z)$ Modos Normais: $7A'(Pb, Ti, 0)_{xyz} \oplus 8A''(Pb, Ti, 0)_{xyz}$
Ponto U	Representações de $S_c: A'_1(Pb) \oplus A'(Ti) \oplus 3A'(0)$ Representações de $S_E: 2A'(xy) \oplus A''(z)$ Modos Normais: $10A'(Pb, Ti, 0)_{yz} \oplus 5A''(Pb, Ti, 0)_x$

Ponto S	Representações de $S_c$ : $A'(Pb) \oplus A'(Ti) \oplus 2A'(0) \oplus A''(0)$ Representações de $S_E$ : $2A' \oplus A''$ Modos Normais: $9A'(Pb, Ti, 0)_{xyz} \oplus 6A''(Pb, Ti, 0)_{xyz}$
Ponto A	Representações de $S_c$ : $A_1(Pb) \oplus B_2(Ti) \oplus B_2(0) \oplus E(0)$ Representações de $S_E$ : $A_1(z) \oplus E(x, y)$ Modos Normais: $2A_1(Pb, 0)_{xyz} \oplus A_2(0)_{xy} \oplus B_1(0)_{xy} \oplus 3B_2(Ti, 0)_{xyz} \oplus 4E(Pb, Ti, 0)_{xyz}$
Ponto M	Idêntico ao ponto A
Ponto Z	Idêntico ao ponto P
Ponto X	Idêntico ao ponto R
Ponto V	Idêntico ao ponto A
Ponto W	Idêntico ao ponto R
Ponto Y	Idêntico ao ponto T
Ponto Λ	Idêntico ao ponto P
Ponto Σ	Idêntico ao ponto S
Ponto Δ	Idêntico ao ponto U
Ponto N	Idêntico ao ponto S
Ponto Σ'	Idêntico ao ponto U

Os vetores básicos das representações irreduutíveis podem ser encontrados com o auxílio dos operadores de projeção - definidos na equação III.22 :

Ponto F	Modo A <sub>1</sub> : $\hat{z}_1, \hat{z}_2, \hat{z}_3, \hat{z}_4 + \hat{z}_5$ Modo B <sub>1</sub> : $\hat{z}_5 - \hat{z}_4$ Modo E : $\hat{x}_1, \hat{x}_2, \hat{x}_3, \hat{x}_4, \hat{x}_5$ $\hat{y}_1, \hat{y}_2, \hat{y}_3, \hat{y}_4, \hat{y}_5$
Ponto R	Modo A <sub>1</sub> : $\hat{z}_1, \hat{y}_2, \hat{y}_3, \hat{y}_5, \hat{z}_4$ Modo A <sub>2</sub> : $\hat{x}_2, \hat{x}_3, \hat{x}_5$ Modo B <sub>1</sub> : $\hat{x}_1, \hat{x}_4$ Modo B <sub>2</sub> : $\hat{y}_1, \hat{y}_4, \hat{z}_2, \hat{z}_3, \hat{z}_5$
Ponto T	Modo A': $\hat{x}_1, \hat{x}_4, \hat{y}_2, \hat{y}_3, \hat{y}_5, \hat{z}_1, \hat{z}_4$ Modo A'': $\hat{x}_2, \hat{x}_3, \hat{x}_5, \hat{y}_1, \hat{y}_4, \hat{z}_2, \hat{z}_3, \hat{z}_5$
Ponto U	Modo A': $\hat{y}_1, \hat{y}_2, \hat{y}_3, \hat{y}_4, \hat{y}_5, \hat{z}_1, \hat{z}_2, \hat{z}_3, \hat{z}_4, \hat{z}_5$ Modo A'': $\hat{x}_1, \hat{x}_2, \hat{x}_3, \hat{x}_4, \hat{x}_5$
Ponto S	Modo A': $\hat{x}_1 + \hat{y}_1, \hat{x}_2 + \hat{y}_2, \hat{x}_3 + \hat{y}_3, \hat{x}_4 + \hat{y}_5, \hat{x}_5 + \hat{y}_4, \hat{z}_1, \hat{z}_2, \hat{z}_3, \hat{z}_4 + \hat{z}_5$ Modo A'': $\hat{x}_1 - \hat{y}_1, \hat{x}_2 - \hat{y}_2, \hat{x}_3 - \hat{y}_3, \hat{x}_4 - \hat{y}_5, \hat{x}_5 - \hat{y}_4, \hat{z}_4 - \hat{z}_5$

Ponto A

Modo A<sub>1</sub>:  $\hat{z}_1, \hat{x}_4 + \hat{y}_5$

Modo A<sub>2</sub>:  $\hat{x}_5 - \hat{y}_4$

Modo B<sub>1</sub>:  $\hat{x}_4 - \hat{y}_5$

Modo B<sub>2</sub>:  $\hat{z}_2, \hat{z}_3, \hat{x}_5 + \hat{y}_4$

Modo E :  $\hat{x}_1, \hat{y}_2, \hat{y}_3, \hat{z}_4$

$\hat{y}_1, \hat{x}_2, \hat{x}_3, \hat{z}_5$

## CAPÍTULO IV

### DINÂMICA DE REDE DO PbTiO<sub>3</sub> e BaTiO<sub>3</sub>

#### IV.1 - DINÂMICA DE REDE DO PbTiO<sub>3</sub>

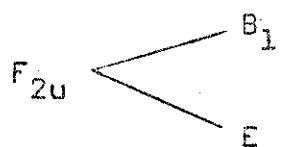
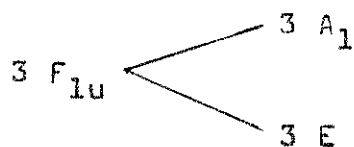
Este capítulo tem por objetivo o estudo da dinâmica de rede da fase tetragonal do PbTiO<sub>3</sub> e BaTiO<sub>3</sub>, através do modelo do íon rígido. Analisaremos inicialmente o cristal de PbTiO<sub>3</sub>.

Na fase cúbica o PbTiO<sub>3</sub> pertence ao grupo espacial O<sub>h</sub><sup>1</sup> e seus modos normais de vibração são representados por:

$$3F_{1u} \oplus F_{2u}$$

Os modos F<sub>1u</sub> são ativos no infravermelho porém, nenhum dos modos é ativo em espalhamento Raman de primeira ordem.

Na fase tetragonal o PbTiO<sub>3</sub> pertence ao grupo espacial C<sub>4v</sub><sup>1</sup>. Ao ocorrer a transição de fase cúbica-tetragonal, os modos F<sub>1u</sub> e F<sub>2u</sub> se subdividem em modos A<sub>1</sub> e E de acordo com o seguinte esquema:



A célula primitiva do  $PbTiO_3$  contém um átomo de chumbo, um átomo de titânio e três átomos de oxigênio que serão identificados através do índice  $K$ :

ÁTOMO	K
Pb : ( 0 0 0 )	1
Ti : ( $\frac{1}{2}$ $\frac{1}{2}$ u )	2
O : ( $\frac{1}{2}$ $\frac{1}{2}$ v )	3
O : ( $\frac{1}{2}$ 0 w )	4
O : ( 0 $\frac{1}{2}$ w )	5

Os vetores de translação primitivos da estrutura do  $PbTiO_3$  são dados por:

$$\vec{a}_1 = a ( 1 0 0 )$$

$$\vec{a}_2 = a ( 0 1 0 )$$

$$\vec{a}_3 = c ( 0 0 1 )$$

onde  $a = 3.904 \text{ \AA}$  e  $c = 4.150 \text{ \AA}$  para a temperatura ambiente.

Os vetores de translação da rede são escritos a partir dos vetores  $\vec{a}_1$ ,  $\vec{a}_2$ ,  $\vec{a}_3$ :

$$\vec{a}^1 = l_1 a ( 1 0 0 ), \quad l_2 a ( 0 1 0 ), \quad l_3 c ( 0 0 1 )$$

$$= (\alpha l_x, \alpha l_y, \alpha l_z) \quad (IV.2)$$

onde  $l_x, l_y, l_z$  podem assumir qualquer valor inteiro.

O vetor distância entre dois íons  $K$  e  $K'$  é dado por:

$$\vec{r}_{KK'} = \vec{a}^l + \vec{r}_K - \vec{r}_{K'} \quad (IV.3)$$

O volume da célula primitiva é dado por  $V = a^2 c$ . Os vetores básicos do espaço recíproco são:

$$\vec{b}_1 = \frac{1}{a}(1 \ 0 \ 0), \quad \vec{b}_2 = \frac{1}{a}(0 \ 1 \ 0), \quad \vec{b}_3 = \frac{1}{c}(0 \ 0 \ 1) \quad (IV.4)$$

Portanto, qualquer vetor da rede recíproca pode ser escrito como uma combinação linear dos vetores  $\vec{b}_1, \vec{b}_2$  e  $\vec{b}_3$

$$\vec{b}_h = h_1 \vec{b}_1 + h_2 \vec{b}_2 + h_3 \vec{b}_3$$

$$= \left[ \frac{h_1}{a}(1 \ 0 \ 0), \frac{h_2}{a}(0 \ 1 \ 0), \frac{h_3}{c}(0 \ 0 \ 1) \right]$$

$$= \left[ \frac{h_x}{a}, \frac{h_y}{a}, \frac{h_z}{c} \right] \quad (IV.5)$$

onde  $h_x, h_y, h_z$  podem assumir qualquer valor inteiro. O vetor de onda  $\vec{q}$ , definido no espaço recíproco tem a seguinte forma:

$$\vec{q} = \left( \frac{q_x}{a}, \frac{q_y}{a}, \frac{q_z}{c} \right) \quad (IV.6)$$

onde  $q_x$ ,  $q_y$ ,  $q_z$  são números fracionários. Uma vez que estamos considerando os vetores de onda que se encontram na primeira zona de Brillouin, as componentes de  $\vec{q}$  satisfazem a relação

$$-\frac{1}{2} \leq q_\alpha \leq \frac{1}{2} , \quad \alpha = x, y, z \quad (\text{IV.7})$$

A energia potencial da célula primitiva do  $\text{PbTiO}_3$  é escrita como a soma de uma contribuição coulombiana mais uma contribuição não coulombiana, que é responsável pela estabilidade do cristal:

$$\begin{aligned} \phi = & -\alpha_m \frac{e^2}{r_0} + 4 \phi_{13}(r_{13}) + 4 \phi_{14}(r_{14}) + 4 \phi'_{14}(r'_{14}) + \\ & + \phi_{23}(r_{23}) + \phi'_{23}(r'_{23}) + 4 \phi_{24}(r_{24}) + \\ & + 8 \phi_{34}(r_{34}) + 4 \phi_{45}(r_{45}) \quad (\text{IV.8}) \end{aligned}$$

onde  $\alpha_m$  é chamada constante de Madelung,  $r_0$  é um parâmetro que escolhemos igual a um. Ao escrevermos a equação IV.8 desprezamos a interação não coulombiana entre os íons titânio e chumbo, que são separados por grandes distâncias. As distâncias entre os íons  $K$  e  $K'$  consideradas na equação IV.8 são mostradas na tabela IV.1.

TABELA IV.1

$r_{KK'}$	$r_{KK'}$	$ r_{KK'} $ (Å)
$r_{13}$	$\sqrt{\frac{1}{2}a^2 + v^2 c^2}$	2.799
$r_{14}$	$\sqrt{\frac{1}{4}a^2 + (w-1)^2 c^2}$	2.530
$r_{14}'$	$\sqrt{\frac{1}{4}a^2 + w^2 c^2}$	3.203
$r_{23}$	$(v-u)c$	1.780
$r_{23}'$	$(1+v-u)c$	2.369
$r_{24}$	$\sqrt{\frac{1}{4}a^2 + (w-u)^2 c^2}$	1.974
$r_{34}$	$\sqrt{\frac{1}{4}a^2 + (w-v)^2 c^2}$	2.848
$r_{45}$	$\frac{1}{\sqrt{2}}a$	2.760

As constantes de força axialmente simétricas, definidas na equação II.28 e II.29 são escritas para o PbTiO<sub>3</sub> através das seguintes expressões:

$$\frac{1}{r_{13}} \left[ \frac{\partial \phi_{13}}{\partial r_{13}} \right]_0 = \frac{e^2}{2v} B_{13} ; \quad \left[ \frac{\partial^2 \phi_{13}}{\partial r_{13}^2} \right]_0 = \frac{e^2}{2v} A_{13}$$

$$\frac{1}{r_{14}} \left[ \frac{\partial \phi_{14}}{\partial r_{14}} \right]_0 = \frac{e^2}{2v} B_{14} ; \quad \left[ \frac{\partial^2 \phi_{14}}{\partial r_{14}^2} \right]_0 = \frac{e^2}{2v} A_{14}$$

$$\frac{1}{r_{14}} \left[ \frac{\partial \phi'_{14}}{\partial r_{14}} \right]_0 = \frac{e^2}{2v} B'_{14} ; \quad \left[ \frac{\partial^2 \phi'_{14}}{\partial r_{14}^2} \right]_0 = \frac{e^2}{2v} A'_{14}$$

$$\frac{1}{r_{23}} \left[ \frac{\partial \phi_{23}}{\partial r_{23}} \right]_0 = \frac{e^2}{2v} B_{23} ; \quad \left[ \frac{\partial^2 \phi_{23}}{\partial r_{23}^2} \right]_0 = \frac{e^2}{2v} A_{23}$$

$$\frac{1}{r'_{23}} \left[ \frac{\partial \phi'_{23}}{\partial r'_{23}} \right]_0 = \frac{e^2}{2v} B'_{23} ; \quad \left[ \frac{\partial^2 \phi'_{23}}{\partial r'_{23}^2} \right]_0 = \frac{e^2}{2v} A'_{23}$$

$$\frac{1}{r_{24}} \left[ \frac{\partial \phi_{24}}{\partial r_{24}} \right]_0 = \frac{e^2}{2v} B_{24} ; \quad \left[ \frac{\partial^2 \phi_{24}}{\partial r_{24}^2} \right]_0 = \frac{e^2}{2v} A_{24}$$

$$\frac{1}{r_{34}} \left[ \frac{\partial \phi_{34}}{\partial r_{34}} \right]_0 = \frac{e^2}{2v} B_{34} ; \quad \left[ \frac{\partial^2 \phi_{34}}{\partial r_{34}^2} \right]_0 = \frac{e^2}{2v} A'_{34}$$

$$\frac{1}{r_{45}} \left[ \frac{\partial \phi_{45}}{\partial r_{45}} \right]_0 = \frac{e^2}{2v} B_{45} ; \quad \left[ \frac{\partial^2 \phi_{45}}{\partial r_{45}^2} \right]_0 = \frac{e^2}{2v} A_{45}$$

O subscrito 0 indica que as derivadas devem ser calculadas na posição de equilíbrio dos íons.

Os coeficientes de acoplamento  $c \begin{bmatrix} K & K' \\ \alpha & \beta \end{bmatrix}$  para o caso de interações coulombianas, podem ser obtidos à partir da equação II.32 . Uma vez que a célula primitiva é neutra, podemos expressar a carga de titânio em função das cargas de chumbo e do oxigênio:

$$Z_{Ti} = -3Z_0 - Z_{Pb} \quad (IV.9)$$

Os coeficientes  $R \begin{bmatrix} K & K' \\ \alpha & \beta \end{bmatrix}$  podem ser encontrados a partir da equação II.35 , na qual devemos substituir os  $A_{KK'}$  ,  $B_{KK'}$ , definidos anteriormente. O modelo do íon rígido, proposto para o  $PbTiO_3$  implica na existência de um total de dezoito parâmetros, a saber, duas cargas iônicas,  $Z_0$  e  $Z_{Pb}$  e, dezenove parâmetros  $A_{KK'}$  e  $B_{KK'}$ . Esse número de parâmetros será reduzido considerando-se condições de mínima energia para a célula primitiva . Essas condições, às quais iremos nos referir como condições de estabilidade, podem ser obtidas através de dois métodos. O primeiro deles sugerido por Boyer e Hardy( 76), considera a

energia da célula primitiva escrita da seguinte forma:

$$\phi = \frac{1}{2} \sum'_{\mathbf{KK}} \psi(r(\frac{\mathbf{l}}{KK})) \quad (\text{IV.10})$$

onde  $\psi$  engloba a energia potencial coulombiana e de curto alcance, e termos  $\psi(r^0_{KK})$  são omitidos do somatório. Uma deformação homogênea do cristal pode ser escrita como a soma de um "strain" interno  $u_\alpha(K)$  e de um "strain" externo  $S_{\alpha\beta}$ :

$$u_\alpha(\frac{\mathbf{l}}{K}) = u_\alpha(K) + \sum_\beta S_{\alpha\beta} \times_\beta(\frac{\mathbf{l}}{K}) \quad (\text{IV.11})$$

As condições de estabilidade propostas por Boyer e Hardy são:

$$\frac{\partial \phi}{\partial u_\alpha(K)} = 0 \quad (\text{IV.12a})$$

$$\frac{\partial \phi}{\partial S_{\alpha\beta}} = 0 \quad (\text{IV.12b})$$

As equações IV.12a e IV.12b levam ao seguinte resultado

$$\sum'_{\mathbf{KK}} \phi'_R(r) \frac{r_\alpha}{r} + F_\alpha(K) = 0 \quad (\text{IV.13a})$$

$$\frac{1}{2} \sum'_{\mathbf{KK}} \phi''_R(r) \frac{r_\alpha r_\beta}{r} + f_{\alpha\beta} = 0 \quad (\text{IV.13b})$$

onde  $\phi_R$  representa a energia potencial de curto alcance,

$\psi_R = \frac{\partial \psi}{\partial r}$  e  $r = r (\frac{l}{KK'})$ .  $F_\alpha(K)$  e  $f_{\alpha\beta}$  são derivadas da contribuição Coulombiana a  $\psi$ .  $F_\alpha(K')$  é a força sobre o íon  $K'$  devido a todas as interações Coulombianas e  $f_{\alpha\beta}$  é a contribuição Coulombiana ao "stress" macroscópico. Os termos  $F_\alpha(K')$  e  $f_{\alpha\beta}$  podem ser calculados através de um processo semelhante ao utilizado para calcular os coeficientes de Coulomb,  $C_{\alpha\beta} (\frac{q}{KK'})$ .

Um segundo método, sugerido por Katiyar<sup>(39)</sup>, considera que a energia potencial do cristal é mínima com respeito aos parâmetros estruturais do cristal.

Os dois métodos mencionados produziram resultados equivalentes, porém, considerando a maior simplicidade do método proposto por Katiyar, iremos utilizá-lo em nossos cálculos.

Consideremos o cristal de  $\text{NbTiO}_3$ . Os parâmetros estruturais deste cristal são:

$$a = 3.904 \text{ \AA}$$

$$c = 4.150 \text{ \AA}$$

$$u = 0.541$$

$$v = 0.112$$

$$w = 0.612$$

A condição de mínima energia potencial é expressa através da equação:

$$\left. \frac{\partial \psi}{\partial P} \right|_{P_0} = 0 \quad (\text{IV.14})$$

onde  $p$  é um dos parâmetros estruturais do cristal e  $p_0$  é o valor medido do parâmetro.

Através da equação IV.14 obtemos:

$$4vB_{13} + (v-u)B_{23} + (1+v-u)B'_{23} = 8(w-v)B_{34} + \frac{2v}{c^2} \frac{\partial \alpha_M}{\partial v} \quad (\text{IV.15a})$$

$$4(w-1)B_{14} + 4(w-u)B_{24} = -8(w-v)B_{34} - 4wB'_{14} + \frac{2v}{c^2} \frac{\partial \alpha_M}{\partial w} \quad (\text{IV.15b})$$

$$-(v-u)B_{23} - (1+v-u)B'_{23} - 4(w-u)B_{24} = \frac{2v}{c^2} \frac{\partial \alpha_M}{\partial u} \quad (\text{IV.15c})$$

$$\begin{aligned} 4v^2B_{13} + 4(w-1)^2B_{14} + (v-u)^2B_{23} + (1+v-u)^2B'_{23} + 4(w-u)^2B_{24} = \\ = -4w^2B'_{14} - 8(w-v)^2B_{34} + \frac{2v}{c^2} \frac{\partial \alpha_M}{\partial c} \end{aligned} \quad (\text{IV.15d})$$

$$2B_{13} + B_{14} + B_{24} = -B'_{14} - 2B_{34} - 2B_{45} + \frac{2v}{a} \frac{\partial \alpha_M}{\partial a} \quad (\text{IV.15e})$$

O conjunto de equações IV.15 representa um sistema de cinco equações a cinco incógnitas  $B_{13}$ ,  $B_{14}$ ,  $B_{23}$ ,  $B'_{23}$  e  $B'_{24}$ . A solução desse sistema nos fornece os valores de cinco dos dezoito parâmetros do modelo do íon rígido do  $\text{PbTiO}_3$ . Os treze parâmetros restantes deverão ser calculados através do método de mínimos quadrados não lineares.

#### IV.2 - DETERMINAÇÃO DAS FREQUÊNCIAS DOS MODOS NORMAIS DE VIBRAÇÃO

##### DO $\text{PbTiO}_3$

Uma vez definido o modelo do íon rígido do  $\text{PbTiO}_3$ , podemos

calcular as frequências dos modos normais de vibração desse cristal. Conforme mencionamos no capítulo III, a matriz dinâmica pode ser diagonalizada em blocos, através de uma transformação de similaridade:

$$U^{-1} D(\vec{q}) U = D_{\text{diag.}} \quad (\text{IV.16})$$

A matriz  $U$  que realiza a transformação tem dimensão  $15 \times 15$  sendo construída com os vetores básicos normalizados  $\{|pqs\lambda\rangle\}$  (capítulo III) colocados em forma de coluna<sup>(77)</sup>. Por exemplo, para o centro da zona de Brillouin, a matriz  $U$  pode ser construída da seguinte forma:

$A_1$	$B_1$	$E(x)$	$E(y)$
0 0 0 0	0	1 0 0 0 0	0 0 0 0 0
0 0 0 0	0	0 1 0 0 0	0 0 0 0 0
0 0 0 0	0	0 0 1 0 0	0 0 0 0 0
0 0 0 0	0	0 0 0 1 0	0 0 0 0 0
0 0 0 0	0	0 0 0 0 1	0 0 0 0 0
0 0 0 0	0	0 0 0 0 0	1 0 0 0 0
0 0 0 0	0	0 0 0 0 0	0 1 0 0 0
0 0 0 0	0	0 0 0 0 0	0 0 1 0 0
0 0 0 0	0	0 0 0 0 0	0 0 0 1 0
0 0 0 0	0	0 0 0 0 0	0 0 0 0 1
1 0 0 0	0	0 0 0 0 0	0 0 0 0 0
0 1 0 0	0	0 0 0 0 0	0 0 0 0 0
0 0 1 0	0	0 0 0 0 0	0 0 0 0 0
0 0 0 1/\sqrt{2} -1/\sqrt{2}	0	0 0 0 0 0	0 0 0 0 0
0 0 0 1/\sqrt{2} 1/\sqrt{2}	0	0 0 0 0 0	0 0 0 0 0

Essa escolha para a matriz U faz com que a matriz dinâmica, após a transformação de similaridade, se apresente da seguinte forma:

$$U^{-1}DU = \begin{bmatrix} \begin{bmatrix} A_1 \\ 4 \times 4 \end{bmatrix} & & & & \\ & \begin{bmatrix} B_1 \\ 1 \times 1 \end{bmatrix} & & & \\ & & \begin{bmatrix} E \\ 5 \times 5 \end{bmatrix} & & \\ & & & \begin{bmatrix} E \\ 5 \times 5 \end{bmatrix} & \end{bmatrix} \quad (\text{IV.17})$$

Esse procedimento tem a vantagem de reduzir consideravelmente o tempo de computação, uma vez que, ao contrário de termos que encontrar os auto-valores de uma matriz de dimensão (15 x 15), podemos encontrar os auto-valores de matrizes de dimensão menor, conforme pode ser visto em (IV.17).

Os parâmetros do modelo do íon rígido do  $\text{PbTiO}_3$  foram determinados através do ajuste das frequências dos seguintes modos normais :

- 1) modos  $A_1$ ,  $E$  e  $B_1$  do centro da zona de Brillouin (ponto  $\Gamma$ )
- 2) modos transversais  $E(TD_x)$  e  $E(TA_x)$  de menor frequência do ponto Z da zona de Brillouin
- 3) modo  $A_1(TA_z)$  de menor frequência do Ponto X

Os valores experimentais das frequências dos modos do

centro da zona de Brillouin foram obtidos através do artigo de Silberman e Frey<sup>( 24)</sup>; as frequências dos modos do extremo da zona de Brillouin foram obtidas através do artigo de Shirane et al.<sup>(26)</sup>. O método utilizado para o ajuste das frequências foi o método de mínimos quadrados não lineares, proposto por Katiyar e Mathai<sup>( 78)</sup> (a descrição do método é apresentada no apêndice II).

As condições de estabilidade mencionadas na seção IV.1 reduzem o número de parâmetros do modelo do íon rígido do PbTiO<sub>3</sub> de dezoito para treze parâmetros. Podemos ainda reduzir o número de parâmetros restantes, conforme o que será exposto.

O formalismo de Born-Meyer (potencial exponencial tipo  $e^{-\alpha r}$ ) ou o formalismo de Pauling (potencial tipo  $\alpha r^{-n}$ ) pode ser considerado para descrever as interações entre dois íons isolados. Essa interação se dá ao longo da linha reta que une os íons, sendo que a intensidade de interação diminui com o aumento da distância. Ambos os formalismos podem ser aplicados em cristais diatômicos fornecendo resultados bastante razoáveis. Porém, a aplicação desses formalismos a cristais mais complexos pode ser questionada uma vez que cada íon está sujeito a forças que decorrem das interações com um grande número de íons, as quais não podem ser derivadas de uma energia potencial de dois corpos.

Podemos porém considerar a aproximação que as constantes

de forças ao longo da reta que une os íons ( $A_{KK'}$ ) podem ser derivadas da energia potencial do tipo Born-Meyer, ou seja:

$$A_{KK'} = \beta_{KK'} \alpha_{KK'}^2 e^{-\alpha_{KK'} r_{KK'}} \quad (\text{IV.17})$$

onde  $\alpha_{KK'}$  e  $\beta_{KK'}$  dependem apenas dos tipos de íons envolvidos.

Podemos então escrever:

$$\alpha_{34} = \alpha_{35} = \alpha_{45} = \alpha_{O-O}$$

$$\alpha_{13} = \alpha_{14} = \alpha_{15} = \alpha_{Pb-O}$$

$$\alpha_{23} = \alpha_{24} = \alpha_{25} = \alpha_{Ti-O}$$

Relações semelhantes são válidas para os  $\beta_{KK'}$ . A definição das constantes axialmente simétricas (equações II.28 e II.29) nos permitem obter relações entre os  $n_{KK'}$  e  $\alpha_{KK'}$ , dos formalismos de Pauling e Born-Meyer, respectivamente. Essas relações são mostradas a seguir:

$$\alpha_1 = \alpha_{Pb-O} = (n_1 + 1) / R_{Pb-O}^0 \quad (\text{IV.18a})$$

$$\alpha_2 = \alpha_{Ti-O} = (n_2 + 1) / R_{Ti-O}^0 \quad (\text{IV.18b})$$

$$\alpha_3 = \alpha_{O-O} = (n_3 + 1) / R_{O-O}^0 \quad (\text{IV.18c})$$

onde  $R_{\text{Pb}-0}^0$ ,  $R_{\text{Ti}-0}^0$  e  $R_{0-0}^0$  correspondem às distâncias em que os íons chumbo e oxigênio, titânio e oxigênio e oxigênio e oxigênio estão em contato. Considerando os raios iônicos do titânio, chumbo e oxigênio podemos escrever:

$$R_{\text{Pb}-0}^0 \approx r_{14}$$

$$R_{\text{Ti}-0}^0 \approx r_{23}$$

$$R_{0-0}^0 \approx r_{45}$$

Através dos  $\alpha_i$  definidos anteriormente, obtivemos as seguintes relações entre os  $A_{KK}$ ,

$$A_{13} = A_{14} e^{-\alpha_1(r_{13} - r_{14})} \quad (\text{IV.19a})$$

$$A'_{14} = A_{14} e^{-\alpha_1(r'_{14} - r_{14})} \quad (\text{IV.19b})$$

$$A'_{23} = A_{23} e^{-\alpha_2(r'_{23} - r_{23})} \quad (\text{IV.19c})$$

$$A_{24} = A_{23} e^{-\alpha_2(r_{24} - r_{23})} \quad (\text{IV.19d})$$

$$A_{34} = A_{45} e^{-\alpha_3(r_{34} - r_{45})} \quad (\text{IV.19e})$$

Os parâmetros a serem calculados após a introdução das hipóteses anteriores são:

$n_1, n_2, n_3, A_{14}, A_{23}, A_{45},$

$B'_{14}, B_{34}, B_{45}, z_{Pb}, z_0$

Devido ao fato da intensidade das forças entre os íons de oxigênio ser pequena, fixamos o valor do parâmetro  $n_3$  em 7, correspondente ao valor fornecido por Pauling (79). Os critérios utilizados para finalizar o ajuste das frequências foram os seguintes:

$$\frac{\Delta(AF)}{AF} < 0.005 \quad \text{e} \quad \text{Sup} \left( \left| \frac{\Delta p}{p} \right| \right) < 0.01$$

onde  $AF = \frac{1}{N - M} \sum_i \left[ \frac{1}{\sigma_i^2} (\gamma_0(i) - \gamma_C(i)) \right]^{1/2}$  e  $\text{Sup} \left( \left| \frac{\Delta p}{p} \right| \right)$  corres-

põe ao valor máximo do conjunto  $\left\{ \left| \frac{\Delta p_1}{p_1} \right|, \left| \frac{\Delta p_2}{p_2} \right|, \dots, \left| \frac{\Delta p_M}{p_M} \right| \right\}$ .

$\gamma_0(i)$  corresponde ao quadrado da frequência observada ( $\gamma_0(i) = \gamma_i^2$ ),  $\gamma_C(i)$  é o quadrado da frequência calculada,  $\sigma_i$  é a incerteza em  $\gamma_0(i)$ . N corresponde ao número de observações, M corresponde ao número de parâmetros ( $P_i$ ) variáveis. Existem várias maneiras de se estimar a incerteza  $\sigma_i$  das observações, quando estas não forem fornecidas pelo método experimental. Por exemplo, as incertezas podem ser consideradas proporcionais aos valores das medidas ( $\sigma_i \propto \gamma_i$ ), ou proporcionais à raiz quadrada das medidas ( $\sigma_i \propto \sqrt{\gamma}$ ) ou constantes.

Observamos , durante o processo de ajuste que pequenas variações nos parâmetros afetavam bastante as frequências mais baixas. Isto significa que a escolha das incertezas  $\sigma_i$  constantes produzem um mal ajuste para as menores frequências. Por outro lado a escolha de incertezas proporcionais aos valores das frequências levavam a um mal ajuste das frequências mais altas. Portanto, escolhemos as incertezas proporcionais a raiz quadrada das observações, ou seja

$$Y_0(i) + \sigma_i = (\nu_i + C\sqrt{\nu_i})^2$$

Os parâmetros finais obtidos para o modelo do íon rígido do  $PbTiO_3$  são mostrados na tabela IV.2 .

As constantes de força axialmente simétricas  $A_{KK}$ , ,  $B_{KK}$ , e as cargas dos íons são mostradas na tabela IV.3 . Vemos nessa tabela que as contantes de força diminuem com o aumento da distância entre os íons. Notamos também que os valores absolutos das forças  $B_{KK}$ , , são em geral muito menores que os valores absolutos das constantes de força  $A_{KK}$ , .

Os valores elevados de  $A_{23}$  ,  $A'_{23}$  e  $A_{24}$  indicam a existência de fortes interações entre os íons de titânio e oxigênio. Os valores de  $A_{34}$  e  $A_{45}$  indicam que as interações entre os átomos de oxigênio são fracas.

O valor obtido para a carga do íon Pb é 1.695 e , onde

TABELA IV.2

PARÂMETRO	VALOR OBTIDO
$n_1$	5.398
$n_2$	3.145
$n_3$	7.000
$A_{14}$	38.010
$A_{23}$	192.800
$A_{45}$	6.266
$B'_{14}$	-2.024
$B_{34}$	-1.384
$B_{45}$	-2.007
$Z_{Pb}$	1.695e
$Z_0$	-1.456e

TABELA IV.3

$r_{KK'}$	$A_{KK'}$	$B_{KK'}$
$r_{13}$	19.254	-2.623
$r_{14}$	38.010	-7.267
$r'_{14}$	6.935	-2.024
$r_{23}$	192.800	-25.097
$r'_{23}$	48.893	-0.491
$r_{24}$	122.797	-14.306
$r_{34}$	4.852	-1.384
$r_{45}$	6.266	-2.007

$Z_{Pb} = 1.695e; Z_{Ti} = 2.673e; Z_0 = -1.456e$

e corresponde à carga do elétron. Esse valor corresponde a aproximadamente 85 % do valor da carga do íon livre. Os valores das cargas dos íons Ti e O são respectivamente  $2.673e$  e  $1.456e$ , correspondendo a aproximadamente 67% e 73% das cargas dos íons livres. O valor da carga do titânio obtido neste trabalho pode ser comparado aos valores obtidos por Cowley no  $\text{SrTiO}_3$  (48). Cowley, através do modelo de conchas, obteve valores para a carga do titânio que são superiores ao valor  $4e$ , do íon livre. O valor obtido neste trabalho ( $2.673e$ ) pode ser considerado mais realista que o valor obtido por Cowley.

Os valores medidos da frequência do  $\text{PbTiO}_3$  e os valores calculados neste trabalho são mostrados na tabela IV.4. Podemos verificar nessa tabela que os resultados fornecidos pelo método do íon rígido do  $\text{PbTiO}_3$ , são excelentes, uma vez que existe uma ótima concordância entre os valores ajustados das frequências e os valores medidos por espalhamento Raman e por neutrons. As diferenças entre as frequências medidas e as frequências ajustadas dos modos dipolares podem ser atribuídas ao fato de não estarmos incluindo no modelo as polarizabilidades dos íons. Notamos que a maior diferença entre a frequência medida e a calculada ocorre no modo  $A_1(\text{TO})$  com frequência  $646 \text{ cm}^{-1}$ . O valor calculado dessa frequência é  $578 \text{ cm}^{-1}$ .

Os auto-vetores dos modos normais do centro da zona de

TABELA IV.4

PONTO	MODO	FREQUÊNCIA MÉDIDA (cm <sup>-1</sup> )	FREQUÊNCIA CALCULADA (cm <sup>-1</sup> )
Γ	A <sub>1</sub> (T0 <sub>1</sub> )	147	119
	A <sub>1</sub> (T0 <sub>2</sub> )	359	301
	A <sub>1</sub> (T0 <sub>3</sub> )	646	578
	E(T0 <sub>1</sub> )	88	97
	E(T0 <sub>2</sub> )	220	259
	E(T0 <sub>3</sub> )	289	305
	E(T0 <sub>4</sub> )	505	553
	A <sub>1</sub> (L0 <sub>1</sub> )	189	167
	A <sub>1</sub> (L0 <sub>2</sub> )	465	514
	A <sub>1</sub> (L0 <sub>3</sub> )	796	763
	E(L0 <sub>1</sub> )	128	149
	E(L0 <sub>2</sub> )	289	300
	E(L0 <sub>3</sub> )	439	475
	E(L0 <sub>4</sub> )	723	758
	B <sub>1</sub>	289	263
Z	E(TA)	59	50
	E(T0)	168	163
X	A <sub>1</sub> (TA)	72	64

Brillouin são mostrados na tabela IV.5 . Podemos verificar nessa tabela que cada um dos modos de vibração corresponde a uma combinação linear dos vetores básicos encontrados no capítulo III. Esses auto-vetores nos permitem representar os modos normais de vibração graficamente.

Nas figuras IV.1 e IV.2 são representados os modos  $A_1(T0)$  ,  $E(T0)$  ,  $B_1$  e os modos  $A_1$  e  $E$  transversais acústicos. Os deslocamentos dos íons ao longo do eixo z (perpendicular ao plano do papel) foram representados por sinais + e -. Os deslocamentos ao longo da direção x foram representados por flechas. Os modos  $A_1$  correspondem a vibração com deslocamentos paralelos à direção z . Os modos E correspondem a vibrações com deslocamentos paralelos à direção x (ou y).

O modo  $E(T0_1)$  com frequência de  $97 \text{ cm}^{-1}$  corresponde a uma vibração dos íons de chumbo contra os íons de titânio e oxigênio. Os deslocamentos dos íons nesse modo são paralelos ao eixo x.

O modo  $A_1(T0_1)$  com frequência  $119 \text{ cm}^{-1}$ , também corresponde a uma vibração do íon chumbo contra os íons titânio e oxigênio. Os deslocamentos dos íons nesse modo são paralelos ao eixo z.

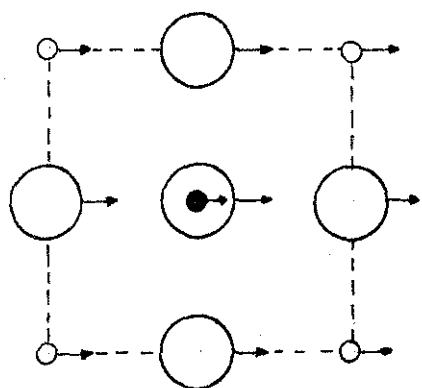
Medidas de espalhamento Raman dependente da temperatura (23) no  $\text{PbTiO}_3$  mostram que a frequência dos modos  $A_1(T0_1)$  e

TABELA IV.5

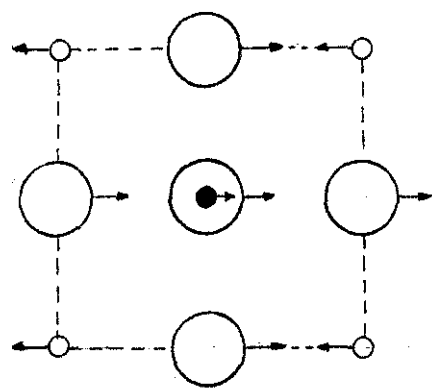
MODO	FREQUÊNCIA	AUTO-VETORES NORMALIZADOS					
		$f_a^{(k)}$	11>	12>	13>	14>	15>
$\epsilon(T_0)_1$	97	x	-0.552	0.445	0.407	0.374	0.436
		y	0	0	0	0	0
		z	0	0	0	0	0
$\epsilon(T_0)_2$	259	x	0.089	-0.658	-0.153	0.308	0.662
		y	0	0	0	0	0
		z	0	0	0	0	0
$\epsilon(T_0)_3$	305	x	-0.046	0.265	-0.721	-0.181	0.612
		y	0	0	0	0	0
		z	0	0	0	0	0
$\epsilon(T_0)_4$	553	x	0.030	-0.373	0.487	0.580	-0.533
		y	0	0	0	0	0
		z	0	0	0	0	0
$\epsilon(L_0)_1$	149	x	-0.541	0.717	0.340	0.245	0.121
		y	0	0	0	0	0
		z	0	0	0	0	0
$\epsilon(L_0)_2$	300	x	-0.047	0.047	-0.711	0.690	0.109
		y	0	0	0	0	0
		z	0	0	0	0	0
$\epsilon(L_0)_3$	475	x	-0.105	-0.070	-0.140	-0.295	0.936
		y	0	0	0	0	0
		z	0	0	0	0	0
$\epsilon(L_0)_4$	758	x	-0.097	-0.565	0.552	0.567	0.208
		y	0	0	0	0	0
		z	0	0	0	0	0
$A_1(T_0)_1$	119	x	0	0	0	0	0
		y	0	0	0	0	0
		z	-0.555	0.465	0.395	0.398	0.398
$A_1(T_0)_2$	301	x	0	0	0	0	0
		y	0	0	0	0	0
		z	0.078	-0.709	0.673	0.135	0.135
$A_1(T_0)_3$	578	x	0	0	0	0	0
		y	0	0	0	0	0
		z	0.040	-0.348	-0.500	0.519	0.519

TABELA IV.5 (CONT)

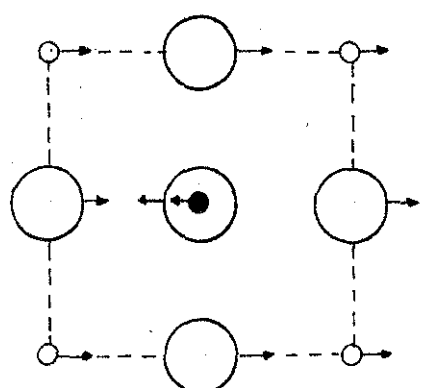
MODO	FREQUÊNCIA	$\hat{i}_\alpha$	AUTO-VETORES NORMALIZADOS				
			$ 1\rangle$	$ 2\rangle$	$ 3\rangle$	$ 4\rangle$	$ 5\rangle$
$A_1(L0_1)$	167	x	0	0	0	0	0
		y	0	0	0	0	0
		z	-0.544	0.714	0.129	0.296	0.296
$A_1(L0_2)$	514	x	0	0	0	0	0
		y	0	0	0	0	0
		z	-0.107	-0.073	0.943	-0.214	-0.214
$A_1(L0_3)$	763	x	0	0	0	0	0
		y	0	0	0	0	0
		z	-0.092	-0.570	0.199	0.559	0.559
$B_1$	263	x	0	0	0	0	0
		y	0	0	0	0	0
		z	0	0	0	-0.707	0.707
$E(TA)$	0	x	0.826	0.397	0.229	0.229	0.229
		y	0	0	0	0	0
		z	0	0	0	0	0
$E(LA)$	0	x	0.826	0.397	0.229	0.229	0.229
		y	0	0	0	0	0
		z	0	0	0	0	0
$A_1(LA)$	0	x	0	0	0	0	0
		y	0	0	0	0	0
		z	0.826	0.397	0.229	0.229	0.229
$A_1(TA)$	0	x	0	0	0	0	0
		y	0	0	0	0	0
		z	0.826	0.397	0.229	0.229	0.229



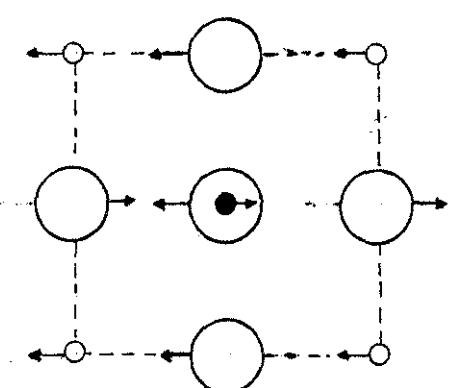
E(TA)



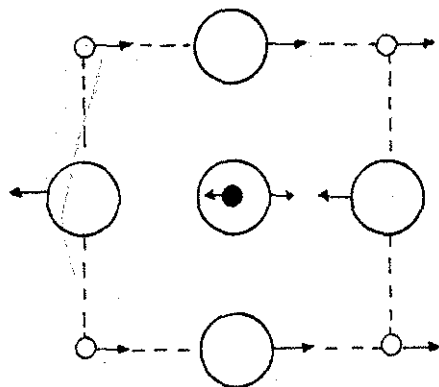
$$E(T_{0_1})$$



$$E(TO_2)$$



$$\Xi(TO_2)$$

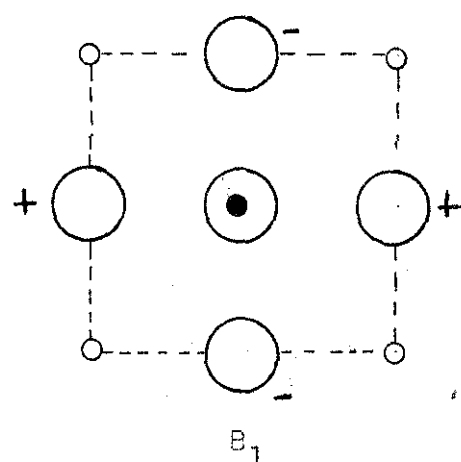
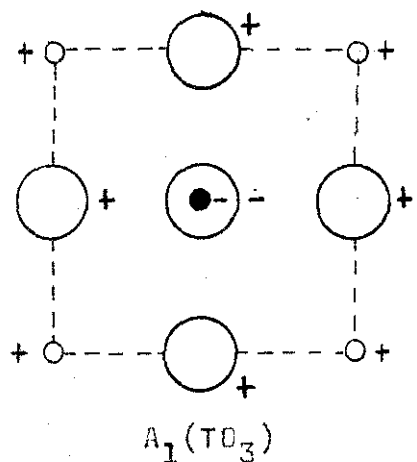
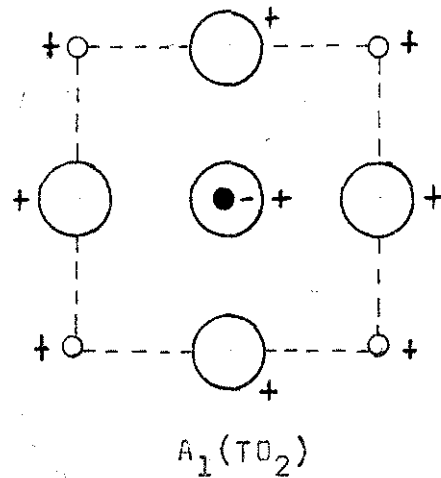
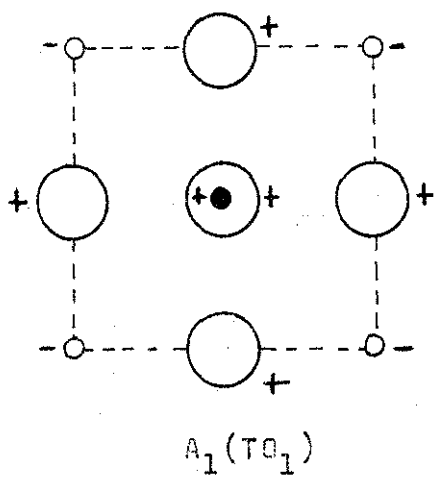


$$\text{E}(\text{TO}_4)_\text{O}\text{Pb}$$

• Ti

□

A<sub>1</sub>(TA)



$\circ$  Pb

● Ti

$\bigcirc$  O

FIGURA IV.2

$E(T_0)$  citados anteriormente, decrescem à medida que a temperatura é aumentada. Para temperaturas acima da temperatura de transição, esses dois modos devem se combinar em um modo  $F_{lu}$  triplicamente degenerado. O modo  $A_1(T_0)$  pode ser considerado como o modo responsável pela mudança de estrutura do cristal na transição tetragonal-cúbica a  $493^\circ C$ .

Após a determinação dos parâmetros do modelo do íon rígido do  $PbTiO_3$  podemos encontrar as frequências dos modos normais de vibração para vários vetores de onda  $\vec{q}$ . Neste trabalho encontramos as frequências dos modos de vibração para vetores de onda ao longo das direções  $[q_x, 0, 0]$ ,  $[0, 0, q_z]$ ,  $[q_x, q_x, 0]$ ,  $[0, q_x, q_z]$  e  $[q_x, q_x, q_z]$ . As componentes do vetor de onda receberam os valores 0.1, 0.2, 0.3, 0.4 e 0.5. As frequências dos modos de vibração calculadas para as direções mencionadas são mostradas nas tabelas IV.6, IV.7, IV.8, IV.9 e IV.10. As figuras IV.3, IV.4, IV.5, IV.6 e IV.7 mostram as curvas de dispersão teóricas, para essas mesmas direções. As degenerescências dos vários ramos das curvas de dispersão estão de acordo com as relações de compatibilidade mostradas na tabela IV.11.

Os pontos mostrados nas figuras IV.3 e IV.4 correspondem a valores de frequências obtidos por espalhamento de neutrons (26). Como podemos verificar nessas figuras as curvas teóricas

TABELA IV.6

$q_x = 0.0$		$q_x = 0.1$		$q_x = 0.2$		$q_x = 0.3$		$q_x = 0.4$		$q_x = 0.5$	
MODO	FREQ	MODO	FREQ	MODO	FREQ	MODO	FREQ	MODO	FREQ	MODO	FREQ
A <sub>1</sub>	0	A'	28	A'	47	A'	58	A'	62	A <sub>1</sub>	64
E	0	A''	27	A''	44	A''	52	A''	56	B <sub>1</sub>	57
E	0	A'	34	A'	63	A'	85	A'	98	B <sub>2</sub>	102
E	97	A''	104	A''	122	A''	141	A''	153	A <sub>2</sub>	157
A <sub>1</sub>	119	A'	123	A'	133	A'	145	A'	152	B <sub>2</sub>	154
E	149	A'	154	A'	166	A'	181	A'	192	A <sub>1</sub>	196
E	259	A''	260	A''	263	A''	266	A''	267	A <sub>2</sub>	268
B <sub>1</sub>	263	A'	267	A'	281	A'	294	A'	295	B <sub>2</sub>	295
E	300	A'	300	A'	300	A'	311	A'	334	A <sub>1</sub>	338
A <sub>1</sub>	302	A'	305	A'	314	A'	326	A'	337	A <sub>1</sub>	350
E	305	A''	308	A''	317	A''	335	A''	360	B <sub>1</sub>	375
E	475	A'	477	A'	481	A'	486	A'	490	B <sub>2</sub>	481
E	553	A''	548	A''	531	A''	505	A''	477	A <sub>2</sub>	461
A <sub>1</sub>	578	A'	572	A'	555	A'	529	A'	504	B <sub>2</sub>	496
E	758	A'	757	A'	754	A'	751	A'	749	A <sub>1</sub>	748

TABELA IV.7

$q_x = 0.0$	$q_x = 0.0$	$q_x = 0.0$	$q_x = 0.0$	$q_x = 0.0$	$q_x = 0.0$						
$q_y = 0.0$	$q_y = 0.0$	$q_y = 0.0$	$q_y = 0.0$	$q_y = 0.0$	$q_y = 0.0$						
$q_z = 0.0$	$q = 0.1$	$q = 0.2$	$q = 0.3$	$q = 0.4$	$q = 0.5$						
MODO	FREQ	MODO	FREQ	MODO	FREQ						
E	0	E	23	E	38	E	46	E	49	E	50
E	97	E	104	E	122	E	143	E	158	E	163
E	553	E	549	E	536	E	517	E	499	E	491
E	305	E	309	E	318	E	332	E	348	E	355
E	259	E	258	E	256	E	254	E	252	E	252
E	0	E	23	E	38	E	46	E	49	E	50
E	97	E	104	E	122	E	143	E	158	E	163
E	553	E	549	E	536	E	517	E	499	E	491
E	259	E	258	E	256	E	254	E	252	E	252
E	305	E	309	E	318	E	332	E	348	E	355
A <sub>1</sub>	0	A <sub>1</sub>	30	A <sub>1</sub>	58	A <sub>1</sub>	80	A <sub>1</sub>	95	A <sub>1</sub>	100
A <sub>1</sub>	167	A <sub>1</sub>	167	A <sub>1</sub>	169	A <sub>1</sub>	171	A <sub>1</sub>	172	A <sub>1</sub>	173
A <sub>1</sub>	514	A <sub>1</sub>	515	A <sub>1</sub>	519	A <sub>1</sub>	524	A <sub>1</sub>	527	A <sub>1</sub>	529
A <sub>1</sub>	763	A <sub>1</sub>	763	A <sub>1</sub>	761	A <sub>1</sub>	759	A <sub>1</sub>	758	A <sub>1</sub>	757
B <sub>1</sub>	263	B <sub>1</sub>	265	B <sub>1</sub>	272	B <sub>1</sub>	279	B <sub>1</sub>	285	B <sub>1</sub>	288

TABELA IV.8

$q_x = 0.0$		$q_x = 0.1$		$q_x = 0.2$		$q_x = 0.3$		$q_x = 0.4$		$q_x = 0.5$	
MODO	FREQ	MODO	FREQ	MODO	FREQ	MODO	FREQ	MODO	FREQ	MODO	FREQ
A <sub>1</sub>	0 A'	38	A'	59	A'	63	A'	63	A <sub>1</sub>	64	
E	0 A''	20	A''	38	A''	52	A''	61	A <sub>2</sub>	38	
E	0 A'	55	A'	81	A'	80	A'	71	E	65	
E	97 A''	100	A''	108	A''	110	A''	86	E	65	
A <sub>1</sub>	119 A'	127	A'	156	A'	192	A'	214	E	220	
E	149 A'	156	A'	180	A'	216	A'	253	B <sub>2</sub>	267	
E	259 A''	254	A''	241	A''	220	A''	180	B <sub>1</sub>	161	
B <sub>1</sub>	263 A''	272	A''	289	A''	254	A''	226	E	220	
E	300 A'	300	A'	300	A'	302	A'	315	E	342	
A <sub>1</sub>	301 A'	318	A'	366	A'	429	A'	424	B <sub>2</sub>	383	
E	305 A''	303	A''	294	A''	317	A''	335	E	342	
E	475 A'	487	A'	518	A'	482	A'	495	E	533	
E	553 A''	546	A''	530	A''	524	A''	529	E	533	
A <sub>1</sub>	578 A'	566	A'	532	A'	557	A'	587	B <sub>2</sub>	598	
E	758 A'	750	A'	728	A'	693	A'	648	A <sub>1</sub>	618	

TABELA IV.9

TABELA IV.10

$q_x = 0.0$		$q_x = 0.1$		$q_x = 0.2$		$q_x = 0.3$		$q_x = 0.4$		$q_x = 0.5$	
$q_y = 0.0$		$q_y = 0.1$		$q_y = 0.2$		$q_y = 0.3$		$q_y = 0.4$		$q_y = 0.5$	
$q_z = 0.0$		$q_z = 0.1$		$q_z = 0.2$		$q_z = 0.3$		$q_z = 0.4$		$q_z = 0.5$	
MODO	FREQ	MODO	FREQ								
A''	0	A''	29	A''	48	A''	62	A''	71	A <sub>2</sub>	33
A'	0	A'	29	A'	49	A'	59	A'	67	E	75
A'	0	A'	67	A'	78	A'	72	A'	81	A <sub>1</sub>	85
A''	97	A''	106	A''	122	A''	125	A''	97	E	75
A'	111	A'	120	A'	136	A'	148	A'	150	E	146
A'	155	A'	164	A'	212	A'	256	A'	220	B <sub>2</sub>	197
A''	259	A''	253	A''	234	A''	197	A''	158	E	146
A''	263	A''	268	A''	256	A''	226	A''	181	B <sub>1</sub>	160
A'	285	A'	287	A'	281	A'	276	A'	317	B <sub>2</sub>	336
A'	305	A'	320	A'	359	A'	370	A'	353	E	345
A''	305	A''	312	A''	346	A''	360	A''	349	E	345
A'	486	A'	505	A'	528	A'	531	A'	553	E	551
A''	553	A''	541	A''	514	A''	510	A''	537	E	551
A'	572	A'	562	A'	564	A'	615	A'	597	A <sub>1</sub>	590
A'	759	A'	745	A'	705	A'	653	A'	666	B <sub>2</sub>	681

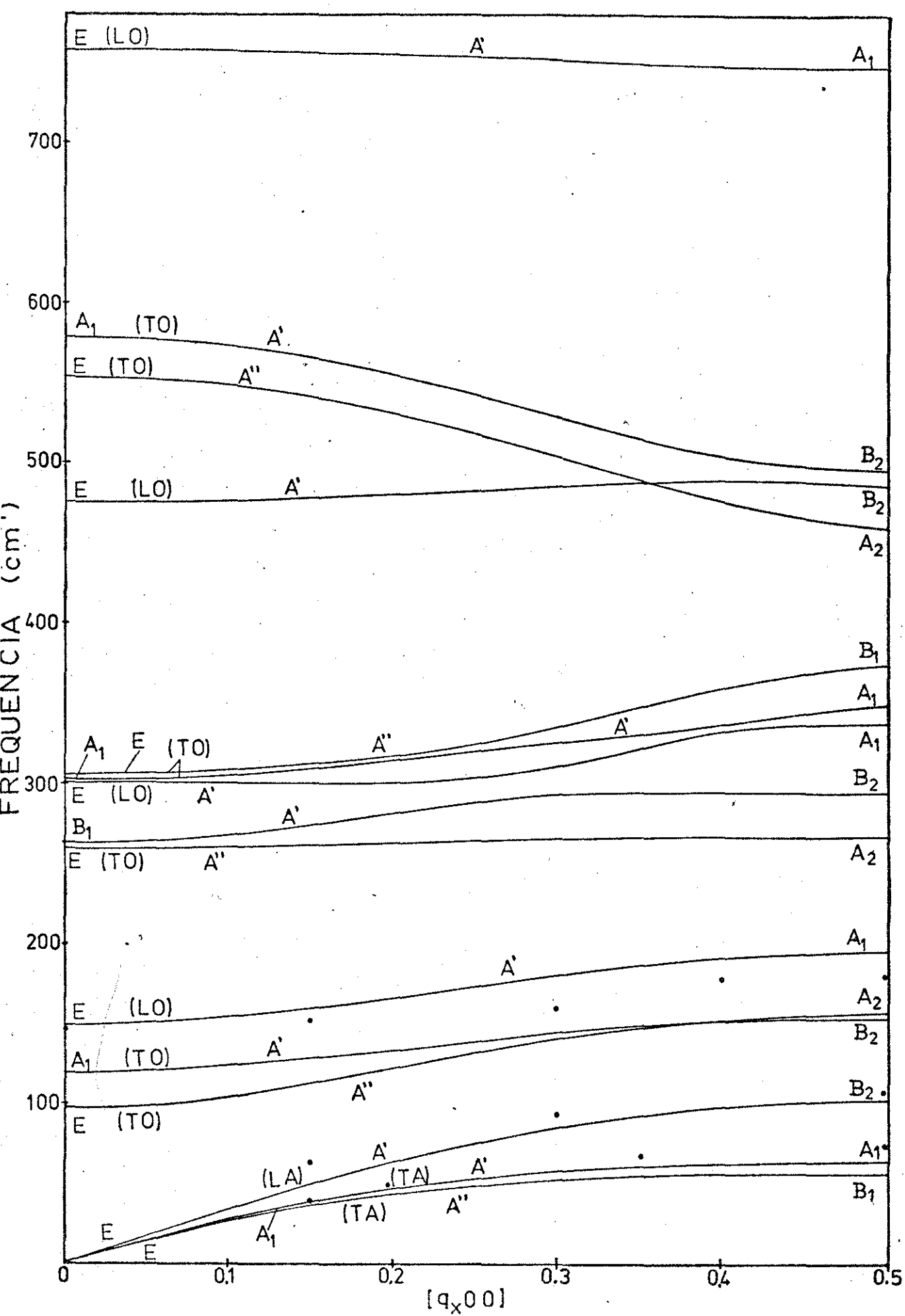


FIGURA IV.3

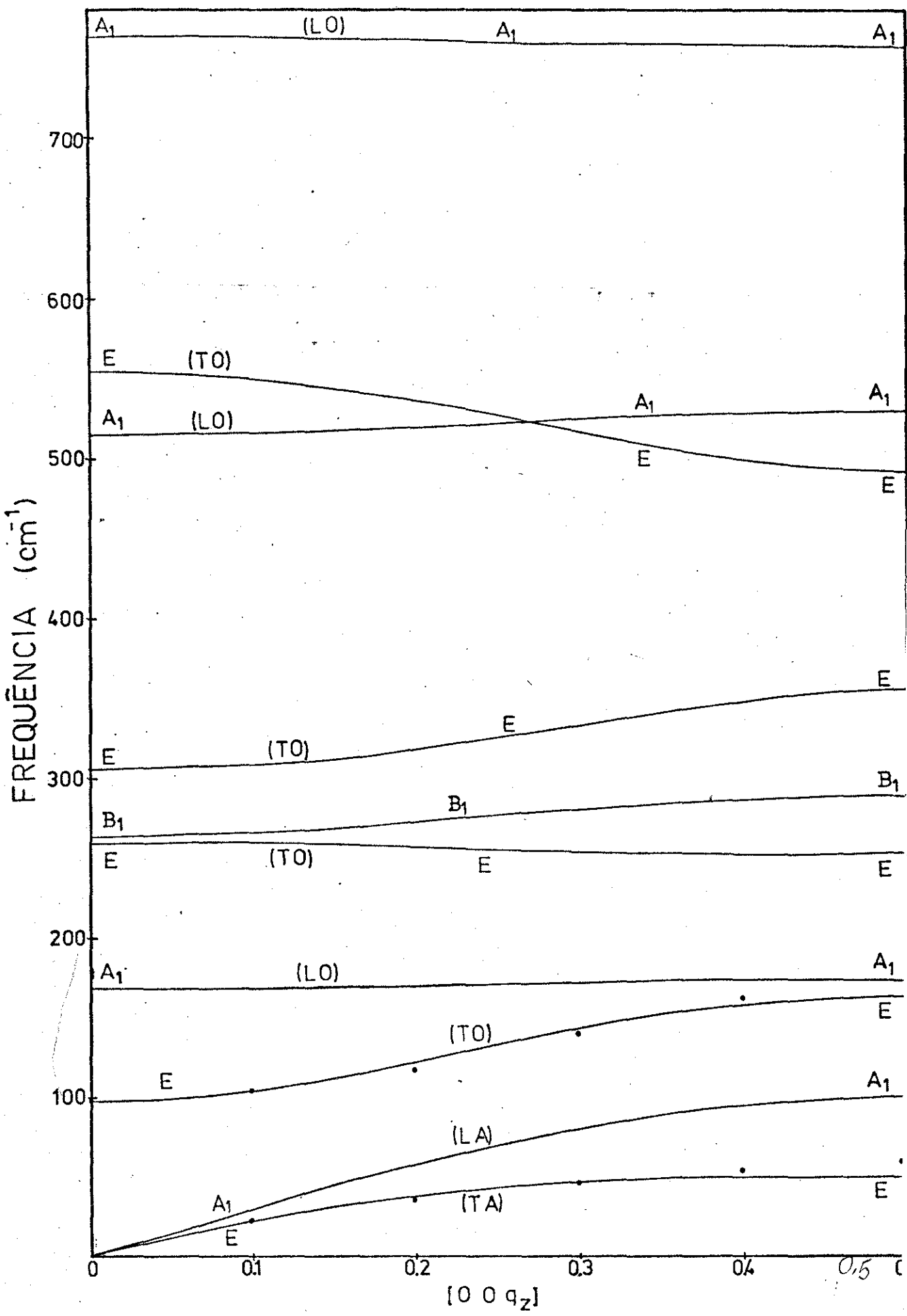


FIGURA IV.4

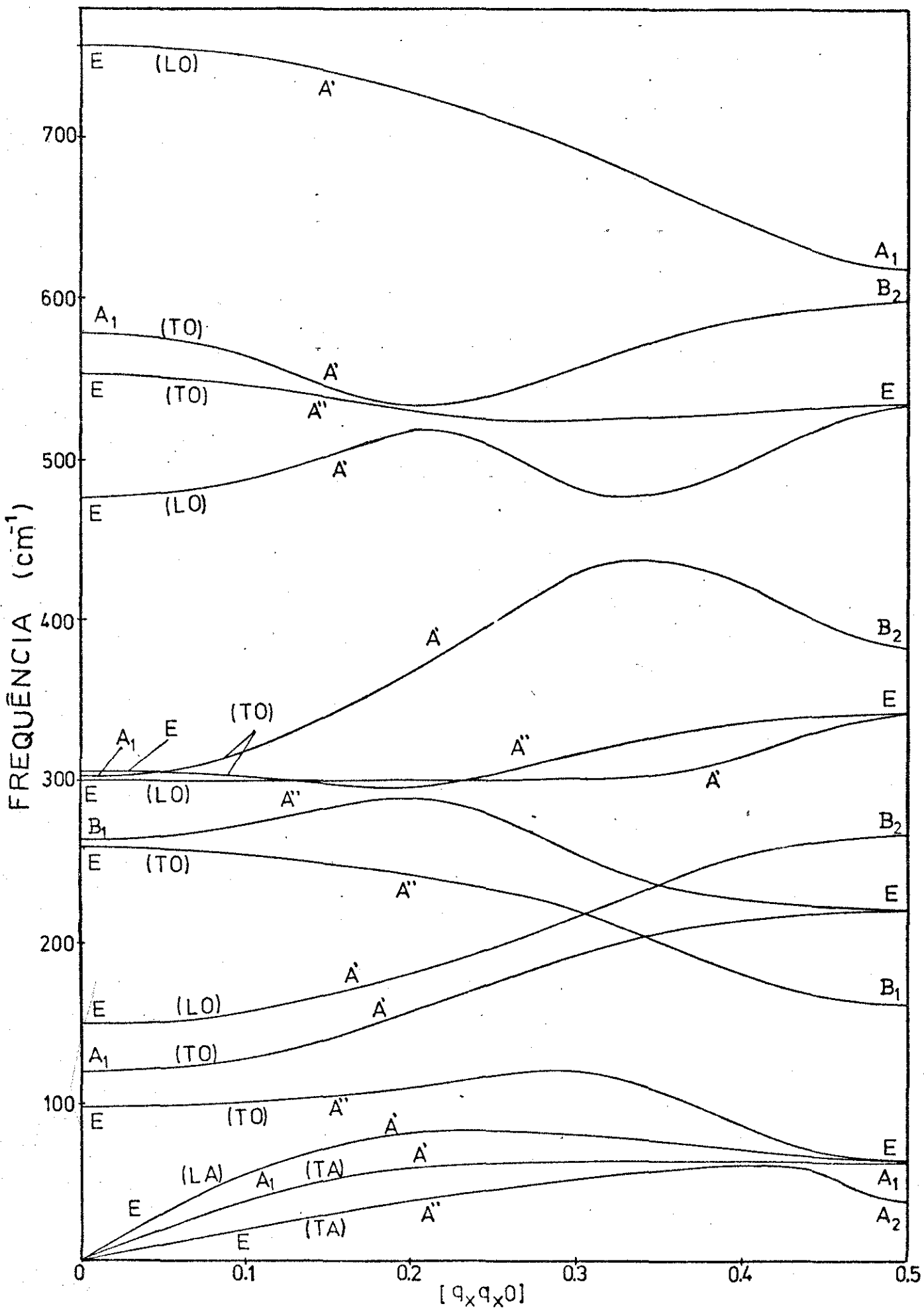


FIGURA IV.5

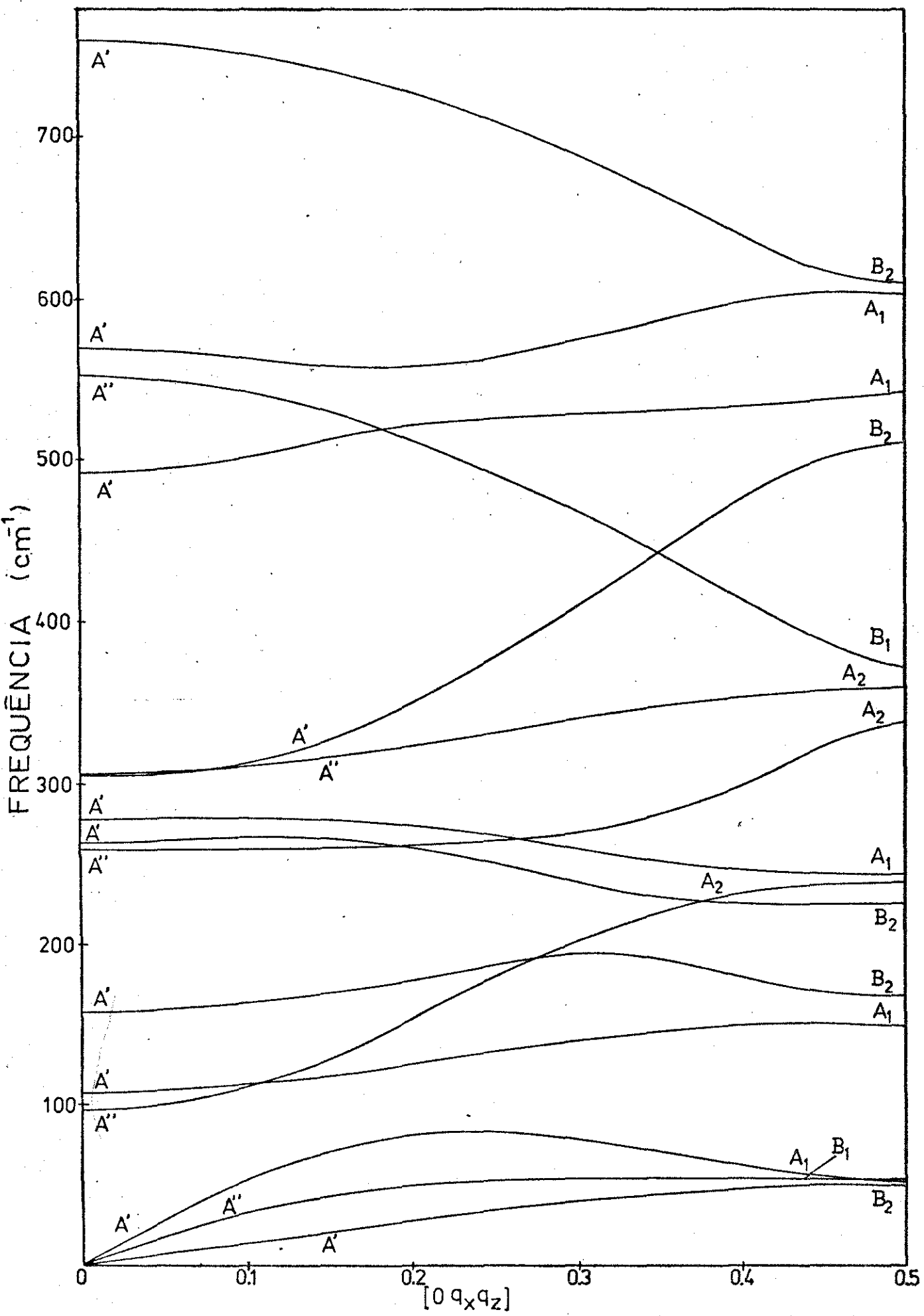


FIGURA IV.6

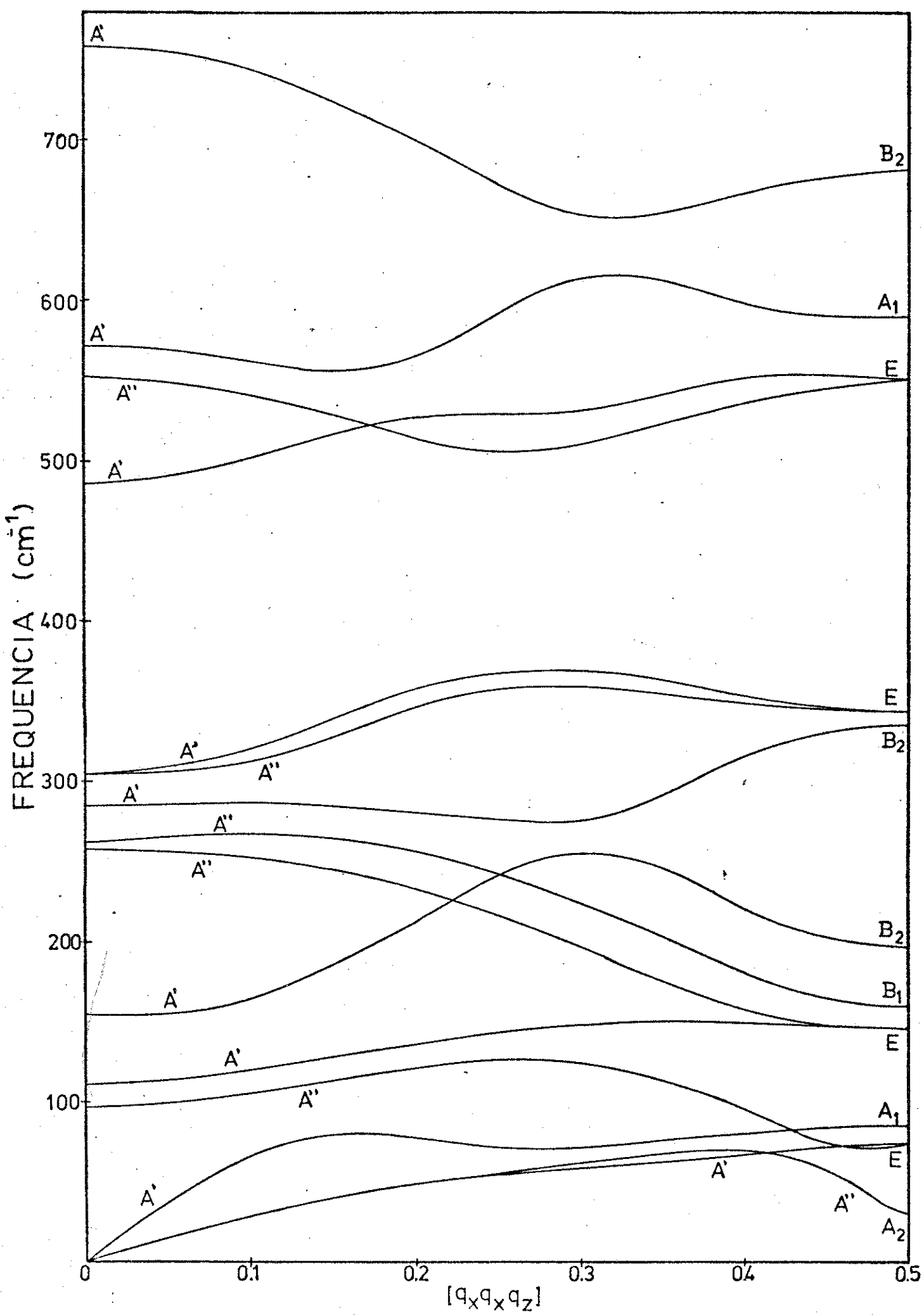


FIGURA IV.7

TABELA IV.11

SIMETRIA $C_{4v}$	SIMETRIA $C_s$	SIMETRIA $C_{2v}$
PONTO $\Gamma$	PONTO $\Delta$	PONTO $X$
REPRESENTAÇÕES IRREDUTÍVEIS	REPRESENTAÇÕES IRREDUTÍVEIS	REPRESENTAÇÕES IRREDUTÍVEIS

SIMETRIA $C_{4v}$	SIMETRIA $C_s$	SIMETRIA $C_{4v}$
PONTO $\Gamma$	PONTO $\Sigma$	PONTO $M$
REPRESENTAÇÕES IRREDUTÍVEIS	REPRESENTAÇÕES IRREDUTÍVEIS	REPRESENTAÇÕES IRREDUTÍVEIS

estão em excelente concordância com os pontos obtidos por espalhamento de neutrons. As diferenças entre os pontos teóricos e os pontos calculados podem ser atribuídas ao fato de não incluirmos no modelo a polarizabilidade dos íons.

Os auto-vetores dos pontos de maior simetria dos extremos da zona de Brillouin são mostrados no apêndice III. Esses auto-vetores poderão ser úteis para o cálculo de fatores de estrutura em espalhamento de neutrons.

#### IV.3 - ESTUDO DA VARIACÃO DOS PARÂMETROS DO MODELO DO ÍON RIGIDO DO PbTiO<sub>3</sub> COM A TEMPERATURA

Os cálculos efetuados na secção IV.2 foram baseados na aproximação harmônica (capítulo II) na qual a energia potencial é expandida até segunda ordem nos deslocamentos atômicos. Esta aproximação não prevê efeitos dependentes da temperatura para os cristais. Dentro dessa aproximação não existe expansão térmica do cristal e; as constantes elásticas, isotérmicas e adiabáticas são iguais e independentes da temperatura. Esses resultados não são confirmados pela experiência. Os cristais apresentam expansão térmica, as constantes elásticas, isotérmicas e adiabáticas são diferentes e dependem da pressão e temperatura. Estes fatos decorrem da existência de termos anharmônicos na energia potencial do cristal e indicam que a aproximação harmônica não é suficiente

para a descrição quantitativa das propriedades do cristal.

A influência da temperatura pode ser introduzida na teoria harmônica de maneira aproximada<sup>( 80 )</sup>, permitindo que vários parâmetros do cristal variem com a temperatura. Essa hipótese já foi considerada por Cochran e Cowley<sup>(4,48)</sup> no estudo da transição de fase do BaTiO<sub>3</sub> e SrTiO<sub>3</sub> respectivamente. Esse tipo de aproximação recebe o nome de aproximação "quase harmônica".

Para estudarmos a variação da frequência dos modos normais do PbTiO<sub>3</sub> com a temperatura, permitimos que os parâmetros da rede, *a* e *c*; as constantes de força de curto alcance e as cargas efetivas dos íons variassem com a temperatura.

Medidas da variação da frequência dos fonons do PbTiO<sub>3</sub> com a temperatura foram realizadas por Burns e Scott<sup>( 23 )</sup>. Medidas da variação com a temperatura dos parâmetros da rede *a* e *c*, foram realizadas por Shirane e Hoshino<sup>( 68 )</sup>. Para temperaturas próximas à temperatura de transição ( $\sim 493^{\circ}$  C) os parâmetros da rede são dados por:

$$a = 3.942 \text{ \AA}^0$$

$$c = 4.011 \text{ \AA}^0$$

Os valores medidos das frequências dos fonons para a temperatura de transição são mostrados na tabela IV.12 . Utilizando essas frequências e os parâmetros *a* e *c* mencionados, fize-

mos um novo ajuste de frequências, mantendo constantes os parâmetros  $n_1$ ,  $n_2$  e  $n_3$  (que admitimos independentes da temperatura). Os valores ajustados das frequências são mostrados na tabela IV.13, as constantes de força axialmente simétricas e as cargas iônicas são mostradas na tabela IV.14. Podemos observar, comparando as frequências medidas e calculadas que os resultados obtidos foram excelentes. Em geral, todas as frequências dos modos dipolares mudaram com a temperatura. A frequência do modo  $E(TO_1)$  varia de  $97 \text{ cm}^{-1}$  para  $52 \text{ cm}^{-1}$ , enquanto a frequência do modo  $A_1(TO_1)$  varia de  $119 \text{ cm}^{-1}$  para  $77 \text{ cm}^{-1}$ . Na fase cúbica, acima da transição, esses dois modos se juntam em um único modo  $F_{1u}$ , triplamente degenerado. Os auto-vetores do modo  $A_1(TO_1)$ , tabela IV.15, mostram que este modo pode ser considerado como responsável pela transição de fase.

Podemos concluir, observando a tabela IV.14, que as frequências medidas na temperatura de transição podem ser obtidas através de pequenas variações nos parâmetros. Este fato mostra que forças anharmônicas pequenas são suficientes para explicar a variação das frequências com a temperatura e, que nenhum outro mecanismo de transição de fase entra na dinâmica dos fonons neste cristal. As maiores variações nos parâmetros  $A_{KK}$ , ocorreram em  $A_{24}$ ,  $A_{34}$  e  $A_{45}$ . As cargas iônicas sofreram variações em torno de 5%.

TABELA IV.12

MODO	FREQUÊNCIA MEDIDA (cm <sup>-1</sup> ) (T~23°C)	FREQUÊNCIA MEDIDA (cm <sup>-1</sup> ) (T~493°C)
E(T0)	88	54
E(T0)	220	178
E(T0)	505	490
E(T0)	289	289
E(L0)	128	118
E(L0)	439	445
E(L0)	723	665
E(L0)	289	289
A <sub>1</sub> (T0)	147	62
A <sub>1</sub> (T0)	359	289
A <sub>1</sub> (T0)	646	545
A <sub>1</sub> (L0)	189	163
A <sub>1</sub> (L0)	465	445
A <sub>1</sub> (L0)	796	725
B <sub>1</sub>	289	289

TABELA IV.13

MODO	FREQUÊNCIA MEDIDA (cm <sup>-1</sup> )	FREQUÊNCIA CALCULADA (cm <sup>-1</sup> )
$\Sigma(T0)$	54	52
$\Sigma(T0)$	178	207
$\Sigma(T0)$	490	535
$\Sigma(T0)$	289	269
$\Sigma(L0)$	118	135
$\Sigma(L0)$	445	467
$\Sigma(L0)$	665	719
$\Sigma(L0)$	289	261
$A_1(T0)$	62	77
$A_1(T0)$	289	277
$A_1(T0)$	545	529
$A_1(L0)$	163	156
$A_1(L0)$	445	494
$A_1(L0)$	725	715
$B_1$	289	285

TABELA IV.14

PARÂMETROS	TEMPERATURA	
	AMBIENTE	TRANSIÇÃO
$A_{13}$	19.254	16.868
$A_{14}$	38.010	37.354
$A'_{14}$	6.935	7.375
$A_{23}$	192.800	196.525
$A'_{23}$	48.893	49.838
$A_{24}$	122.797	102.369
$A_{34}$	4.852	3.903
$A_{45}$	6.266	4.187
$B_{13}$	-2.623	-3.370
$B_{14}$	-7.267	-7.507
$B'_{14}$	-2.024	-1.882
$B_{23}$	-25.097	-32.024
$B'_{23}$	-0.491	-1.973
$B_{24}$	-14.306	-15.725
$B_{34}$	-1.384	-0.931
$B_{45}$	-2.007	0.899
$Z_{Pb}$	1.695e	1.825e
$Z_0$	-1.456e	-1.433e
$Z_{Ti}$	2.673e	2.474e

TABELA IV.15

MODO	FREQUÊNCIA	AUTO-VETORES NORMALIZADOS					
		$\hat{i}_x$	$ 1\rangle$	$ 2\rangle$	$ 3\rangle$	$ 4\rangle$	$ 5\rangle$
$E(T_0)_1$	52	x	-0.534	0.340	0.437	0.407	0.489
		y	0	0	0	0	0
		z	0	0	0	0	0
$E(T_0)_2$	207	x	0.147	-0.700	-0.227	0.348	0.561
		y	0	0	0	0	0
		z	0	0	0	0	0
$E(T_0)_3$	269	x	-0.079	0.328	-0.674	0.616	-0.225
		y	0	0	0	0	0
		z	0	0	0	0	0
$E(T_0)_4$	535	x	0.048	-0.357	0.499	0.528	-0.584
		y	0	0	0	0	0
		z	0	0	0	0	0
$E(L_0)_1$	135	x	-0.538	0.726	0.392	0.184	0.067
		y	0	0	0	0	0
		z	0	0	0	0	0
$E(L_0)_2$	261	x	-0.087	0.101	-0.663	0.732	0.068
		y	0	0	0	0	0
		z	0	0	0	0	0
$E(L_0)_3$	467	x	-0.134	-0.041	-0.154	-0.239	0.948
		y	0	0	0	0	0
		z	0	0	0	0	0
$E(L_0)_4$	719	x	-0.107	-0.549	0.573	0.564	0.197
		y	0	0	0	0	0
		z	0	0	0	0	0
$A_1(T_0)_1$	77	x	0	0	0	0	0
		y	0	0	0	0	0
		z	-0.547	0.403	0.427	0.421	0.421
$A_1(T_0)_2$	277	x	0	0	0	0	0
		y	0	0	0	0	0
		z	0.123	-0.772	0.584	0.153	0.153
$E_1(T_0)_3$	529	x	0	0	0	0	0
		y	0	0	0	0	0
		z	-0.043	0.287	0.650	-0.496	-0.496

TABELA IV.15 (CONT)

MODO	FREQUÊNCIA	$\hat{f}_{\alpha}^{(k)}$	AUTO-VETORES NORMALIZADOS				
			1>	2>	3>	4>	5>
$A_1(LG_1)$	156	x	0	0	0	0	0
		y	0	0	0	0	0
		z	-0.541	0.729	0.125	0.280	0.280
$A_1(LG_2)$	494	x	0	0	0	0	0
		y	0	0	0	0	0
		z	0.098	0.036	-0.927	0.254	0.254
$A_1(LG_3)$	715	x	0	0	0	0	0
		y	0	0	0	0	0
		z	-0.114	-0.554	0.268	0.550	0.550
$B_1$	285	x	0	0	0	0	0
		y	0	0	0	0	0
		z	0	0	0	-0.707	0.707

Segundo o modelo do "phonon soft" a frequência dos modos  $A_1(T_{01})$  e  $E(T_{01})$  deveriam ser iguais a zero para a temperatura de transição. O fato das frequências desses modos serem diferentes na temperatura de transição indica uma transição de primeira ordem.

#### IV.4 - DINÂMICA DE REDE DO BaTiO<sub>3</sub>

O BaTiO<sub>3</sub> à temperatura ambiente tem uma estrutura tetragonal pertencendo ao grupo espacial  $C_{4v}^1$ . A célula primitiva do BaTiO<sub>3</sub> contém um íon de bário, um íon de titânio e três íons de Oxigênio que são identificados através do índice  $k$ :

IONS	$k$
Ba : (0 0 0)	1
Ti : ( $\frac{1}{2}$ $\frac{1}{2}$ u)	2
O : ( $\frac{1}{2}$ $\frac{1}{2}$ v)	3
O : ( $\frac{1}{2}$ 0 w)	4
O : (0 $\frac{1}{2}$ w)	5

onde  $u = 0.513$ ,  $v = -0.023$  e  $w = 0.487$ .

Os parâmetros da rede à temperatura ambiente são dados por  $a = 3.992$  e  $c = 4.036 \text{ \AA}$ . A energia potencial da célula primitiva do BaTiO<sub>3</sub> é escrita da seguinte forma:

TABELA IV.16

$r_{KK'}$	$r_{KK'}$	$ r_{KK'}  (\text{\AA})$
$r_{13}$	$\sqrt{\frac{1}{2} a^2 + v^2 c^2}$	2.824
$r_{14}'$	$\sqrt{\frac{1}{4} a^2 + (w-1)^2 c^2}$	2.875
$r_{14}$	$\sqrt{\frac{1}{2} a^2 + w^2 c^2}$	2.801
$r_{23}'$	$(v - u)c$	2.163
$r_{23}$	$(1 + v + u)c$	1.872
$r_{24}$	$\sqrt{\frac{1}{4} a^2 + (w-u)^2 c^2}$	1.998
$r_{34}'$	$\sqrt{\frac{1}{4} a^2 + (w-v)^2 c^2}$	2.867
$r_{34}$	$\sqrt{\frac{1}{4} a^2 + (w-v-1)^2 c^2}$	2.809
$r_{45}$	$\frac{1}{\sqrt{2}} a$	2.822

$$\begin{aligned}
 \phi = & -\frac{\alpha_m e^2}{r_0} + 4\phi_{13}(r_{13}) + 4\phi_{14}(r_{14}) + 4\phi'_{14}(r'_{14}) + \\
 & + \phi_{23}(r_{23}) + \phi'_{23}(r'_{23}) + 4\phi_{34}(r_{34}) + 4\phi_{24}(r_{24}) + \\
 & + 4\phi'_{34}(r'_{34}) + 4\phi_{45}(r_{45}) \quad (\text{IV.20})
 \end{aligned}$$

Os  $r_{ij}$  que aparecem na equação IV.20 são mostrados na tabela IV.16. As condições de estabilidade para o BaTiO<sub>3</sub> fornecem o seguinte conjunto de equações:

$$\begin{aligned}
 4vB_{13} + (v-u)B'_{23} + (1+v-u)B_{23} = & 4(w-v)B'_{34} + 4(w-v-1)B_{34} + \\
 & + \frac{2v}{c^2} \frac{\partial \alpha_m}{\partial v} \quad (\text{IV.21a})
 \end{aligned}$$

$$\begin{aligned}
 4(w-1)B'_{14} + 4(w-u)B_{24} = & -4(w-v)B'_{34} - 4(w-v-1)B_{34} - 4wB_{14} + \\
 & + \frac{2v}{c^2} \frac{\partial \alpha_m}{\partial w} \quad (\text{IV.21b})
 \end{aligned}$$

$$-(v-u)B'_{23} - (1+v-u)B_{23} - 4(w-u)B_{24} = \frac{2v}{c^2} \frac{\partial \alpha_m}{\partial u} \quad (\text{IV.21c})$$

$$\begin{aligned}
 4v^2B_{13} + 4(w-1)^2B'_{14} + (v-u)B'_{23} + (1+v-u)^2B_{23} + 4(w-u)^2B_{24} = & \\
 = & -4w^2B_{14} - 4(w-v)^2B'_{34} - 4(w-v-1)^2B_{34} + \\
 & + \frac{2v}{c} \frac{\partial \alpha_m}{\partial c} \quad (\text{IV.21d})
 \end{aligned}$$

$$2B_{13} + B'_{14} + B_{24} = -B_{14} - B_{34} - B'_{34} - 2B_{45} + \frac{2v}{a} \frac{\partial \alpha_m}{\partial a} \quad (\text{IV.21e})$$

A solução do sistema de equações IV.21 nos fornece os valores dos parâmetros  $B_{13}$ ,  $B'_{14}$ ,  $B'_{23}$ ,  $B_{23}$  e  $B_{24}$ . Como no caso do  $\text{PbTiO}_3$ , os restantes parâmetros devem ser calculados pelo método de mínimos quadrados não linear.

Procedendo de maneira análoga ao  $\text{PbTiO}_3$  realizamos um ajuste das frequências dos modos do centro da zona de Brillouin do  $\text{BaTiO}_3$ . Os parâmetros determinados pelo método de mínimos quadrados não linear foram  $n_1$ ,  $n_2$ ,  $A_{14}$ ,  $A_{23}$ ,  $A_{34}$ ,  $B_{14}$ ,  $B_{34}$ ,  $B'_{34}$ ,  $B_{45}$ ,  $Z_{\text{Ba}}$  e  $Z_0$ . Os parâmetros  $n_1$  e  $n_2$  são equivalentes aos parâmetros  $n_1$  e  $n_2$  mencionados para o  $\text{PbTiO}_3$ . Como no caso do  $\text{PbTiO}_3$  o parâmetro  $n_3$  foi mantido constante e com valor igual a 7. Os valores experimentais dessas frequências foram obtidos das referências (11) e (15). Não tentamos ajustar as frequências dos modos de pontos fora do centro da zona de Brillouin do  $\text{BaTiO}_3$  porque os modos de baixa frequência deste cristal são fortemente amortecidos, o que dificulta a obtenção do valor da frequência observada. Os valores das constantes de força  $A_{KK}$  e  $B_{KK}$  obtidos são apresentados na tabela IV.17. Como no caso do  $\text{PbTiO}_3$ , as constantes de força diminuem à medida em que a distância entre os íons aumenta e, as interações de maior intensidade ocorrem entre os íons titânio e oxigênio. As constantes de

TABELA IV.17

$r_{KK'}$	$A_{KK'}$	$B_{KK'}$
$r_{13}$	26.483	-3.563
$r_{14}$	28.279	-0.821
$r'_{14}$	22.854	-0.126
$r_{23}$	148.399	-42.990
$r'_{23}$	74.038	-24.917
$r_{24}$	109.759	-20.599
$r_{34}$	5.436	-0.958
$r'_{34}$	4.616	-0.460
$r_{45}$	5.239	-2.672

$$Z_{Ba} = 1.582e \quad , Z_{Ti} = 2.678e \quad , Z_0 = -1.420e$$

força  $A_{23}$ ,  $A'_{23}$  e  $A_{24}$  são da mesma ordem no  $\text{PbTiO}_3$  e no  $\text{BaTiO}_3$ .

As cargas iônicas obtidas para o  $\text{BaTiO}_3$  são compatíveis com os valores obtidos para o  $\text{PbTiO}_3$ .

Os valores experimentais das frequências e os valores calculados das mesmas são mostrados na tabela IV.18. Podemos ver nessa tabela que os resultados obtidos para o  $\text{BaTiO}_3$  são excelentes. A maior diferença entre a frequência medida e a frequência ajustada ocorre no modo  $A_1(\text{TO}_2)$  de frequência  $267\text{cm}^{-1}$ . O valor calculado desta frequência é  $193\text{ cm}^{-1}$ . As diferenças entre as frequências calculados e as frequências medidas podem ser atribuídas ao fato de não estarmos considerando a polarizabilidade dos íons.

Os auto-vetores dos modos do centro da zona de Brillouin do  $\text{BaTiO}_3$  são mostrados na tabela IV.19. Através desses auto-vetores podemos representar graficamente os modos normais do  $\text{BaTiO}_3$ . As representações gráficas dos modos  $B_1$ ,  $E(\text{TO})$  e  $A_1(\text{TO})$  são mostradas nas figuras IV.8 e IV.9.

É interessante comparar os modos  $E(\text{TO}_1)$  do  $\text{BaTiO}_3$  e  $\text{PbTiO}_3$ . O modo  $E(\text{TO}_1)$  do  $\text{BaTiO}_3$  é semelhante ao modo proposto por Slater<sup>(81)</sup> para explicar a transição cúbica-tetragonal do  $\text{BaTiO}_3$ . O modo proposto por Slater consiste na vibração do íon titânio contra o octaedro de oxigênios que se comporta como um corpo rígido. O modo obtido neste trabalho preve o movimen-

TABELA IV.18

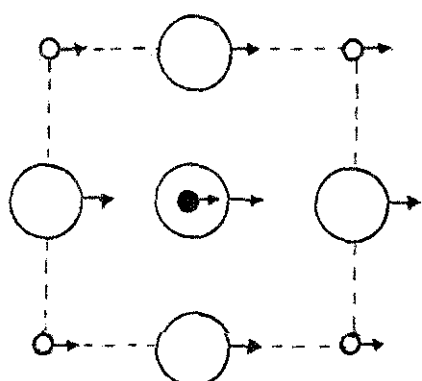
MODO	FREQUÊNCIA MEDIDA (cm <sup>-1</sup> )	FREQUÊNCIA CALCULADA (cm <sup>-1</sup> )
$E(T\bar{O}_1)$	38	39
$E(T\bar{O}_2)$	180	196
$E(T\bar{O}_3)$	308	320
$E(T\bar{O}_4)$	489	514
$E(L\bar{O}_1)$	180	182
$E(L\bar{O}_2)$	308	308
$E(L\bar{O}_3)$	466	462
$E(L\bar{O}_4)$	722	699
$A_1(T\bar{O}_1)$	178	155
$A_1(T\bar{O}_2)$	267	193
$A_1(T\bar{O}_3)$	512	554
$A_1(L\bar{O}_1)$	189	193
$A_1(L\bar{O}_2)$	473	466
$A_1(L\bar{O}_3)$	740	729
$B_1$	308	282

TABELA IV.19

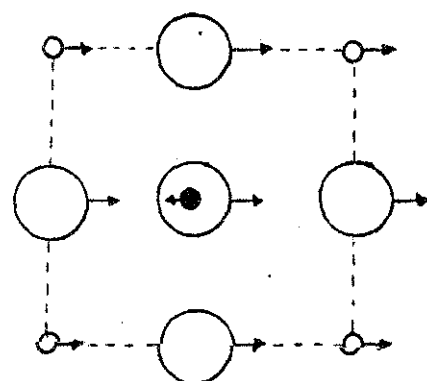
MODO	FREQUÊNCIA	$i_{\alpha}^{(16)}$	AUTO-VETORES NORMALIZADOS			
			1>	2>	3>	4>
$E(TO_1)$	39	x	0.036	-0.671	0.406	0.031
		y	0	0	0	0
		z	0	0	0	0
$E(TO_2)$	196	x	0.639	-0.509	-0.399	-0.275
		y	0	0	0	0
		z	0	0	0	0
$E(TO_3)$	320	x	-0.050	-0.169	-0.642	0.705
		y	0	0	0	0
		z	0	0	0	0
$E(TO_4)$	519	x	0.015	-0.269	0.439	0.596
		y	0	0	0	0
		z	0	0	0	0
$E(LO_1)$	182	x	-0.597	0.728	0.173	0.286
		y	0	0	0	0
		z	0	0	0	0
$E(LO_2)$	308	x	0.062	-0.016	-0.767	0.637
		y	0	0	0	0
		z	0	0	0	0
$E(LO_3)$	462	x	-0.157	-0.040	-0.209	-0.201
		y	0	0	0	0
		z	0	0	0	0
$E(LO_4)$	699	x	-0.159	-0.512	0.518	0.634
		y	0	0	0	0
		z	0	0	0	0
$A_1(TO_1)$	155	x	0	0	0	0
		y	0	0	0	0
		z	-0.222	-0.410	0.784	0.288
$A_1(TO_2)$	193	x	0	0	0	0
		y	0	0	0	0
		z	-0.601	0.733	0.049	0.221
$A_1(TO_3)$	554	x	0	0	0	0
		y	0	0	0	0
		z	-0.006	-0.297	-0.560	0.546

TABELA IV.19 (CONT)

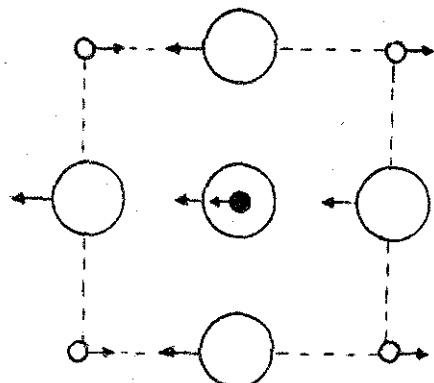
MODO	FREQUÊNCIA	AUTO-VETORES NORMALIZADOS					
		$\hat{L}_x^{(k)}$	1>	2>	3>	4>	5>
$A_1(L_0)_1$	193	x	0	0	0	0	0
		y	0	0	0	0	0
		z	-0.610	0.715	0.084	0.233	0.233
$A_1(L_0)_2$	466	x	0	0	0	0	0
		y	0	0	0	0	0
		z	-0.135	-0.109	0.950	-0.182	-0.182
$A_1(L_0)_3$	729	x	0	0	0	0	0
		y	0	0	0	0	0
		z	-0.142	-0.520	0.144	0.586	0.586
$B_1$	282	x	0	0	0	0	0
		y	0	0	0	0	0
		z	0	0	0	-0.707	0.707



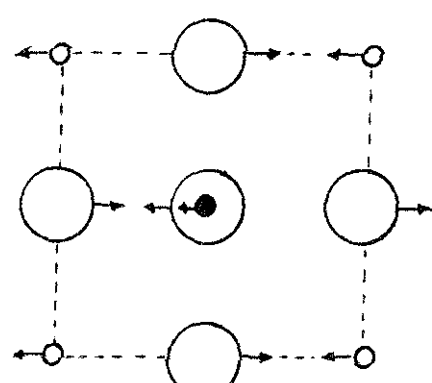
$E(TA)$



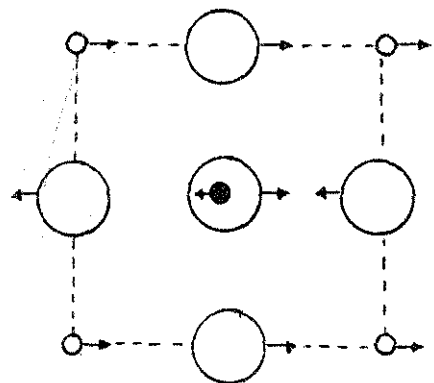
$E(TO_1)$



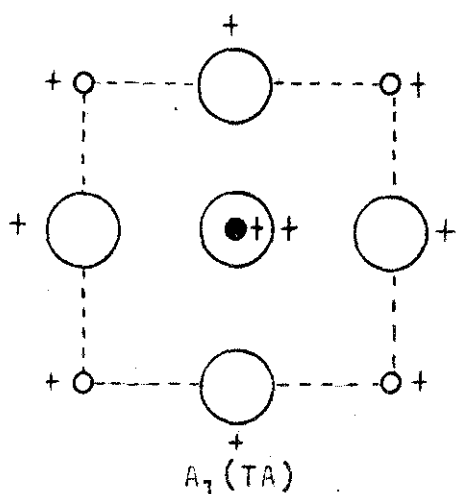
$E(TO_2)$



$E(TO_3)$



$E(TO_4)$



$A_1(TA)$

○ Ba   ● Ti   ○

FIGURA IV.8

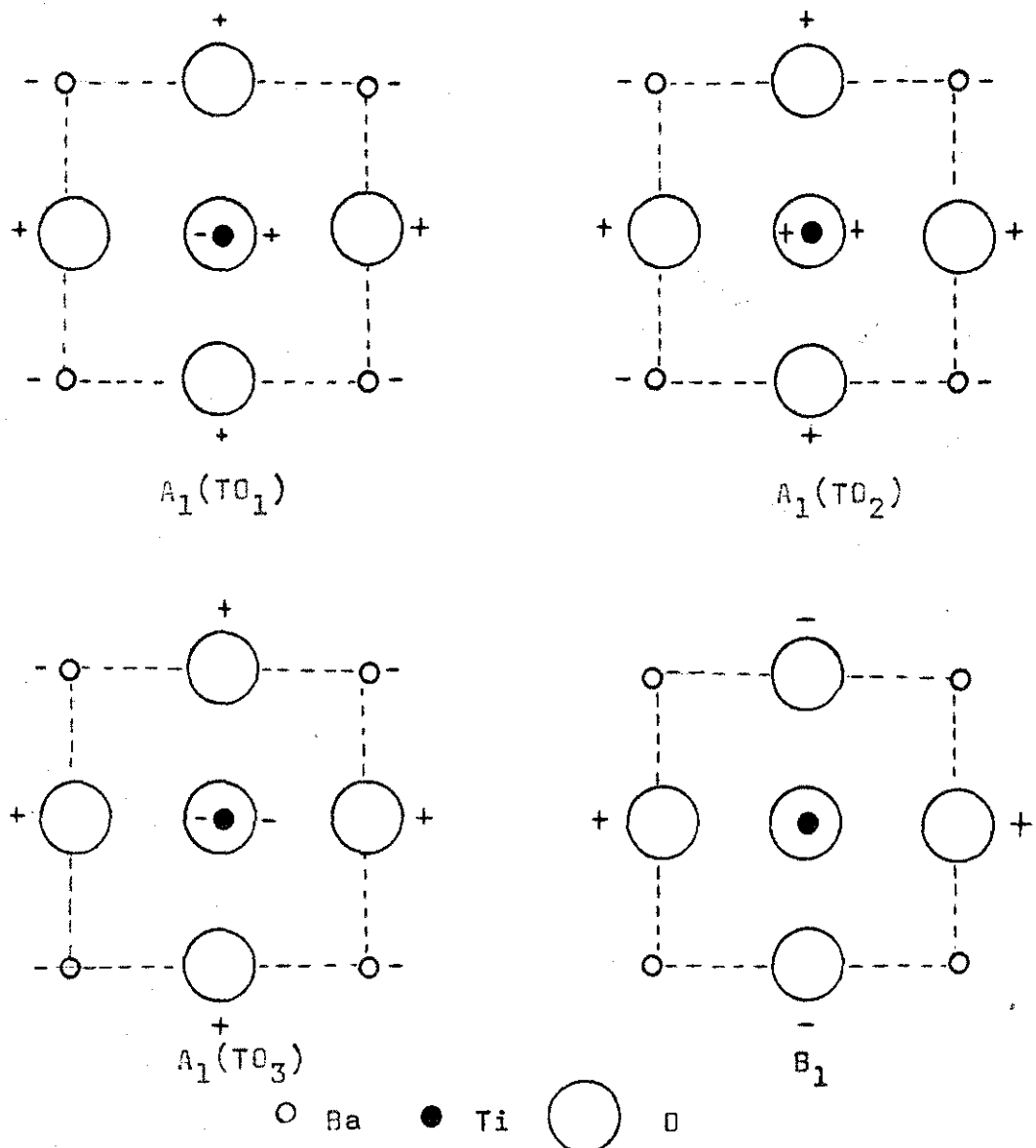


FIGURA IV.9

to do bário no mesmo sentido que os oxigênios.

O modo  $E(T_0)$  do  $PbTiO_3$  é semelhante ao modo proposto por Last<sup>(82)</sup> para explicar a transição cúbica-tetragonal do  $BaTiO_3$ . O modo proposto por Last consiste na vibração do cátion contra o titânio e os oxigênios que se comportam como um corpo rígido.

#### IV.5 - DISPERSÃO OBLÍQUA DE FONONS

Estudos da variação de frequência dos fonons dipolares com a direção do vetor de onda foram realizados por Merten e por Loudon<sup>(83-84)</sup>. De acordo com Loudon a variação da frequência desses fonons com a direção pode ser atribuída às forças de anisotropia e, à forças Coulombianas. Isto significa que a equação secular no formalismo de dinâmica de redes para  $\vec{q} \sim 0$  muda dependendo da direção em que o vetor de onda está aproximando o limite zero. A discussão apresentada por Loudon para um cristal simples (com dois íons na célula primitiva) abriu o ramo de estudos dos "fonons oblíquos". Dois casos foram discutidos em detalhes:  
a) As forças de anisotropia estão dominando as forças eletrostáticas:

$$|\nu(A_{T0}) - \nu(E_{T0})| \gg \nu(A_{L0}) - \nu(A_{T0}) \quad (IV.22)$$

e

$$|\nu(A_{T0}) - \nu(E_{T0})| \gg (\nu(E_{L0}) - \nu(E_{T0})) \quad (IV.23)$$

Neste caso são válidas as relações:

$$\nu^2 = \nu^2(A_{T0})^2 \sin^2\theta + \nu^2(A_{L0}) \cos^2\theta \quad (\text{IV.24})$$

$$\nu^2 = \nu^2(E_{T0}) \cos^2\theta + \nu^2(E_{L0}) \sin^2\theta \quad (\text{IV.25})$$

onde  $\theta$  é o ângulo entre o eixo c e o vetor de onda do fonon.

b) As forças eletrostáticas dominam as forças de anisotropia.

$$|\nu(E_{T0}) - \nu(A_{T0})| \ll \nu(E_{L0}) - \nu(E_{T0}) \quad (\text{IV.26})$$

e

$$|\nu(E_{L0}) - \nu(A_{L0})| \ll \nu(A_{L0}) - \nu(A_{T0}) \quad (\text{IV.27})$$

Neste caso são válidas as relações:

$$\nu^2 = \nu^2(A_{T0}) \sin^2\theta + \nu^2(E_{T0}) \cos^2\theta \quad (\text{IV.28})$$

$$\nu^2 = \nu^2(A_{L0}) \cos^2\theta + \nu^2(E_{L0}) \sin^2\theta \quad (\text{IV.29})$$

As equações mencionadas são válidas para o caso de cristais diatônicos uniaxiais. Vamos verificar a validade das equações mencionadas para o  $\text{PbTiO}_3$  e  $\text{BaTiO}_3$ . Podemos ver na tabela IV.5 que as relações IV.26 e IV.27 são válidas para o caso do  $\text{PbTiO}_3$ , indicando que a diferença entre as frequências dos fonons são pouco afetadas pela anisotropia do cristal. Podemos então utilizar as equações IV.28 e IV.29 para determinar as frequências dos fonons para valores arbitrários do ângulo  $\theta$ . Na tabela IV.20 são mostradas as frequências

dos fonons calculados pelo método de dinâmica de redes ( $\nu_D$ ), pela fórmula de Loudon ( $\nu_L$ ) e valores experimentais ( $\nu_E$ ) para  $\theta = 45^\circ$ .<sup>(24)</sup> As curvas de dispersão oblíqua de fonons para o  $\text{PbTiO}_3$  são mostradas na figura (IV.10). Os pontos indicados nesta figura para  $\theta = 45^\circ$ , indicam valores experimentais das frequências.

Podemos concluir que as fórmulas de Loudon podem ser aplicadas ao  $\text{PbTiO}_3$  com exceção da região em torno de  $300 \text{ cm}^{-1}$  onde existem vários fonons. Podemos notar na figura IV.11 que existe o cruzamento de dois fonons da mesma simetria. Este fato ocorreu porque o modo  $B_1$ , que não tem caráter polar, não apresenta variação de frequência com o ângulo  $\theta$ . As diferenças entre os valores calculados e os valores medidos para  $\theta = 45^\circ$  podem ser atribuídas, como já foi mencionado, ao fato de não estarmos considerando a polarizabilidade dos íons nos cálculos.

O  $\text{BaTiO}_3$  apresenta resultados bastante semelhantes ao  $\text{PbTiO}_3$ . As curvas de dispersão oblíqua de fonons para este cristal são apresentadas na figura IV.11.

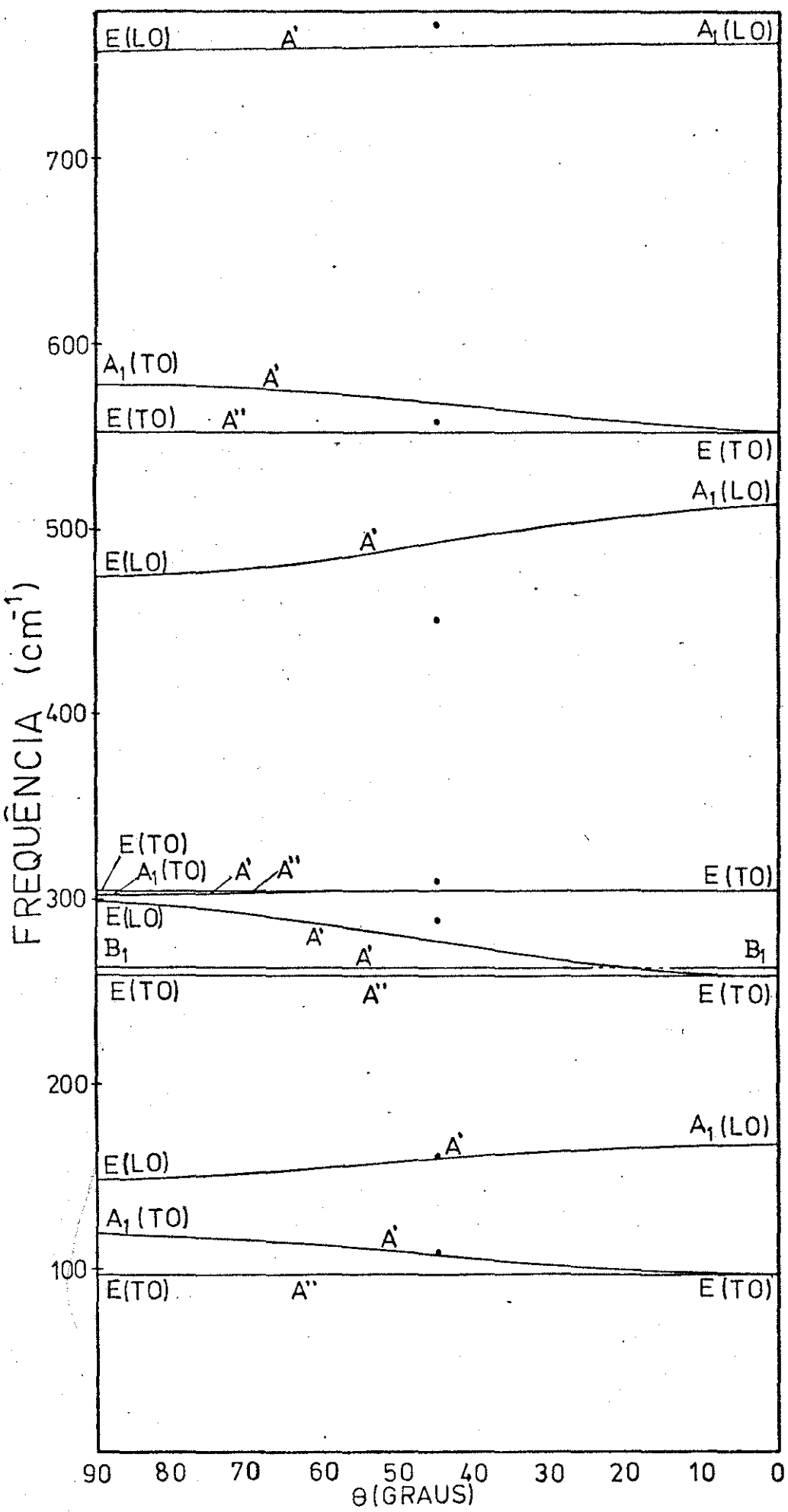


FIGURA IV.10

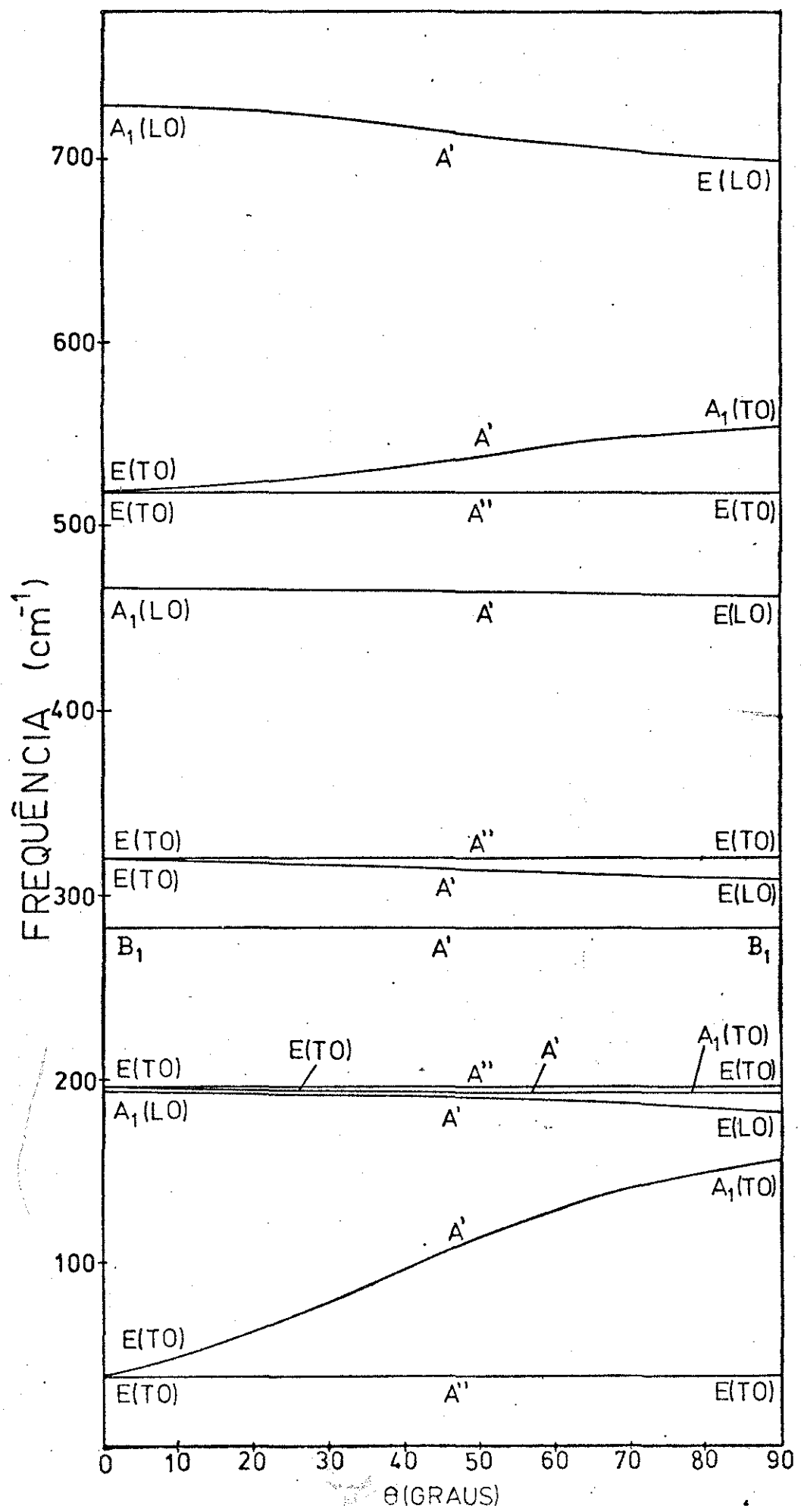


TABELA IV.20

$\theta$	$90^\circ$	$65^\circ$	$45^\circ$	$28^\circ$	$0^\circ$
MODO	$E(T_0)$	$A''$	$A''$	$A''$	$E(T_0)$
$\nu_D$	97.0	97.0	97.0	97.0	97.0
$\nu_L$	-	-	-	-	-
$\nu_E$	-	-	-	-	-
MODO	$A_1(T_0)$	$A'$	$A'$	$A'$	$E(T_0)$
$\nu_D$	119.0	114.0	108.0	101.0	97.0
$\nu_L$	119.0	115.4	109.3	102.2	97.0
$\nu_E$	-	-	109.0	-	-
MODO	$E(L_0)$	$A'$	$A'$	$A'$	$A_1(L_0)$
$\nu_D$	149.0	153.0	158.0	163.0	167.0
$\nu_L$	149.0	152.4	157.6	163.2	167.0
$\nu_E$	-	-	161.0	-	-
MODO	$E(T_0)$	$A''$	$A''$	$A''$	$E(T_0)$
$\nu_D$	259.0	259.0	259.0	259.0	259.0
$\nu_L$	-	-	-	-	-
$\nu_E$	-	-	-	-	-
MODO	$B_1$	$A'$	$A'$	$A'$	$B_1$
$\nu_D$	263.0	263.0	263.0	263.0	263.0
$\nu_L$	-	-	-	-	-
$\nu_E$	-	-	-	-	-
MODO	$E(L_0)$	$A'$	$A'$	$A'$	$E(T_0)$
$\nu_D$	300.0	290.0	278.0	267.0	259.0
$\nu_L$	-	-	-	-	-
$\nu_E$	-	-	289.0	-	-

TABELA IV.20 (CONT)

$\theta$	$90^\circ$	$65^\circ$	$45^\circ$	$28^\circ$	$0^\circ$
MODO	$A_1(T_0)$	$A'$	$A'$	$A'$	$E(T_0)$
$\nu_D$	301.0	304.0	305.0	305.0	305.0
$\nu_L$	301.0	301.7	302.9	304.1	305.0
$\nu_E$	-	-	310.0	-	-
MODO	$E(T_0)$	$A''$	$A''$	$A''$	$E(T_0)$
$\nu_D$	305.0	305.0	305.0	305.0	305.0
$\nu_L$	-	-	-	-	-
$\nu_E$	-	-	-	-	-
MODO	$E(L_0)$	$A'$	$A'$	$A'$	$A_1(L_0)$
$\nu_D$	475.0	481.0	492.0	504.0	514.0
$\nu_L$	475.0	482.2	493.5	505.6	514.0
$\nu_E$	-	-	451.0	-	-
MODO	$E(T_0)$	$A''$	$A''$	$A''$	$E(T_0)$
$\nu_D$	553.0	553.0	553.0	553.0	553.0
$\nu_L$	-	-	-	-	-
$\nu_E$	-	-	-	-	-
MODO	$A_1(T_0)$	$A'$	$A'$	$A'$	$E(T_0)$
$\nu_D$	578.0	575.0	569.0	561.0	553.0
$\nu_L$	578.0	573.6	566.5	558.6	553.0
$\nu_E$	-	-	559.0	-	-
MODO	$E(L_0)$	$A'$	$A'$	$A'$	$A_1(L_0)$
$\nu_D$	758.0	759.0	760.0	762.0	763.0
$\nu_L$	758.0	758.9	760.3	761.9	763.0
$\nu_E$	-	-	773.0	-	-

IV.6 - ESTUDOS DAS PROPRIEDADES ELÁSTICAS E PIEZOELETÉRICAS DO

PbTiO<sub>3</sub> e BaTiO<sub>3</sub>

As constantes elásticas do PbTiO<sub>3</sub> e BaTiO<sub>3</sub> podem ser obtidas através das equações que descrevem a propagação de uma onda acústica em um meio piezoeletétrico (capítulo II, seção 7). Conforme é mencionada naquela seção podemos levar em conta o efeito piezoeletétrico resolvendo somente a equação da onda acústica, considerando as constantes elásticas modificadas pelo tensor piezoeletétrico (equação II.57a). Desta forma o determinante (II.63) pode ser escrito como:

$$\det \begin{bmatrix} (c'_{1111} - \rho \frac{\nu^2}{q^2}) & c'_{1112} & c'_{1113} \\ c'_{1211} & (c'_{1212} - \rho \frac{\nu^2}{q^2}) & c'_{1213} \\ c'_{1311} & c'_{1312} & (c'_{1313} - \rho \frac{\nu^2}{q^2}) \end{bmatrix} = 0 \quad (\text{IV.30})$$

onde  $c'_{1ilk} = c_{1ilk} + \frac{e_{1li} e_{1lk}}{\epsilon_{11}}$  (IV.31)

e  $\nu$  é a frequência medida em Hz. A equação IV.30 é válida para ondas com vetor  $\vec{q}$  na direção [1 0 0] (seção II.7). Os índices 1, 2, 3 se referem à base ortogonal  $\hat{x}_1, \hat{x}_2, \hat{x}_3$ .

O tensor  $e_{ijk}$  é simétrico sobre os dois últimos índices

ces, isto é,  $\epsilon_{ijk} = \epsilon_{ikj}$ . Este fato permite que a notação matricial seja usada para este tensor. Para cristais de simetria  $C_{4v}$  essa matriz tem a seguinte forma (57):

$$\begin{bmatrix} 0 & 0 & 0 & \epsilon_{15} & 0 \\ 0 & 0 & \epsilon_{15} & 0 & 0 \\ \epsilon_{31} & \epsilon_{31} & \epsilon_{33} & 0 & 0 \end{bmatrix} \quad (\text{IV.32})$$

A matriz de constantes elásticas e a matriz dielétrica são dadas por:

$$\begin{bmatrix} c_{11} & c_{12} & c_{13} & 0 & 0 & 0 \\ c_{12} & c_{11} & c_{13} & 0 & 0 & 0 \\ c_{13} & c_{13} & c_{33} & 0 & 0 & 0 \\ 0 & 0 & 0 & c_{44} & 0 & 0 \\ 0 & 0 & 0 & 0 & c_{44} & 0 \\ 0 & 0 & 0 & 0 & 0 & c_{66} \end{bmatrix} \quad (\text{IV.33})$$

$$\begin{bmatrix} \epsilon_{11} & 0 & 0 \\ 0 & \epsilon_{11} & 0 \\ 0 & 0 & \epsilon_{33} \end{bmatrix} \quad (\text{IV.34})$$

Os  $e_{mh}$ , que também recebem o nome de constantes piezoeletricas se relacionam aos módulos piezoeletricos  $d_{mh}$  através da relação<sup>(57)</sup>:

$$e_{mh} = \sum_i^6 d_{mi} c_{ih} \quad (\text{IV.35})$$

Consideremos a solução da equação (IV.30) para diversas direções de propagação da onda acústica:

a)  $\vec{q} = \left[ \frac{q_x}{a}, 0, 0 \right]$

Neste caso, considerando a forma das matrizes de constantes elásticas e da matriz de constantes piezoeletricas podemos escrever a equação IV.30 da seguinte forma:

$$\det \begin{bmatrix} (c_{11} - \rho \frac{\nu^2}{q^2}) \\ c_{66} - \rho \frac{\nu^2}{q^2} \\ (c_{44} + \frac{e_{15}^2}{\epsilon_{11}} - \rho \nu^2) \end{bmatrix} = 0 \quad (\text{IV.36})$$

De IV.34) obtemos as equações:

$$c_{11} = \rho \frac{\nu_{TA}^2(x)}{q^2} \quad (\text{IV.37a})$$

$$c_{66} = \rho \frac{\nu_{TA}^2(y)}{q^2} \quad (\text{IV.37b})$$

$$c_{44} + \frac{e_{15}^2}{\epsilon_{11}} = \rho \frac{\nu_{TA}^2(z)}{q^2} \quad (\text{IV.37c})$$

$$b) \vec{q} = \left[ 0, 0, \frac{q_z}{c} \right]$$

Neste caso, para utilizarmos a equação (IV.30) diretamente devemos transformar as quantidades tensoriais que aparecem na mesma equação, para que elas representem uma onda se propagando na direção mencionada acima. Tal transformação é dada pelas seguintes equações:

$$\bar{c}_{ijkl} = \sum a_{im} a_{jn} a_{kp} a_{lq} c'_{mnpq} \quad (IV.38a)$$

$$\bar{e}_{ijk} = \sum a_{im} a_{in} a_{kp} e_{mnp} \quad (IV.38b)$$

$$\bar{\epsilon}_{ij} = \sum a_{im} a_{in} \epsilon_{mn} \quad (IV.38c)$$

onde os  $a_{ij}$  são os cossenos diretores que relacionam o sistema de coordenadas original ao novo sistema de coordenadas. Para a direção de propagação mencionada, os  $a_{ij}$  formam a seguinte matriz:

$$A = \begin{bmatrix} 0 & 0 & -1 \\ 0 & 1 & 0 \\ 1 & 0 & 0 \end{bmatrix} \quad (IV.39)$$

A equação (IV.30) para ondas se propagando na direção  $\left[ 0, 0, \frac{q_z}{c} \right]$  pode ser escrita como

$$\det \begin{bmatrix} (c_{33} + \frac{e_{33}^2}{\epsilon_{33}} - \rho \frac{\nu^2}{q^2}) & 0 & 0 \\ 0 & (c_{44} - \rho \frac{\nu^2}{q^2}) & 0 \\ 0 & 0 & (c_{44} - \rho \frac{\nu^2}{q^2}) \end{bmatrix} = 0 \quad (\text{IV.40})$$

que fornece as relações:

$$c_{33} + \frac{e_{33}^2}{\epsilon_{33}} = \rho \frac{\nu^2 L_A(z)}{q^2} \quad (\text{IV.41a})$$

$$c_{44} = \rho \frac{\nu^2 T_A(x)}{q^2} \quad (\text{IV.41b})$$

c)  $\vec{g} = \left[ \frac{q_x}{a}, \frac{q_x}{a}, 0 \right]$

A matriz  $A$  neste caso é dada por

$$A = \begin{bmatrix} \frac{\sqrt{2}}{2} & \frac{\sqrt{2}}{2} & 0 \\ -\frac{\sqrt{2}}{2} & \frac{\sqrt{2}}{2} & 0 \\ 0 & 0 & 1 \end{bmatrix} \quad (\text{IV.42})$$

e a equação (IV.30) sofre a seguinte transformação

$$\det \begin{bmatrix} m_{11} - \rho \frac{\nu^2}{q^2} & 0 & 0 \\ 0 & m_{22} - \rho \frac{\nu^2}{q^2} & 0 \\ 0 & 0 & m_{33} - \rho \frac{\nu^2}{q^2} \end{bmatrix} = 0 \quad (\text{IV.43})$$

onde  $M_{11} = \frac{1}{2}(c_{11} + c_{12}) + c_{66}$

$$M_{22} = \frac{1}{2}(c_{11} - c_{12})$$

$$M_{33} = c_{44} + \frac{e_{15}^2}{e_{11}}$$

Da equação (IV.43) obtemos:

$$c_{66} + \frac{1}{2}(c_{11} + c_{12}) = \rho v_{LA}^2(x+y) / q^2 \quad (\text{IV.44a})$$

$$\frac{1}{2}(c_{11} - c_{12}) = \rho v_{TA}^2(x-y) / q^2 \quad (\text{IV.44b})$$

$$c_{44} + \frac{e_{15}^2}{e_{11}} = \rho v_{TA}^2(z) / q^2 \quad (\text{IV.44c})$$

d)  $\vec{q} = \left[ \frac{q_x}{a}, 0, \frac{q_z}{c} \right]$

A matriz  $\mathbf{A}$  para esta direção de propagação é dada por:

$$\mathbf{A} = \begin{bmatrix} \cos \theta & 0 & -\sin \theta \\ 0 & 1 & 0 \\ \sin \theta & 0 & \cos \theta \end{bmatrix} \quad (\text{IV.45})$$

onde  $\cos \theta$  e  $\sin \theta$  são dados pelas expressões:

$$\cos \theta = \frac{q_x / a}{\sqrt{\left(\frac{q_x}{a}\right)^2 + \left(\frac{q_z}{c}\right)^2}} = C_\theta \quad (\text{IV.46a})$$

$$\sin \theta = \frac{q_z / c}{\sqrt{\left(\frac{q_x}{a}\right)^2 + \left(\frac{q_z}{c}\right)^2}} = S_\theta \quad (\text{IV.46b})$$

A equação (IV.30) para ondas se propagando na direção

$\left[ \frac{q_x}{a}, 0, \frac{q_z}{c} \right]$  pode ser escrita como:

$$\det \begin{bmatrix} M_{11} - \rho \frac{v^2}{q^2} & 0 & M_{13} \\ 0 & M_{22} - \rho \frac{v^2}{q^2} & 0 \\ M_{13} & 0 & M_{33} - \rho \frac{v^2}{q^2} \end{bmatrix} \quad (\text{IV.47})$$

onde

$$M_{11} = C_0^4 c_{11} + S_0^4 c_{33} + C_0^2 S_0^2 [2c_{13} + 4c_{44}] + \frac{1}{\epsilon} [S_0^3 e_{33} + C_0^2 S_0 (2e_{15} + e_{31})]^2 \quad (\text{IV.48a})$$

$$M_{13} = C_0^3 S_0 (c_{11} - c_{13} - 2c_{44}) + C_0 S_0^3 (c_{13} - c_{33} + 2c_{44}) - \frac{1}{\epsilon} \left\{ [C_0^3 e_{15} + C_0 S_0^2 (e_{33} - e_{15} - e_{31})] [C_0^2 S_0 (2e_{15} + e_{31}) + S_0^3 e_{33}] \right\} \quad (\text{IV.48b})$$

$$M_{33} = C_0^2 S_0^2 (c_{11} - 2c_{13} - 2c_{44} + c_{33}) + C_0^4 c_{44} + S_0^4 c_{44} + \frac{1}{\epsilon} [C_0^3 e_{15} + C_0 S_0^2 (e_{33} - e_{15} - e_{31})]^2 \quad (\text{IV.48c})$$

$$M_{22} = C_0^2 c_{66} + S_0^2 c_{44} \quad (\text{IV.48d})$$

$$\epsilon = C_0^2 \epsilon_{11} + S_0^2 \epsilon_{33} \quad (\text{IV.48e})$$

Da equação (IV.47) podemos obter:

$$\det \begin{bmatrix} M_{11} - \rho \frac{\nu^2}{q^2} & M_{13} \\ M_{13} & M_{33} - \rho \frac{\nu^2}{q^2} \end{bmatrix} = 0 \quad (\text{IV.49a})$$

$$c_s^2 c_{66} + s_s^2 c_{44} = \rho \nu_{TA}^2(y) / q^2 \quad (\text{IV.49a})$$

Expandindo o determinante (IV.49a) obtemos:

$$\nu_{\pm}^2 = \frac{1}{2}(M_{11} + M_{33}) \frac{q^2}{\rho^2} \pm \frac{q^2}{\rho^2} \sqrt{(M_{11} + M_{33})^2 - 4(M_{11}M_{33} - M_{13}^2)} \quad (\text{IV.50})$$

onde  $\nu_+ = \nu_{LA}(xz)$  e  $\nu_- = \nu_{TA}(xz)$

Uma vez obtidas as equações que descrevem a propagação da onda acústica podemos calcular as constantes elásticas e piezoeletricas do  $PbTiO_3$  e  $BaTiO_3$ . Consideremos em primeiro lugar o  $PbTiO_3$ . Conforme foi mencionado na introdução geral, as medidas das constantes elásticas e piezoeletricas do  $PbTiO_3$  foram realizadas em amostras policristalinas. As medidas realizadas por Ikegami et al<sup>(29)</sup> são apresentadas na tabela IV.21.

A única medida de constante dielétrica estática do  $PbTiO_3$  em monocrystal foi realizada por Bhide et al<sup>(32)</sup>, fornecendo o valor  $\epsilon_{33} = 30$ . Silberman e Frey<sup>(24)</sup>, através da reação LST obtém os valores:

$$\epsilon_{11} = 125.6$$

$$\epsilon_{33} = 30.4$$

TABELA IV.21

CONSTANTES ELÁSTICAS ( $10^{11} \text{ N/m}^2$ )

$$c_{11} = 1.433$$

$$c_{12} = 0.322$$

$$c_{13} = 0.241$$

$$c_{33} = 1.316$$

$$c_{44} = 0.558$$

$$c_{66} = 0.556$$

MÓDULOS PIEZOEELÉTRICOS ( $10^{-12} \text{ C/N}$ )

$$d_{15} = 53.0$$

$$d_{31} = -4.4$$

$$d_{33} = 51.0$$

$$\frac{\epsilon_{11}}{\epsilon_0} = 230 \quad \frac{\epsilon_{33}}{\epsilon_0} = 170$$

O cálculo das constantes elásticas e piezoelétricas do PbTiO<sub>3</sub> foi feito considerando-se as frequências calculadas dos modos acústicos para cada uma das direções especificadas. O valor de  $q_x$  foi fixado em 0.05 . Para ondas se propagando na direção  $[0, 0, \frac{q_z}{c}]$  foi fixado o valor  $q_z = 0.05$  . Para ondas se propagando ao longo da direção  $[\frac{q_x}{a}, 0, \frac{q_z}{c}]$  foram consideradas propagações com três valores do ângulo  $\theta$  (equações IV.46a e IV.46b), e saber:  $\theta = 30^\circ$ ,  $\theta = 45^\circ$ ,  $\theta = 60^\circ$ . O valor de  $q_x$  foi fixado em 0.05, sendo o valor de  $q_z$  calculado à partir das equações IV.46a e IV.46b . Os valores das frequências dos modos acústicos (THz) para as direções consideradas são dados na tabela IV.22 .

Várias das equações mencionadas fornecem as mesmas constantes elásticas e piezoelétricas, considerando frequências acústicas de diferentes direções. Os cálculos mostram que as equações são compatíveis, indicando que a energia potencial do cristal é mínima na posição de equilíbrio dos íons. As constantes elásticas  $c_{11}$ ,  $c_{66}$ ,  $c_{44}$ ,  $c_{12}$  podem ser obtidas das equações IV.37a, IV.37b, IV.41b, IV.44b. As constantes elásticas  $c_{13}$  e  $c_{33}$ , as constantes piezoelétricas  $e_{15}$ ,  $e_{31}$ ,  $e_{33}$  e as constantes dielétricas  $\epsilon_{11}$ ,  $\epsilon_{33}$  foram obtidas através das equações IV.37c, IV.41a e IV.50 (com  $\theta = 30^\circ$ ,  $45^\circ$  e  $60^\circ$ ) ajustando as frequências dos modos acústicos dessas direções. Os resultados pre-

TABELA IV.22

$\vec{q}$	FREQUÊNCIA( $10^{12} \text{ Hz}$ )
$\begin{bmatrix} \frac{q_x}{a} & 0 & 0 \end{bmatrix}$	$\nu_{LA}(x) = 0.52321$ $\nu_{TA}(y) = 0.43733$ $\nu_{TA}(z) = 0.44563$
$\begin{bmatrix} 0 & 0 & \frac{q_z}{c} \end{bmatrix}$	$\nu_{LA}(z) = 0.46226$ $\nu_{TA}(x) = 0.38244$
$\begin{bmatrix} \frac{q_x}{a} & \frac{q_x}{a} & 0 \end{bmatrix}$	$\nu_{TA}(xy) = 0.31509$
$\begin{bmatrix} \frac{q_x}{a} & 0 & \frac{q_z}{c} \end{bmatrix}$	$\nu_{LA}(xz) = 0.73635$ $\nu_{TA}(xz) = 0.27875$
	$\nu_{LA}(xz) = 0.91901$ $\nu_{TA}(xz) = 0.21975$
	$\nu_{LA}(xz) = 1.2139$ $\nu_{TA}(xz) = 0.38658$

liminares mostraram uma grande correlação entre  $\epsilon_{33}$ ,  $\epsilon_{31}$ ,  $\epsilon_{11}$  e  $\epsilon_{33}$ . Este fato ocorreu porque o produto dessas constantes aparece na equação geral IV.31 como uma pequena correção nas constantes elásticas. Por essa razão os valores experimentais de  $\epsilon_{33}$ ,  $\epsilon_{11}$  e  $\epsilon_{33}$  foram mantidos fixos durante o ajuste das frequências. O valor de  $\epsilon_{33}$  foi obtido à partir do artigo de Bhide et al<sup>(32)</sup>, o valor de  $\epsilon_{11}$  foi obtido do artigo de Silberman<sup>(24)</sup>. Conseguimos um excelente ajuste das frequências e os parâmetros obtidos são mostrados na tabela IV.23. Os valores entre parenteses nessa tabela indicam os valores de monocrystal citados. Existe uma concordância razoável entre os valores calculados e medidos de  $c_{11}$ ,  $c_{33}$  e  $d_{15}$ . As diferenças entre as outras quantidades medidas e calculadas podem ser atribuídas ao fato das medidas terem sido realizadas em amostras policristalinas. Podemos ver esta diferença comparando os valores fornecidos por Ikegami et al<sup>(29)</sup> para  $\epsilon_{11}$  e  $\epsilon_{33}$ , e os valores fornecidos por Bhide et al<sup>(32)</sup> e Silberman e Frey<sup>(24)</sup>.

Consideremos agora a aplicação do formalismo ao BaTiO<sub>3</sub>. As frequências dos modos acústicos deste cristal são apresentados na tabela IV.24. Os valores das constantes elásticas e piezoeletricas do BaTiO<sub>3</sub> são mostrados na tabela IV.25<sup>(85)</sup>. Estas propriedades foram medidas mantendo uma polarização de 10 KV/cm e segundo os autores mesmo com esta polarização o cristal possuia

TABELA IV.23

$c_{ij}$	VALOR MEDIDO	VALOR CALCULADO
	$c_{ij} (10^{11} \text{ N/m}^2)$	$c_{ij} (10^{11} \text{ N/m}^2)$
$c_{11}$	1.433	1.327
$c_{12}$	0.322	0.846
$c_{13}$	0.241	0.891
$c_{33}$	1.316	0.934
$c_{44}$	0.558	0.801
$c_{66}$	0.556	0.927
$d_{ij}$	$d_{ij} (10^{-12} \text{ c/N})$	$d_{ij} (10^{-12} \text{ c/N})$
$d_{15}$	53.0	45.521
$d_{31}$	-4.4	-15.070
$d_{33}$	51.0	51.000 (fixo)
$\epsilon_{ij}/\epsilon_0$	$\epsilon_{ij}/\epsilon_0$	$\epsilon_{ij}/\epsilon_0$
$\epsilon_{11}/\epsilon_0$	230 ( 125.6 )	125.6 (fixo)
$\epsilon_{33}/\epsilon_0$	170 ( 30.0 )	30.0 (fixo)

TABELA IV.24

$\vec{q}$	FREQUÊNCIA ( $10^{12} \text{ Hz}$ )
$\begin{bmatrix} \frac{q_x}{a} & 0 & 0 \end{bmatrix}$	$\nu_{LA}(x) = 0.63448$ $\nu_{TA}(y) = 0.54801$ $\nu_{TA}(z) = 0.51262$
$\begin{bmatrix} 0 & 0 & \frac{q_z}{c} \end{bmatrix}$	$\nu_{LA}(z) = 0.64745$ $\nu_{TA}(x) = 0.43521$
$\begin{bmatrix} \frac{q_x}{a} & \frac{q_x}{a} & 0 \end{bmatrix}$	$\nu_{TA}(xy) = 0.31909$
$\begin{bmatrix} \frac{q_x}{a} & 0 & \frac{q_z}{c} \end{bmatrix}$	$\nu_{LA}(xz) = 0.86265$ $\nu_{TA}(xz) = 0.37139$ $\nu_{LA}(xz) = 1.0857$ $\nu_{TA}(xz) = 0.36489$ $\nu_{LA}(xz) = 1.4057$ $\nu_{TA}(xz) = 0.58957$

TABELA IV.25

CONSTANTES ELÁSTICAS ( $10^{11} \text{N/m}^2$ )

$$c_{11} = 2.751$$

$$c_{12} = 1.789$$

$$c_{13} = 1.515$$

$$c_{33} = 1.648$$

$$c_{44} = 0.543$$

$$c_{66} = 1.131$$

MÓDULOS PIEZOEELÉTRICOS ( $10^{-12} \text{c/N}$ )

$$d_{15} = 392.0$$

$$d_{31} = -34.5$$

$$d_{33} = 85.6$$

$$\frac{\epsilon_{11}}{\epsilon_0} = 1970 \quad \frac{\epsilon_{33}}{\epsilon_0} = 109$$

multidominios. Este fato pode explicar as diferenças entre as constantes elásticas medidas e calculadas, que são mostradas na tabela IV.26. Os valores entre parênteses nessa tabela referem-se aos valores fornecidos por Devonshire<sup>(85,86)</sup>. Podemos observar que as constantes elásticas calculadas neste trabalho concordam com as constantes elásticas calculadas por Devonshire, com exceção de  $c_{44}$ .

Finalmente devemos mencionar que as equações obtidas nesta seção se reduzem, colocando-se o valor do tensor piezoeletrico igual a zero nas equações obtidas à partir da equação III.49.

TABELA IV.26

	VALOR MEDIDO	VALOR CALCULADO
$c_{ij}$	$c_{ij} (10^{11} \text{ N/m}^2)$	$c_{ij} (10^{11} \text{ N/m}^2)$
$c_{11}$	2.751 (1.618)	1.544
$c_{12}$	1.789 (0.818)	1.154
$c_{13}$	1.515 (0.861)	0.973
$c_{33}$	1.648 (1.039)	1.399
$c_{44}$	0.543 (0.185)	0.743
$c_{66}$	1.131 (1.234)	1.152
$d_{ij}$	$d_{ij} (10^{-12} \text{ c/N})$	$d_{ij} (10^{-12} \text{ c/N})$
$d_{15}$	392.0 (1160)	286.110
$d_{31}$	-34.5 (-63)	-36.915
$d_{33}$	85.6 (165)	85.600
$\epsilon_{ij}/\epsilon_0$	$\epsilon_{ij}/\epsilon_0$	$\epsilon_{ij}/\epsilon_0$
$\epsilon_{11}/\epsilon_0$	1970 (600)	1970
$\epsilon_{33}/\epsilon_0$	109 (90)	109

## CAPÍTULO V

### CONCLUSÕES

O formalismo de dinâmica de redes, utilizando o modelo do íon rígido devido a Born e Huang, foi aplicado pela primeira vez aos cristais ferroelétricos de  $PbTiO_3$  e  $BaTiO_3$ , ambos na fase tetragonal. Um ajuste bastante razoável entre as frequências observadas e as frequências calculadas foi obtido. As diferenças, quando existentes podem ser atribuídas ao fato de negligenciarmos as polarizabilidades iônicas no modelo. Os parâmetros obtidos são todos fisicamente aceitáveis. Melhoramentos nos cálculos podem ser obtidos introduzindo as polarizabilidades iônicas da maneira descrita pelo modelo de conchas<sup>( 39 )</sup> ou pelo modelo de deformação de dipolos<sup>( 87 )</sup>, porém, a sua aplicação prática pode ser dificultada pelo grande número de parâmetros desconhecidos. Ainda mais, desde que as contribuições das polarizabilidades poderiam afetar todas as frequências bem como os parâmetros do modelo do íon rígido, pode não ser possível fixar os parâmetros do modelo do íon rígido enquanto calculamos os outros parâmetros. O modelo de conchas mencionado acima foi aplicado para estudar a dinâmica do  $SrTiO_3$  na fase cúbica, por Cowley<sup>( 48 )</sup> e posteriormente por Stirling<sup>( 88 )</sup>. Embora esses autores tenham obtido um bom ajuste dos vários ramos de fonons, alguns dos pa-

râmetros obtidos não tem significado físico. A possibilidade de tais resultados não pode ser ignorada ao ser utilizado o modelo de conchas no estudo do  $PbTiO_3$  e  $BaTiO_3$ . Portanto um novo método precisa ser proposto para incluir a polarizabilidade dos íons no problema dinâmico, para melhorar o modelo do íon rígido.

Os resultados de teoria de grupos juntamente com os auto-vetores calculados através do modelo do íon rígido foram utilizados para representar os modos de vibração do centro da zona de Brillouin. É interessante notar que os movimentos iônicos do modo E com frequência  $97\text{ cm}^{-1}$  no  $PbTiO_3$  é equivalente ao modo de menor frequência descrito por Last<sup>(82)</sup> para a fase cúbica do  $BaTiO_3$  e é diferente daquele previsto por Slater<sup>(81)</sup>. Entretanto, no  $BaTiO_3$  o modo de menor frequência é semelhante ao modo descrito por Slater e difere da predição de Last.

Os resultados do modelo do íon rígido foram utilizados para calcular a dispersão oblíqua de fonons, sendo que os resultados concordam com as observações experimentais. Na região de frequência onde existem um ou dois fonons isolados, a dispersão oblíqua de fonons está em excelente concordância com a teoria de Loudon<sup>(84)</sup> para cristais diatômicos. Curvas de dispersão de fonons para várias direções de  $\vec{q}$  estão em boa concordância com os experimentos de espalhamento inelástico de neutrons, sugerindo que as forças de polarizabilidades podem ser pequenas.

O presente modelo foi também utilizado para computar as propriedades elásticas e piezoeletricas do  $PbTiO_3$  e  $BaTiO_3$ . Para a realização destes cálculos foi necessário utilizar as constantes dieletricas de baixa frequência como dados. Algumas das constantes elásticas calculadas correspondem a cerca de 40% dos valores observados. Conforme foi mencionado as forças de polarizabilidade não podem ser responsáveis por estes grandes diferenças. Uma análise da literatura mostra que existem grandes diferenças entre as medidas feitas em monocrystalais e em polícrystalais. Não foram realizadas medidas de constantes elásticas e piezoeletricas em amostras monocristalinas de  $PbTiO_3$  e, portanto a comparação dos valores calculados e das medidas em polícrystalais pode não ter muito significado. No caso do  $BaTiO_3$  as medidas das propriedades elásticas e piezoeletricas foram realizadas sob campos de 10 KV/cm e de acordo com os autores (85) mesmo sob este campo o cristal possuia multidomínios. Portanto, sugerimos que novas medidas das propriedades elásticas e piezoeletricas sejam efetuadas em amostras monocristalinas de  $PbTiO_3$  e  $BaTiO_3$ . Em geral, os cálculos de constantes elásticas apresentados com exceção de  $c_{44}$ , concordaram com os cálculos de Devonshire (86).

Finalmente, uma análise de mínimos quadrados das frequências próximas à temperatura de transição no  $PbTiO_3$  foi efetuada.

Uma concordância razoável entre as frequências observadas e calculadas foi obtida. As variações com a temperatura obtidas nos parâmetros são pequenas , como no caso das variações obtidas por Cowley no  $\text{SrTiO}_3$ . De acordo com esse autor as contribuições anharmônicas são suficientes para explicar as variações nos parâmetros.

APÊNDICE I

a) Matrizes dos operadores  $O(\gamma)$  para o grupo espacial  $C_{4v}^1$

$$E : \begin{bmatrix} 1 & 0 & 0 \\ 0 & 1 & 0 \\ 0 & 0 & 1 \end{bmatrix} \quad C_4^z : \begin{bmatrix} 0 & -1 & 0 \\ 1 & 0 & 0 \\ 0 & 0 & 1 \end{bmatrix}$$

$$C_2^z : \begin{bmatrix} -1 & 0 & 0 \\ 0 & -1 & 0 \\ 0 & 0 & 1 \end{bmatrix} \quad C_4^{3z} : \begin{bmatrix} 0 & 1 & 0 \\ -1 & 0 & 0 \\ 0 & 0 & 1 \end{bmatrix}$$

$$\sigma^{xy} : \begin{bmatrix} 0 & -1 & 0 \\ -1 & 0 & 0 \\ 0 & 0 & 1 \end{bmatrix} \quad \sigma^{\bar{xy}} : \begin{bmatrix} 0 & 1 & 0 \\ 1 & 0 & 0 \\ 0 & 0 & 1 \end{bmatrix}$$

$$\sigma^x : \begin{bmatrix} -1 & 0 & 0 \\ 0 & 1 & 0 \\ 0 & 0 & 1 \end{bmatrix} \quad \sigma^y : \begin{bmatrix} 1 & 0 & 0 \\ 0 & -1 & 0 \\ 0 & 0 & 1 \end{bmatrix}$$

b) Matrizes das representações irreduutíveis do grupo espacial  $C_{4v}$

	$E$	$C_4$	$C_4^{3z}$	$C_2$	$\sigma^x$	$\sigma^y$	$\sigma^{xy}$	$\sigma^{\bar{xy}}$
$A_1$	1	1	1	1	1	1	1	1
$A_2$	1	1	1	1	-1	-1	-1	-1
$B_1$	1	-1	-1	1	1	1	-1	-1
$B_2$	1	-1	-1	1	-1	-1	1	1
$E$	$\begin{bmatrix} 1 & 0 \\ 0 & 1 \end{bmatrix}$	$\begin{bmatrix} 0 & -1 \\ 1 & 0 \end{bmatrix}$	$\begin{bmatrix} 0 & 1 \\ -1 & 0 \end{bmatrix}$	$\begin{bmatrix} -1 & 0 \\ 0 & -1 \end{bmatrix}$	$\begin{bmatrix} 1 & 0 \\ 0 & -1 \end{bmatrix}$	$\begin{bmatrix} -1 & 0 \\ 0 & 1 \end{bmatrix}$	$\begin{bmatrix} 0 & -1 \\ -1 & 0 \end{bmatrix}$	$\begin{bmatrix} 0 & 1 \\ 1 & 0 \end{bmatrix}$

c) Tablas de Caracteres

$C_{4v}$	E	$C_4$	$C_4^3$	$C_2$	$\sigma^x$	$\sigma^y$	$\sigma^{xy}$	$\bar{\sigma}^{xy}$	
$A_1$	1	1	1	1	1	1	1	1	z
$A_2$	1	1	1	1	-1	-1	-1	-1	
$B_1$	1	-1	-1	1	1	1	-1	-1	
$B_2$	1	-1	-1	1	-1	-1	-1	1	
E	2	0	0	-2	0	0	0	0	x, y

$C_{2v}$	E	$C_2$	$\sigma^x$	$\sigma^y$	
$A_1$	1	1	1	1	z
$A_2$	1	1	-1	-1	
$B_1$	1	-1	-1	1	y
$B_2$	1	-1	1	-1	x

$C_s$	E	$\sigma$
$A'$	1	1
$A''$	1	-1

d) Permutação dos átomos

$\delta_{IK}$	E	$C_4$	$C_4^3$	$C_2$	$\sigma^x$	$\sigma^y$	$\sigma^{xy}$	$\sigma^{\bar{xy}}$
1>	1	1	1	1	1	1	1	1
2>	2	2	2	2	2	2	2	2
3>	3	3	3	3	3	3	3	3
4>	4	5	5	4	4	4	5	5
5>	5	4	4	5	5	5	4	4

f) Caracteres de  $S_c$

$C_{4v}$	E	$C_4$	$C_4^3$	$C_2$	$\sigma^x$	$\sigma^y$	$\sigma^{xy}$	$\sigma^{\bar{xy}}$
$s_{pb}$	1	1	1	1	1	1	1	1
$s_{Ti}$	1	1	1	1	1	1	1	1
$s_0$	3	0	0	3	3	3	0	0

$C_{2v}$	E	$C_2$	$\sigma^x$	$\sigma^y$
$s_{pb}$	1	1	1	1
$s_{Ti}$	1	-1	1	-1
$s_0$	3	-1	3	-1

$C_s$	E	$\sigma^y$
$S_{Pb}$	1	1
$S_{Ti}$	1	-1
$S_0$	3	-1

$C_s$	E	$\sigma^x$
$S_{Pb}$	1	1
$S_{Ti}$	1	1
$S_0$	3	3

$C_s$	E	$\bar{\sigma}^{xy}$
$S_{Pb}$	1	1
$S_{Ti}$	1	1
$S_0$	3	1

$C_{4v}$	E	$C_4$	$C_4^3$	$C_2$	$\sigma^x$	$\sigma^y$	$\sigma^{xy}$	$\bar{\sigma}^{xy}$
$S_{Pb}$	1	1	1	1	1	1	1	1
$S_{Ti}$	1	-1	-1	1	-1	-1	1	1
$S_0$	3	-1	-1	-1	-1	-1	1	1

## APÊNDICE II

### TÉCNICAS COMPUTACIONAIS PARA O PROBLEMA DE MÍNIMOS QUADRADOS NÃO LINEAR

Consideremos a expansão de Taylor de uma função  $F_i(p)$ , até primeira ordem nos parâmetros:

$$F_i(p) = F_i^0(p) + \sum_{j=1}^n \left( \frac{\partial F_i^0(p)}{\partial p_j} \right) \delta p_j \quad (01)$$

O resultado é uma função que é linear nos incrementos dos parâmetros  $\delta p_j$ , à qual nós podemos aplicar o seguinte método de mínimos quadrados:

$$\frac{\partial F_i^0(p)}{\partial p_j} \approx \frac{F_i^0(p_j + \Delta p_j) - F_i^0(p_j - \Delta p_j)}{2 \Delta p_j} \quad (02)$$

Nesta aproximação,  $\chi^2$  pode ser expresso explicitamente como uma função do incremento do parâmetro  $\delta p_j$ :

$$\chi^2 = \sum_i \frac{1}{\sigma_i^2} \left\{ F_i - F_i^0(p) - \sum_{j=1}^n \left[ \frac{\partial F_i^0(p)}{\partial p_j} \delta p_j \right] \right\}^2 \quad (03)$$

De acordo com o método de mínimos quadrados lineares, nós minimizamos  $\chi^2$  com respeito a cada um dos incrementos dos parâmetros  $\delta p_j$ :

$$\frac{\partial \chi^2}{\partial (\delta p_k)} = -2 \sum \left\{ \frac{1}{\sigma_i^2} \left[ F_i - F_i^0(p) - \right. \right. \\ \left. \left. - \sum_{j=1}^n \left( \frac{\partial F_i^0(p)}{\partial p_j} \delta p_j \right) \right] \frac{\partial F_i^0}{\partial p_k} \right\} = 0 \quad (04)$$

A equação (04) fornece n equações simultâneas:

$$\delta g_k = \sum_{j=1}^n (\delta p_j \cdot A_{jk}) , \quad k = 1, 2, \dots, n \quad (05)$$

$$\text{onde } A_{jk} = \sum \left[ \frac{1}{\sigma_i^2} \frac{\partial F_i^0(p)}{\partial p_j} \frac{\partial F_i^0(p)}{\partial p_k} \right] \quad (06)$$

$$\delta g_k = \sum \left\{ \frac{1}{\sigma_i^2} \left[ F_i - F_i^0(p) \right] \frac{\partial F_i^0(p)}{\partial p_k} \right\} \quad (07)$$

Em notação matricial podemos escrever:

$$\delta g = A \delta p \quad (08)$$

$$\text{ou } \delta p = A^{-1} \cdot \delta g \quad (09)$$

onde  $\delta p_j$  é o incremento no parâmetro  $p_j$ .

A análise apresentada assume que termos de ordem igual ou superior a dois na expansão de Taylor como função dos parâmetros  $p_j$  são negligenciáveis. Este, entretanto, não é o caso em problemas de mínimos quadrados não lineares. Por outro lado a consideração de termos de ordem superior complica o uso da análise de mínimos quadrados. Por exemplo, a consideração de

termos de segunda ordem requer a modificação da matriz erro A pela inclusão das derivadas segundas da função.

Marquardt ( 89 ) sugeriu uma modificação da equação (08) introduzindo um parâmetro  $\lambda$  arbitrário como se segue:

$$(A + \lambda I) \delta p = \delta g \quad (10)$$

onde  $\lambda \approx 0.001$  e I é a matriz identidade.

Em recente trabalho ( 78 ), Katiyar e Mathai aperfeiçoaram o método de Marquardt através da modificação da equação (08), da seguinte forma:

$$(A + \lambda B) \delta p = \delta g \quad (11)$$

onde  $B = \delta g^T \delta g I - \delta g \delta g^T$

Este método tem sido testado para muitos problemas e tem se mostrado satisfatório para problemas não lineares.

Outro método que temos usado na presente análise foi proposto por Steen e Byrne ( 90 ) e pode ser expresso como se segue.

Seja  $A \delta t = \delta g$ , então

$$\delta p = \gamma [\beta \delta g + (1 - \beta) \delta t] \quad (12)$$

Os detalhes com respeito à determinação de  $\gamma$  e  $\beta$  podem ser obtidos à partir do artigo de Steen e Byrne.

Finalmente, devemos mencionar que a análise numérica através do método de mínimos quadrados da matriz dinâmica não é um problema fácil e, frequentemente foi necessária a mudança de um método de ajuste para outro.

### APÊNDICE III

Neste apêndice são mostrados os auto-vetores e as frequências dos modos normais dos pontos de maior simetria dos extremos da zona de Brillouin. Estes auto-vetores poderão ser úteis no cálculo de fatores de estrutura em espalhamento de neutrons e, são mostrados nas tabelas multiplicados por um fator de 1.000.

Nas tabelas apresentadas neste apêndice  $x$ ,  $y$  e  $z$  representam as componentes reais dos auto-vetores, enquanto que  $x'$ ,  $y'$  e  $z'$  representam as componentes complexas.

TABELA 1

PONTO M (0.5, 0.5, 0.0)

MODO	FREQUÊNCIA	$i_{\alpha}^{(K)}$	AUTO-VETORES NORMALIZADOS				
			1>	2>	3>	4>	5>
$A_2$	38	$x$	0	0	0	0	-137
		$y$	0	0	0	137	0
		$z$	0	0	0	0	0
		$x'$	0	0	0	0	0
		$y'$	0	0	0	0	0
		$z'$	0	0	0	0	0
$A_1$	64	$x$	0	0	0	0	0
		$y$	0	0	0	0	0
		$z$	53	0	0	0	0
		$x'$	0	0	0	-1	0
		$y'$	0	0	0	0	-1
		$z'$	0	0	0	0	0

TABELA 1 (CONT)

MODO	FREQUÊNCIA	$\rightarrow \langle k \rangle$ $i_x$	AUTO-VETORES NORMALIZADOS				
			1>	2>	3>	4>	5>
E	65	x	52	0	0	0	0
		y	0	-23	-2	0	0
		z	0	0	0	0	0
		$x'$	0	0	0	0	0
		$y'$	0	0	0	0	0
		$z'$	0	0	0	-1	0
E	65	x	0	-23	-2	0	0
		y	52	0	0	0	0
		z	0	0	0	0	0
		$x'$	0	0	0	0	0
		$y'$	0	0	0	0	0
		$z'$	0	0	0	0	-1
$B_1$	161	x	0	0	0	-137	0
		y	0	0	0	0	137
		z	0	0	0	0	0
		$x'$	0	0	0	0	0
		$y'$	0	0	0	0	0
		$z'$	0	0	0	0	0
E	220	x	8	0	0	0	0
		y	0	82	125	0	0
		z	0	0	0	0	0
		$x'$	0	0	0	0	0
		$y'$	0	0	0	0	0
		$z'$	0	0	0	-25	0
E	220	x	0	82	125	0	0
		y	0	0	0	0	0
		z	0	0	0	0	0
		$x'$	0	0	0	0	0
		$y'$	0	0	0	0	0
		$z'$	0	0	0	0	-25
$B_2$	267	x	0	0	0	0	0
		y	0	0	0	0	0
		z	0	109	-39	0	0
		$x'$	0	0	0	-7	-7
		$y'$	0	0	0	0	0
		$z'$	0	0	0	0	0

TABELA 1 (CONT)

MODO	FREQUÊNCIA	AUTO-VETORES NORMALIZADOS					
		$\hat{I}_x$	1>	2>	3>	4>	5>
E	342	x	0	0	0	0	0
		y	0	0	0	0	0
		z	0	0	0	0	192
		$x'$	0	-7	-23	0	0
		$y'$	-1	0	0	0	0
		$z'$	0	0	0	0	0
E	342	x	0	0	0	0	0
		y	0	0	0	0	0
		z	0	0	0	192	0
		$x'$	-1	0	0	0	0
		$y'$	0	-7	-23	0	0
		$z'$	0	0	0	0	0
$B_2$	383	x	0	0	0	0	0
		y	0	0	0	0	0
		z	0	22	189	0	0
		$x'$	0	0	0	0	-2
		$y'$	0	0	0	-2	0
		$z'$	0	0	0	0	0
E	533	x	-6	0	0	0	0
		y	0	-72	145	0	0
		z	0	0	0	0	0
		$x'$	0	0	0	0	0
		$y'$	0	0	0	0	0
		$z'$	0	0	0	-8	0
E	533	x	0	-72	145	0	0
		y	-6	0	0	0	0
		z	0	0	0	0	0
		$x'$	0	0	0	0	0
		$y'$	0	0	0	0	0
		$z'$	0	0	0	0	-8
$B_2$	598	x	0	0	0	0	136
		y	0	0	0	136	0
		z	0	0	0	0	0
		$x'$	0	0	0	0	0
		$y'$	0	0	0	0	0
		$z'$	0	-6	0	0	0

TABELA 1 (CONT)

MODO	FREQUÊNCIA	AUTO-VETORES NORMALIZADOS					
		$\hat{i}_\alpha$	1>	2>	3>	4>	5>
$A_1$	618	x	0	0	0	137	0
		y	0	0	0	0	137
		z	0	0	0	0	0
		$x'$	0	0	0	0	0
		$y'$	0	0	0	0	0
		$z'$	0	0	0	0	0

TABELA 2

PONTO X (0.5, 0.0, 0.0)

MODO	FREQUÊNCIA	AUTO-VETORES NORMALIZADOS					
		$\hat{i}_\alpha$	1>	2>	3>	4>	5>
$B_1$	57	x	0	0	0	0	0
		y	53	0	0	0	-1
		z	0	0	0	0	0
		$x'$	0	0	0	0	0
		$y'$	0	0	0	0	0
		$z'$	0	0	0	0	0
$A_1$	64	x	0	0	0	0	0
		y	0	0	0	0	0
		z	53	0	0	0	-7
		$x'$	0	-11	-10	-9	0
		$y'$	0	0	0	0	0
		$z'$	0	0	0	0	0
$B_2$	102	x	51	0	0	0	25
		y	0	0	0	0	0
		z	0	0	0	0	0
		$x'$	0	0	0	0	0
		$y'$	0	0	0	0	0
		$z'$	0	-14	-18	-32	0
$B_2$	154	x	0	0	0	0	0
		y	0	0	0	0	0
		z	0	67	69	131	0
		$x'$	-11	0	0	0	-13
		$y'$	0	0	0	0	0
		$z'$	0	0	0	0	0

TABELA 2 (CONT)

MODO	FREQUÊNCIA	$i_\alpha \backslash i_\beta$	AUTO-VETORES			NORMALIZADOS	
			1>	2>	3>	4>	5>
$A_2$	157	x	0	0	0	0	0
		y	0	74	129	64	0
		z	0	0	0	0	0
		$x'$	0	0	0	0	0
		$y'$	0	0	0	0	0
		$z'$	0	0	0	0	0
$A_1$	196	x	0	90	87	66	0
		y	0	0	0	0	0
		z	0	0	0	0	0
		$x'$	0	0	0	0	0
		$y'$	0	0	0	0	0
		$z'$	-6	0	0	0	-22
$A_2$	268	x	0	0	0	0	0
		y	0	-70	50	142	0
		z	0	0	0	0	0
		$x'$	0	0	0	0	0
		$y'$	0	0	0	0	0
		$z'$	0	0	0	0	0
$B_2$	295	x	0	0	0	0	0
		y	0	0	0	0	0
		z	0	-79	123	56	0
		$x'$	-1	0	0	0	10
		$y'$	0	0	0	0	0
		$z'$	0	0	0	0	0
$A_1$	338	x	0	7	-133	138	0
		y	0	0	0	0	0
		z	0	0	0	0	0
		$x'$	0	0	0	0	0
		$y'$	0	0	0	0	0
		$z'$	0	0	0	0	-21
$A_1$	350	x	0	0	0	0	0
		y	0	0	0	0	0
		z	1	0	0	0	191
		$x'$	0	-10	2	-25	0
		$y'$	0	0	0	0	0
		$z'$	0	0	0	0	0

TABELA 2 (CONT)

MODO	FREQUÊNCIA	$\hat{i}_\alpha$	AUTO-VETORES			NORMALIZADOS	
			1>	2>	3>	4>	5>
$B_1$	375	$x$	0	0	0	0	0
		$y$	0	0	0	0	194
		$z$	0	0	0	0	0
		$x'$	0	0	0	0	0
		$y'$	0	0	0	0	0
		$z'$	0	0	0	0	0
$A_2$	461	$x$	0	0	0	0	0
		$y$	0	-45	135	-114	0
		$z$	0	0	0	0	0
		$x'$	0	0	0	0	0
		$y'$	0	0	0	0	0
		$z'$	0	0	0	0	0
$B_2$	487	$x$	0	0	0	0	0
		$y$	0	0	0	0	0
		$z$	0	25	108	-103	0
		$x'$	4	0	0	0	-114
		$y'$	0	0	0	0	0
		$z'$	0	0	0	0	0
$B_2$	496	$x$	-6	0	0	0	153
		$y$	0	0	0	0	0
		$z$	0	0	0	0	0
		$x'$	0	0	0	0	0
		$y'$	0	0	0	0	0
		$z'$	0	-28	-74	74	0
$A_1$	748	$x$	0	-64	109	115	0
		$y$	0	0	0	0	0
		$z$	0	0	0	0	0
		$x'$	0	0	0	0	0
		$y'$	0	0	0	0	0
		$z'$	0	0	0	0	-3

TABELA 3

PONTO Z (0.0 , 0.0 , 0.5)

MODO	FREQUÊNCIA	$\frac{1}{i\omega}$	AUTO-VETORES NORMALIZADOS				
			1>	2>	3>	4>	5>
E	50	x	0	0	0	0	0
		y	52	1	-9	5	8
		z	0	0	0	0	0
		$x^*$	0	0	0	0	0
		$y^*$	0	-13	-3	-14	-23
		$z^*$	0	0	0	0	0
E	50	x	52	1	-9	8	5
		y	0	0	0	0	0
		z	0	0	0	0	0
		$x^*$	0	-13	-3	-23	-14
		$y^*$	0	0	0	0	0
		$z^*$	0	0	0	0	0
$A_1$	100	x	0	0	0	0	0
		y	0	0	0	0	0
		z	53	1	22	5	5
		$x^*$	0	0	0	0	0
		$y^*$	0	0	0	0	0
		$z^*$	0	-8	8	-14	-14
E	163	x	0	0	0	0	0
		y	-1	66	5	83	119
		z	0	0	0	0	0
		$x^*$	0	0	0	0	0
		$y^*$	-10	0	-24	18	26
		$z^*$	0	0	0	0	0
E	163	x	0	66	8	115	80
		y	0	0	0	0	0
		z	0	0	0	0	0
		$x^*$	-10	7	-23	40	28
		$y^*$	0	0	0	0	0
		$z^*$	0	0	0	0	0
$A_1$	173	x	0	0	0	0	0
		y	0	0	0	0	0
		z	0	89	14	69	69
		$x^*$	0	0	0	0	0
		$y^*$	0	0	0	0	0
		$z^*$	-4	10	-41	24	24

TABELA 3 (CONT)

MODO	FREQUÊNCIA	$\hat{i}_{\alpha}^{(10)}$	AUTO- VETORES NORMALIZADOS				
			1>	2>	3>	4>	5>
E	252	x	0	0	0	0	0
		y	0	13	49	5	1
		z	0	0	0	0	0
		$x'$	0	0	0	0	0
		$y'$	0	73	2	-128	-43
		$z'$	0	0	0	0	0
E	252	x	0	21	48	-2	-7
		y	0	0	0	0	0
		z	0	0	0	0	0
		$x'$	0	72	-3	-43	-128
		$y'$	0	0	0	0	0
		$z'$	0	0	0	0	0
$B_1$	288	x	0	0	0	0	0
		y	0	0	0	0	0
		z	0	0	0	-136	136
		$x'$	0	0	0	0	0
		$y'$	0	0	0	0	0
		$z'$	0	0	0	-14	14
E	355	x	0	0	0	0	0
		y	0	-26	1	29	-16
		z	0	0	0	0	0
		$x'$	0	0	0	0	0
		$y'$	-1	5	-185	0	0
		$z'$	0	0	0	0	0
E	355	x	0	-26	-5	-16	29
		y	0	0	0	0	0
		z	0	0	0	0	0
		$x'$	-1	6	-185	0	0
		$y'$	0	0	0	0	0
		$z'$	0	0	0	0	0
E	491	x	0	-38	0	141	-112
		y	0	0	0	0	0
		z	0	0	0	0	0
		$x'$	0	9	-12	-2	2
		$y'$	0	0	0	0	0
		$z'$	0	0	0	0	0

TABELA 3 (CONT)

MODO	FREQUÊNCIA	AUTO-VETORES NORMALIZADOS					
		$\hat{i}_\alpha^{(k)}$	1>	2>	3>	4>	5>
E	491	x	0	0	0	0	0
		y	0	-38	0	-112	140
		z	0	0	0	0	0
		$x'$	0	0	0	0	0
		$y'$	0	10	-12	4	-5
		$z'$	0	0	0	0	0
$A_1$	529	x	0	0	0	0	0
		y	0	0	0	0	0
		z	-5	10	59	27	27
		$x'$	0	0	0	0	0
		$y'$	0	0	0	0	0
		$z'$	-6	-6	176	-9	-9
$A_1$	757	x	0	0	0	0	0
		y	0	0	0	0	0
		z	1	-7	21	-11	-11
		$x'$	0	0	0	0	0
		$y'$	0	0	0	0	0
		$z'$	0	-64	2	110	110

TABELA 4

PONTO R (0.0 , 0.5 , 0.5)

MODO	FREQUÊNCIA	AUTO-VETORES NORMALIZADOS					
		$\hat{i}_\alpha^{(k)}$	1>	2>	3>	4>	5>
$B_2$	51	x	0	0	0	0	0
		y	50	0	0	6	0
		z	0	-35	-7	0	-20
		$x'$	0	0	0	0	0
		$y'$	-1	0	0	-18	0
		$z'$	0	-3	22	0	-6
$A_1$	52	x	0	0	0	0	0
		y	0	-28	-9	0	-12
		z	50	0	0	10	0
		$x'$	0	0	0	0	0
		$y'$	0	-3	27	0	-4
		$z'$	-1	0	0	-29	0

TABELA 4 (CONT)

modo	frequênc	cia	auto-vetores normalizados				
			1>	2>	3>	4>	5>
$B_1$	53	$x^{(1)}$	53	0	0	2	0
		$y^{(1)}$	0	0	0	0	0
		$z^{(1)}$	0	0	0	0	0
		$x'$	0	0	0	-5	0
		$y'$	0	0	0	0	0
		$z'$	0	0	0	0	0
$A_1$	148	$x^{(1)}$	0	0	0	0	0
		$y^{(1)}$	0	5	-6	0	10
		$z^{(1)}$	12	0	0	6	0
		$x'$	0	0	0	0	0
		$y'$	0	-1	-131	0	0
		$z'$	-5	0	0	133	0
$B_2$	167	$x^{(1)}$	0	0	0	0	0
		$y^{(1)}$	4	0	0	-108	0
		$z^{(1)}$	0	7	121	0	-1
		$x'$	0	0	0	0	0
		$y'$	15	0	0	-3	0
		$z'$	0	38	3	0	57
$B_2$	224	$x^{(1)}$	0	0	0	0	0
		$y^{(1)}$	7	0	0	76	0
		$z^{(1)}$	0	45	-47	0	54
		$x'$	0	0	0	0	0
		$y'$	6	0	0	-43	0
		$z'$	0	49	27	0	94
$A_2$	238	$x^{(1)}$	0	100	10	0	-60
		$y^{(1)}$	0	0	0	0	0
		$z^{(1)}$	0	0	0	0	0
		$x'$	0	-4	-59	0	-10
		$y'$	0	0	0	0	0
		$z'$	0	0	0	0	0
$A_1$	243	$x^{(1)}$	0	0	0	0	0
		$y^{(1)}$	0	0	0	0	26
		$z^{(1)}$	-1	0	0	-34	0
		$x'$	0	0	0	0	0
		$y'$	0	-83	0	0	-114
		$z'$	-11	0	0	-8	0

TABELA 4 (CONT)

MODO	FREQUÊNCIA	$i_{\alpha}^{(k)}$	AUTO-VETORES NORMALIZADOS				
			1>	2>	3>	4>	5>
$A_2$	338	x	0	5	0	0	150
		y	0	0	0	0	0
		z	0	0	0	0	0
		$x'$	0	-1	-121	0	0
		$y'$	0	0	0	0	0
		$z'$	0	0	0	0	0
$A_2$	359	x	0	-8	138	0	4
		y	0	0	0	0	0
		z	0	0	0	0	0
		$x'$	0	-46	5	0	-105
		$y'$	0	0	0	0	0
		$z'$	0	0	0	0	0
$B_1$	371	x	0	0	0	193	0
		y	0	0	0	0	0
		z	0	0	0	0	0
		$x'$	-1	0	0	0	0
		$y'$	0	0	0	0	0
		$z'$	0	0	0	0	0
$B_2$	511	x	0	0	0	0	0
		y	-2	0	0	34	0
		z	0	-33	29	0	101
		$x'$	0	0	0	0	0
		$y'$	5	0	0	34	0
		$z'$	0	54	28	0	-102
$A_1$	543	x	0	0	0	0	0
		y	0	11	65	0	1
		z	1	0	0	65	0
		$x'$	0	0	0	0	0
		$y'$	0	53	0	0	-141
		$z'$	3	0	0	0	0
$A_1$	603	x	0	0	0	0	0
		y	0	-41	6	0	59
		z	-4	0	0	5	0
		$x'$	0	0	0	0	0
		$y'$	0	7	-123	0	3
		$z'$	1	0	0	-115	0

TABELA 4 (CONT)

MODO	FREQUÊNCIA	$i_x^{(k)}$	AUTO-VETORES NORMALIZADOS				
			1>	2>	3>	4>	5>
$B_2$	610	x	0	0	0	0	0
		y	-1	0	0	123	0
		z	0	-9	132	0	1
		$x'$	0	0	0	0	0
		$y'$	-3	0	0	-5	0
		$z'$	0	-32	-6	0	33

TABELA 5

PONTO A (0.5, 0.5, 0.5)

MODO	FREQUÊNCIA	$i_x^{(k)}$	AUTO-VETORES NORMALIZADOS				
			1>	2>	3>	4>	5>
$A_2$	33	x	0	0	0	0	-137
		y	0	0	0	137	0
		z	0	0	0	0	0
		$x'$	0	0	0	0	0
		$y'$	0	0	0	0	0
		$z'$	0	0	0	0	0
E	75	x	0	-1	38	0	0
		y	52	0	0	0	0
		z	0	0	0	0	-22
		$x'$	0	8	14	0	0
		$y'$	0	0	0	0	0
		$z'$	0	0	0	0	-8
E	75	x	52	0	0	0	0
		y	0	0	39	0	0
		z	0	0	0	-22	0
		$x'$	-1	0	0	0	0
		$y'$	0	8	13	0	0
		$z'$	0	0	0	-7	0
$A_1$	85	x	0	0	0	5	0
		y	0	0	0	0	5
		z	53	0	0	0	0
		$x'$	0	0	0	1	0
		$y'$	0	0	0	0	1
		$z'$	0	0	0	0	0

TABELA 5 (CONT)

MODO	FREQUÊNCIA	$i_x^{(k)}$	AUTO-VETORES NORMALIZADOS			
			11>	12>	13>	14>
$E$	146	$x$	0	1	128	0
		$y$	-12	0	0	0
		$z$	0	0	0	-137
		$x'$	0	5	0	0
		$y'$	4	0	0	0
		$z'$	0	0	0	0
$E$	146	$x$	-12	0	0	0
		$y$	0	1	128	0
		$z$	0	0	0	-137
		$x'$	4	0	0	0
		$y'$	0	5	2	0
		$z'$	0	0	0	-2
$B_1$	160	$x$	0	0	0	-137
		$y$	0	0	0	0
		$z$	0	0	0	137
		$x'$	0	0	0	0
		$y'$	0	0	0	0
		$z'$	0	0	0	0
$B_2$	197	$x$	0	0	0	-72
		$y$	0	0	0	0
		$z$	0	6	157	0
		$x'$	0	0	0	-1
		$y'$	0	0	0	0
		$z'$	0	28	2	0
$B_2$	336	$x$	0	0	0	0
		$y$	0	0	0	7
		$z$	0	107	-5	0
		$x'$	0	0	0	0
		$y'$	0	0	0	-34
		$z'$	0	-1	26	0
$E$	345	$x$	0	109	3	0
		$y$	0	0	0	0
		$z$	0	0	0	7
		$x'$	0	0	-17	0
		$y'$	3	0	0	0
		$z'$	0	0	0	-35

TABELA 5 (CONT)

MODO	FREQUÊNCIA	$\hat{i}_\alpha$	AUTO-VETORES NORMALIZADOS			
			1>	2>	3>	4>
E	345	x	0	0	0	0
		y	0	109	3	0
		z	0	0	0	7
		$x'$	3	0	0	0
		$y'$	0	-1	-17	0
		$z'$	0	0	0	-35
E	551	x	0	-4	138	0
		y	-2	0	0	0
		z	0	0	0	129
		$x'$	0	-21	1	0
		$y'$	1	0	0	0
		$z'$	0	0	0	1
E	551	x	-2	0	0	0
		y	0	-4	138	0
		z	0	0	0	129
		$x'$	1	0	0	0
		$y'$	0	-21	1	0
		$z'$	0	0	0	1
$A_1$	590	x	0	0	0	137
		y	0	0	0	0
		z	-2	0	0	0
		$x'$	0	0	0	0
		$y'$	0	0	0	0
		$z'$	0	0	0	0
$B_2$	681	x	0	0	0	0
		y	0	0	0	111
		z	0	-3	110	0
		$x'$	0	0	0	0
		$y'$	0	0	0	0
		$z'$	0	-14	0	0

APÊNDICE IV

A energia eletrostática ou energia de Madelung pode ser escrita como:

$$E = \sum_{KK'} z_K z_{K'} \alpha_{KK'} \frac{e^2}{r_0} = \alpha_M \frac{e^2}{r_0} \quad (1)$$

onde  $\alpha_M = \sum_{KK'} z_K z_{K'} \alpha_{KK'} \quad \text{e} \quad r_0 = 1 \quad (2)$

Os coeficientes  $\alpha_{KK'}$  são adimensionais e podem ser escritos como duas somas rapidamente convergentes, uma no espaço real e outra no espaço recíproco:

$$\begin{aligned} \alpha_{KK'} = & \frac{1}{2} c \sum_{\vec{k}} H \left\{ \frac{c}{r} |\vec{r}(\vec{k}, 0)| \right\} - \frac{c}{\sqrt{\pi}} f_{KK'} + \\ & + \frac{\pi}{2c_s^2} \sum_h G \left\{ \frac{\pi^2 r^2}{c^2} |b(h)|^2 \right\} \exp \left\{ 2\pi i \vec{b}(h) \times \right. \\ & \left. \times \vec{r}(\vec{k}, 0) \right\} \end{aligned} \quad (3)$$

As notações usadas na equação (3) são as mesmas utilizadas na seção IV.5.

Os coeficientes  $\alpha_{KK'}$  calculados para o  $PbTiO_3$  são:

$K K'$	$\alpha_{KK'}$
11	0.35560
12	0.10051
13	0.069952
14	0.069406
15	0.069406
23	0.016542
24	0.0079122
25	0.0079122
34	0.077070
35	0.077070
45	0.0655711

LISTA DE FIGURAS

	<u>Página</u>
<b>CAPÍTULO III</b>	
FIGURA III.1 - Primeira Zona de Brillouin de Cristais Pertencentes ao Grupo Espacial $C_{4v}^1$ .....	43
FIGURA III.2 - Estrutura Cúbica do $PbTiO_3$ .....	48
FIGURA III.3 - Estrutura Tetragonal do $PbTiO_3$ .....	48
FIGURA III.4 - Estrutura Tetragonal do $BaTiO_3$ .....	48
<b>CAPÍTULO IV</b>	
FIGURA IV.1 - Modos $E(TA)$ , $E(TO_1)$ , $E(TO_2)$ , $E(TO_4)$ , $E(TO_3)$ $A_1(TA)$ do $PbTiO_3$ .....	81
FIGURA IV.2 - Modos $A_1(TO_1)$ , $A_1(TO_2)$ , $A_1(TO_3)$ e $B_1$ do $PbTiO_3$ .....	82
FIGURA IV.3 - Curvas de Dispersão dos fonons do $PbTiO_3$ para a direção $q_x 0 0$ .....	89
FIGURA IV.4 - Curvas de Dispersão dos fonons do $PbTiO_3$ para a direção $0 0 q_z$ .....	90
FIGURA IV.5 - Curvas de Dispersão dos fonons do $PbTiO_3$ para a direção $q_x q_x 0$ .....	91
FIGURA IV.6 - Curvas de Dispersão dos fonons do $PbTiO_3$ para a direção $0 q_x q_z$ .....	92

Página

- FIGURA IV.7 - Curvas de Dispersão dos fonons do  
 $\text{PbTiO}_3$  para a direção  $q_x \ q_x \ q_z$  ..... 93
- FIGURA IV.8 - Modos  $E(\text{TA})$ ,  $E(\text{TO}_1)$   $E(\text{TO}_2)$ ,  $E(\text{TO}_3)$ ,  
 $E(\text{TO}_4)$  e  $A_1(\text{TA})$  do  $\text{BaTiO}_3$  ..... 112
- FIGURA IV.9 - Modos  $A_1(\text{TO}_1)$ ,  $A_1(\text{TO}_2)$ ,  $A_1(\text{TO}_3)$  e  $B_1$   
do  $\text{BaTiO}_3$  ..... 113
- FIGURA IV.10 - Dispersão Obliqua dos fonons do  $\text{PbTiO}_3$  117
- FIGURA IV.11 - Dispersão Obliqua dos fonons do  $\text{BaTiO}_3$  118

LISTA DE TABELAS

Página

CAPÍTULO III

TABELA III.1 - Permutação da Base $ K\rangle$ de $S_c$ sob os operadores do grupo espacial $C_{4v}^1$ .....	50
TABELA III.2 - Pontos de maior simetria da zona de Brillouin do $\text{PbTiO}_3$ .....	51
TABELA III.3 - Matrizes dos operadores ; permutação da base $\hat{x}, \hat{y}, \hat{z}$ ; fatores $\vec{k}_{\gamma^{-1}}$ .....	52

CAPÍTULO IV

TABELA IV.1 - Distância entre os íons do $\text{PbTiO}_3$ .....	61
TABELA IV.2 - Parâmetros finais do $\text{PbTiO}_3$ determinados pelo método de mínimos quadrados... ..	74
TABELA IV.3 - Constantes de força axialmente simétricas e cargas iônicas do $\text{PbTiO}_3$ .....	75
TABELA IV.4 - Frequências medidas e frequências calculadas dos modos do $\text{PbTiO}_3$ .....	77
TABELA IV.5 - Frequências calculadas e auto-vetores dos modos do centro da zona de Brillouin do $\text{PbTiO}_3$ .....	79
TABELA IV.6 - Frequências dos modos do $\text{PbTiO}_3$ ao longo	

Página

da direção $[q_x \ 0 \ 0]$ .....	84
TABELA IV.7 - Frequências dos modos do $\text{PbTiO}_3$ ao longo da direção $[0 \ 0 \ q_z]$ .....	85
TABELA IV.8 - Frequências dos modos do $\text{PbTiO}_3$ ao longo da direção $[q_x \ q_x \ 0]$ .....	86
TABELA IV.9 - Frequências dos modos do $\text{PbTiO}_3$ ao longo da direção $[0 \ q_x \ q_z]$ .....	87
TABELA IV.10 -Frequências dos modos do $\text{PbTiO}_3$ ao longo da direção $[q_x \ q_x \ q_z]$ .....	88
TABELA IV.11 -Relações de Compatibilidade .....	94
TABELA IV.12 -Frequências dos modos do $\text{PbTiO}_3$ para a temperatura ambiente e de transição ....	98
TABELA IV.13 -Frequências medidas e calculadas dos mo- dos do $\text{PbTiO}_3$ para a temperatura de transição .....	99
TABELA IV.14 - Constantes de força axialmente simétrri- cas e cargas iônicas do $\text{PbTiO}_3$ para a temperatura ambiente e de transição ...	100
TABELA IV.15 - Frequências calculadas e auto-vetores - dos modos do centro da zona de Brillouin do $\text{PbTiO}_3$ para a temperatura de tran- sião .....	101

Página

TABELA IV.16 -Distância entre os íons do BaTiO <sub>3</sub> .....	104
TABELA IV.17 -Constantes de força axialmente simétricas e cargas iônicas do BaTiO <sub>3</sub> .....	107
TABELA IV.18 -Frequências medidas e calculadas dos <u>mo</u> dos do BaTiO <sub>3</sub> .....	109
TABELA IV.19 -Frequências e auto-vetores normalizados dos modos do centro da zona de Brillouin do BaTiO <sub>3</sub> .....	110
TABELA IV.20 -Frequências dos fonons oblíquos do PbTiO <sub>3</sub>	119
TABELA IV.21 -Constantes elásticas, módulos piezoeletricos e constantes dielétricas medidas para o PbTiO <sub>3</sub> .....	129
TABELA IV.22 -Frequências calculadas dos fonons acústicos do PbTiO <sub>3</sub> .....	131
TABELA IV.23 -Valores medidos e calculados das <u>constan</u> tes elásticas e dielétricas e dos módulos piezoeletricos do PbTiO <sub>3</sub> .....	132
TABELA IV.24 -Frequências dos modos acústicos do BaTiO <sub>3</sub>	134
TABELA IV.25 -Constantes elásticas e dielétricas e, módulos piezoeletricos medidos para o BaTiO <sub>3</sub> .....	135

Página

TABELA IV.26 -Valores medidos e calculados das cons -

tantes elásticas e dielétricas e dos módulos

dulos piezoeletricos do BaTiO<sub>3</sub> ..... 137

REFERENCIAS

1. F. Jona and G. Shirane, *Ferroelectric Crystals* (MacMillan, New York, 1962).
2. G. Burns and F.H. Dacol, *Phys. Rev.* B18, 5750 (1978).
3. W. Cochran, *Phys. Rev. Lett.* 3, 412 (1959).
4. W. Cochran, *Adv. Phys.* 9, 387 (1960).
5. W. Cochran, *Adv. Phys.* 10, 401 (1961).
6. P.A. Fleury and P.D. Lazay, *Phys. Rev. Lett.* 26, 1331(1971).
7. G. Burns, *Phys. Rev.* B10, 1951 (1974).
8. G. Burns, *Phys. Lett.* 43A, 271 (1973).
9. J. Harada, J.D. Axe and G. Shirane, *Phys. Rev.* B4, 155 (1971).
10. G. Shirane, J.D. Axe and J. Harada, *Phys. Rev.* B2, 3651(1970).
11. A. Scalabrin, A.S. Chaves, D.S. Shim and S.P.S. Porto, *Phys. Stat. Sol.* B79, 731 (1977).
12. A.S. Chaves, R.S. Katiyar and S.P.S. Porto, *Phys. Rev.* B10 , 3522 (1974).
13. A. Scalabrin, S.P.S. Porto, H. Vargas, C.A.S. Lima and L.C.M. Miranda, *Solid State Commun.*, 24, 291 (1977).
14. C.A.S. Lima, A Scalabrin, L.C.M. Miranda, H. Vargas and S.P. S. Porto, *Phys. Stat. Sol.* 86, 373 (1978).
15. J.A. Sanjurjo, R.S. Katiyar and S.P.S. Porto (Under Publica-

- tion).
16. G. Shirane, S. Hoshino and K. Suzuki, Phys. Rev. 80, 1105 (1950).
  17. J.P. Remeika and A.M. Glass, Mater. Res. Bull. 5, 37 (1970).
  18. J. Kobayashi and R. Ueda, Phys. Rev. Lett. 99, 1900 (1955).
  19. J. Kobayashi, S. Okamoto and R. Ueda, Phys. Rev. Lett. 103, 830 (1956)
  20. N.E. Tornberg and C.H. Perry, J. Chem. Phys., 53, 2946 (1970).
  21. G. Burns and B.A. Scott, Phys. Rev. Lett. 25, 167 (1970).
  22. R.A. Frey, Adv. in Raman Spectroscopy, vol I, edited by J.P. Mathieu (Heyden and Son, Ltda, London, 1973)
  23. G. Burns and B.A. Scott Phys. Rev. B7, 3088 (1973).
  24. R.A. Frey and E. Silberman, Helvetica Phys. Acta, 49, 1 (1976).
  25. C.H. Perry, B.N. Khana and G. Rupprecht, Phys. Rev. 135A, 408 (1964).
  26. G. Shirane, J.D. Axe, J. Harada and J.P. Remeika, Phys. Rev. B2, 155 (1970).
  27. D. Heiman and S. Ushioda, Phys. Rev. B9, 3616 (1978).
  28. G. Burns, Phys. Rev. Lett. 37, 229 (1976).
  29. S. Ikegami, I. Ueda and T. Nagata, J. Acoust. Soc. Am. 50, 1060 (1971).
  30. N. Ichinose and T. Takahashi, Jpn. J. Appl. Phys. 11, 1224 (1972).

31. I. Ueda and S. Ikegami, Jpn. J. Appl. Phys. 7, 236 (1968).
32. V.G. Bhide, K.G. Deskmukh, M.S. Hedge, Physica, 28, 871(1962).
33. M. Born and K. Huang, Dynamical Theory of Crystal Lattices , Internat. Ser. of Monographs on Physics (Oxford University Press, 1966)
34. R.S. Katiyar, J. Phys. C. Solid St. Phys. 3, 1963 (1970).
35. E.W. Kellerman, Phil. Trans. Roy. Soc. A238, 513 (1940).
36. J. Yamashita and J. Kurosawa, J. Phys. Soc. Japan 10, 610 (1955).
37. B.J. Dick and A.W. Overhauser, Phys. Rev. 112, 90 (1958).
38. J.E. Haulon and A. Lawson, Phys. Rev. 113, 472 (1959).
39. A.D. Woods, W. Cochran and B.N. Brockhouse, Phys. Rev. 119 , 980 (1960).
40. R.A. Cowley, W. cochran, B.N. Brockhouse and A.D. Woods, Phys. Rev. 131, 1030 (1963).
41. U. Schröder, Solid State Comm. 4, 347 (1966).
42. W. Cochran, Rep. Progr. Phys. 26, 1 (1963).
43. W. Cochran, Lattice Dynamics of ionic and covalent crystals , C.R.C. Critical Reviews in Solid State Science, 2, 1 (1971).
44. R.A. Cowley, Proc. Roy. Soc. A268, 109 (1962)
45. W. Cochran and R.A. Cowley, Handbuch der Physik 25/2a, 59 (Springer-Verlag 1967).
46. A.A. Maradudin, E.J. Montrol, G.H. Weiss and I.P. Ipatova ,

Theory of Lattice Dynamics in the Harmonic approximation  
(Academic Press, New York, 1971).

47. G.H. Lehman, T. Wolfram and R.E. De Wames, Phys. Rev. 128, 1593 (1962).
48. R.A. Cowley, Phys. Rev. 134A, 981 (1964).
49. R.A. Cowley, Acta Cryst. 15, 687 (1962).
50. J. de Launay, Solid State Physics 2, 219 (1956).
51. J.F. Nye, Physical Properties of crystals (Oxford Press, 1964).
52. J.J. Kyame, J. Acoust. Soc. Am. 21, 159 (1949).
53. I. Koga, M. Aruga and Y. Yoshinaka, Phys. Rev. 109, 1467(1958).
54. H. Peillaux, J. Phys. Radium 19, 523 (1958).
55. A.R. Hutson and D.L. White, J. Appl. Phys. 33, 40 (1962).
56. J.J. Kayme, J. Acoust. Soc. Am. 26, 990 (1954).
57. W.G. Cady, Piezoelectricity, 1 (Dover Publications Inc, New York, 1964).
58. M.E. Lines and A.M. Glass, Principles and applications of ferroelectric and related materials (Clarendon Press, Oxford, 1977).
59. R.H. Lyddane, R.G. Sachs and E. Teller, Phys.Rev. 59, 673 (1941).
60. W. Cochran and R.A. Cowley, J. Phys. Chem. Solids 23, 447(1962).
61. S.H. Chen, Phys. Rev. 163, 532 (1967).
62. A.A. Maradudin and S.H. Vosko, Rev. Mod. Phys. 40, 1 (1968).
63. J.L. Warren, Rev. Mod. Phys. 40, 38 (1968).

64. H. Montgomery, Proc. Roy. Soc. A309, 521 (1969).
65. D.F. Johnston, Rep. Progr. Phys. 23, 66(1960)
66. F.A. Cotton, Chemical Applications of Group theory (John Wiley & Sons, 1971).
67. M. Tinkhan, Group Theory and Quantum Mechanics (Mc Graw-Hill, 1964).
68. G. Shirane and S.J. Hoshino, J. Phys. Soc. Japan, 6, 265(1951).
69. H.D. Megaw, Proc. Phys. Soc. (London) 58, 10 (1946).
70. G. Shirane, R. Pepinsky and B.C. Fraser, Acta Cryst. 9, 131 (1956).
71. R.G. Rhodes, Acta Cryst. 4, 105 (1951).
72. J. Harada, T. Pedersen and Z. Barnea, Acta Cryst. A26, 336(1970).
73. A.C. Hurley, Phil. Trans. A260, 1 (1966).
74. O.V. Kovalev, Irreducible representations of space groups (New York, Gordon and Brech, 1961).
75. A. Casher, M. Glück, Y. Gur, The irreducible representations of space groups (W.A. Benjamin, N. York, 1969).
76. L.L. Boyer and J.R. Hardey, Phys. Rev. B7, 2886 (1973).
77. R.S. Katiyar, J. Phys. C: Solid St. Phys. 3, 1087 (1970).
78. R.S. Katiyar and A.M. Mathai (Under Publication).
79. L. Pauling, The nature of the chemical Bond (Cornell University Press, 1960).
80. G. Leibfried and W. Ludwig, Solid Stat. Phys., 12, 276 (1961).

81. J.C. Slater, Phys. Rev. 78, 748 (1950).
82. J.T. Last, Phys. Rev. 105, 1740 (1957).
83. L. Merten, A. Naturf. A15, 47 (1962).
84. R. Loudon, Adv. Phys. 13, 423 (1964).
85. D. Berlincourt and H. Jaffe, Phys. Rev. 111, 143 (1958).
86. A.F. Devonshire, Phil. Mag. 40, 1040 (1949).
87. J. R. Hardy, Phil. Mag. 7, 315 (1962).
88. W.G. Stirling, J. Phys. C: Solid St. Phys. 5, 2711 (1972).
89. D.W. Marquardt, J. Soc. Ind. Appl. Math. 11, 431 (1963).
90. N.M. Steen and G.D. Byrne, Numerical solutions of systems of non linear algebraic equations (1973).